

Análisis Climático

Año 2006

ARICO EL BUENO

(FINCA DE LOS HELECHOS)

Ladera Sur a 930 m. de altitud



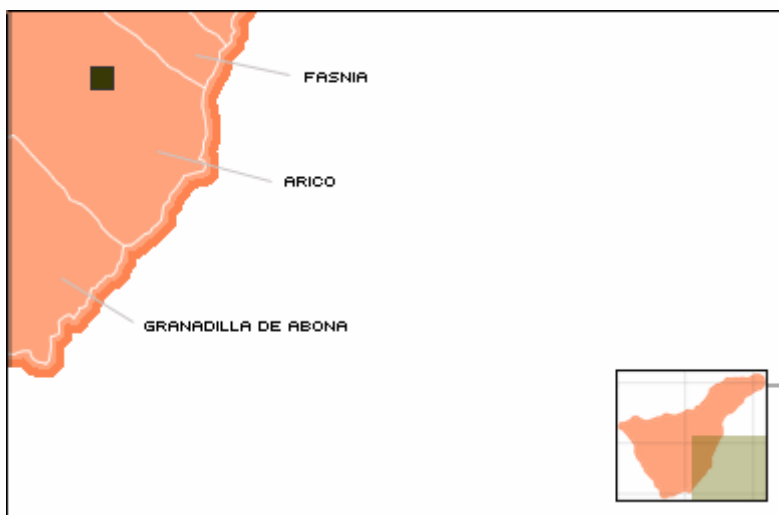
CABILDO  TENERIFE

La red de estaciones agrometeorológicas del Cabildo Insular de Tenerife, que gestiona el Servicio Técnico de Agricultura y Desarrollo Rural, ha sido diseñada como apoyo a los trabajos propios y en especial a la elaboración de los avisos fitosanitarios y las recomendaciones de riego que se difunden semanalmente a través de AgroCabildo. Pero, por otra parte, los datos son públicos y han sido utilizados no sólo con fines agrarios sino que han mostrado su utilidad en otras múltiples aplicaciones. Por ello, colocar la base de datos a disposición de otros usuarios, es, en sí mismo, un servicio adicional que prestamos cuyo destinatario no sólo es el sector agrario sino el conjunto de la sociedad.

Sin embargo, no todos los usuarios tienen los conocimientos necesarios para interpretar y relacionar debidamente estos datos. Por ello, con alguna frecuencia, se nos viene demandando que facilitemos un análisis de los datos que permita una primera caracterización del comportamiento climático de la porción de territorio insular representado por una estación, durante un período temporal concreto. Este es el objetivo con el que se encargó el primer estudio de datos registrados durante el año 2004 por nuestras estaciones agrometeorológicas más completas. El presente estudio se refiere al año 2006 y da continuidad a la serie. Esta presentación no sólo incluye gráficas que representen su ocurrencia y variabilidad a lo largo del año, como suele ser habitual en este tipo de trabajos, sino también otras que muestran las relaciones entre diversos meteoros, con especial referencia al viento dominante lo que permite asociarlas con las situaciones atmosféricas más frecuentes en la isla. Para ello el autor ha diseñado unos sistemas de representación gráfica muy novedosos, que tal vez encierran cierta dificultad inicial para su interpretación, pero que tras un análisis detenido suministran mucha e interesante información cualitativa que ayuda a caracterizar el comportamiento climático de la zona, al menos para aquellos parámetros de mayor interés agrario.

Como novedades de este año, se presentan algunos perfiles altitudinales combinando datos de varias estaciones que permiten el análisis de espacios territoriales más amplios. Asimismo se incluyen gráficas comparativas de algunos registros de año 2006, respecto al comportamiento del periodo 2003 – 2005; también, el estudio se ha ampliado hasta abarcar la totalidad de las estaciones que componen nuestra red agrometeorológica.

José Manuel Hernández Abreu
Jefe del Servicio de Agricultura y Desarrollo Rural del Cabildo de Tenerife



ARICO EL BUENO

(FINCA DE LOS HELECHOS)

Ladera Sur a 930 m. de altitud

NOTA: Se advierte a los lectores que las estaciones automáticas realizan un registros cada 12 minutos (que consiste en la suma o la media de las observaciones que se realizan cada minuto).

ÍNDICE

| | |
|--|-----|
| RESÚMEN DE LAS OBSERVACIONES CLIMÁTICAS | 6 |
| ANÁLISIS CLIMÁTICO ANUAL | 16 |
| ANÁLISIS COMPARATIVO DEL AÑO 2006 CON EL PERIODO 2003 / 2005 | 22 |
| SITUACIONES METEOROLÓGICAS GENERALES | 28 |
| INVIERNO | 28 |
| VERANO | 36 |
| SITUACIONES METEOROLÓGICAS SINGULARES | 43 |
| ANEXO | 93 |
| Figura 1: Presentación puntual anual de las precipitaciones diarias | 94 |
| Figura 2: Presentación tridimensional anual de las precipitaciones diarias | 95 |
| Figura 3: Temperaturas medias y temperaturas extremas diarias | 96 |
| Figura 4: Contorno anual de temperaturas medias diarias | 97 |
| Figura 5: Contorno anual de las frec. relativas de registros de temperaturas mayores o iguales a 25 °C | 98 |
| Figura 6: Contorno anual de las frec. relativas registros de temperaturas inferiores o iguales a 10 °C | 99 |
| Figura 7: Diagramas sectoriales mensuales de las temperaturas medias diarias | 100 |
| Figura 8: Rosa de temperaturas de ENERO independiente del periodo horario | 101 |
| Figura 9: Rosas de temperaturas de ENERO en periodos trihorarios | 102 |
| Figura 10: Rosa de temperaturas de ABRIL independiente del periodo horario | 103 |
| Figura 11: Rosas de temperaturas de ABRIL en periodos trihorarios | 104 |
| Figura 12: Rosa de temperaturas de JULIO independiente del periodo horario | 105 |
| Figura 13: Rosas de temperaturas de JULIO en periodos trihorarios | 106 |
| Figura 14: Rosa de temperaturas de OCTUBRE independiente del periodo horario | 107 |
| Figura 15: Rosas de temperaturas de OCTUBRE en periodos trihorarios | 108 |
| Figura 16: Humedades medias y precipitaciones diarias | 109 |
| Figura 17: Contorno anual de humedades medias diarias | 110 |
| Figura 18: Contorno anual de las frec. relativas de registros de humedades inferiores o iguales a 40 % | 111 |
| Figura 19: Contorno anual de las frec. relativas de registros de humedades mayores o iguales a 90 % | 112 |
| Figura 20: Diagramas sectoriales mensuales de las humedades medias diarias | 113 |
| Figura 21: Rosa de humedades de ENERO independiente del periodo horario | 114 |
| Figura 22: Rosas de humedades de ENERO en periodos trihorarios | 115 |
| Figura 23: Rosa de humedades de ABRIL independiente del periodo horario | 116 |
| Figura 24- Rosas de humedades de ABRIL en periodos trihorarios | 117 |
| Figura 25: Rosa de humedades de JULIO independiente del periodo horario | 118 |
| Figura 26: Rosas de humedades de JULIO en periodos trihorarios | 119 |
| Figura 27: Rosa de humedades de OCTUBRE independiente del periodo horario | 120 |
| Figura 28: Rosas de humedades de OCTUBRE en periodos trihorarios | 121 |
| Figura 29: Velocidades medias diarias | 122 |
| Figura 30: Contorno anual de las frec. relat. de registros de velocidades menores o iguales a 5 km/h | 123 |
| Figura 31: Contorno anual de las frec. relat. de registros de velocidades superiores o iguales a 12 km/h | 124 |
| Figura 32: Diagramas sectoriales mensuales de las velocidades medias horarias | 125 |
| Figura 33: Rosa de viento de ENERO independiente del periodo horario | 126 |
| Figura 34: Rosas de viento de ENERO en periodos trihorarios | 127 |
| Figura 35: Rosa de viento de ABRIL independiente del periodo horario | 128 |
| Figura 36: Rosas de viento de ABRIL en periodos trihorarios | 129 |
| Figura 37: Rosa de viento de JULIO independiente del periodo horario | 130 |
| Figura 38: Rosas de viento de JULIO en periodos trihorarios | 131 |
| Figura 39: Rosa de viento de OCTUBRE independiente del periodo horario | 132 |
| Figura 40: Rosas de viento de OCTUBRE en periodos trihorarios | 133 |
| Figura 41: Radiaciones directas y precipitaciones diarias | 134 |
| Figura 42: Contorno anual de radiaciones directas diarias | 135 |
| Figura 43: Diagramas sectoriales mensuales de las radiaciones directas diarias | 136 |

| | |
|---|-----|
| Figura 44: Radiaciones directas horarias y su relación con otras variables en ENERO..... | 137 |
| Figura 45: Radiaciones directas horarias y su relación con otras variables en ABRIL..... | 138 |
| Figura 46: Radiaciones directas horarias y su relación con otras variables en JULIO..... | 139 |
| Figura 47: Radiaciones directas horarias y su relación con otras variables en OCTUBRE..... | 140 |
| Figura 48: Radiaciones directas horarias en ENERO..... | 141 |
| Figura 49: Radiaciones directas horarias en ABRIL..... | 142 |
| Figura 50: Radiaciones directas horarias en JULIO..... | 143 |
| Figura 51: Radiaciones directas horarias en OCTUBRE..... | 144 |
| Figura 52: Evapotranspiraciones Penman y precipitaciones diarias..... | 145 |
| Figura 53: Evapotranspiraciones Penman diarias. ETP radiativas y advectivas..... | 146 |
| Figura 54: Contorno anual de evapotranspiraciones Penman diarias..... | 147 |
| Figura 55: Diagramas sectoriales mensuales de las evapotranspiraciones medias diarias..... | 148 |
| Figura 56: Balance hídrico en el año agronómico 2005/2006..... | 149 |
| Figura 57: Temperaturas del aire y del subsuelo (10 cm y 30 cm de profundidad) medias diarias..... | 150 |
| Figura 58: Diagramas sect. mensuales de las temp. medias diarias del subsuelo a 10 cm de profund..... | 151 |
| Figura 59: Diagramas sect. mensuales de las temp. medias diarias del subsuelo a 30 cm de profund..... | 152 |

RESÚMEN DE LAS OBSERVACIONES CLIMÁTICAS

Precipitación

| PRECIPITACIÓN MENSUAL ACUMULADA (mm) | | | | | | | | | | | | |
|--------------------------------------|-------|------|-----|------|-----|-----|-----|-----|-----|------|------|-----|
| Mes | ENE | FEB | MRZ | ABR | MAY | JUN | JUL | AGT | SEP | OCT | NOV | DIC |
| Valor | 133.9 | 70.1 | 0.1 | 25.9 | 8.9 | 0.0 | 0.0 | 1.6 | 3.3 | 28.7 | 96.5 | 0.0 |

| PRECIPITACIÓN MÁXIMA DIARIA (mm) | | | | | | | | | | | | |
|----------------------------------|------|------|------|------|-----|------|------|------|------|------|------|------|
| Mes | ENE | FEB | MRZ | ABR | MAY | JUN | JUL | AGT | SEP | OCT | NOV | DIC |
| Valor | 50.3 | 25.0 | 0.1 | 16.9 | 8.7 | 0.0 | 0.0 | 1.6 | 2.8 | 27.3 | 87.5 | 0.0 |
| Fecha | (9) | (8) | (13) | (13) | (1) | (30) | (31) | (29) | (18) | (29) | (1) | (31) |
| Dir Dom | NE | SW | NE | NE | E | NE | NE | NE | NE | W | SW | NE |

| PRECIPITACIÓN DIARIA (mm) | | | | | | | | | | | | |
|---------------------------|-----|-----|-----|-----|-----|-----|-----|-----|-----|-----|-----|-----|
| Mes | ENE | FEB | MRZ | ABR | MAY | JUN | JUL | AGT | SEP | OCT | NOV | DIC |
| >0.1mm | 9 | 11 | 1 | 3 | 2 | 0 | 0 | 1 | 3 | 2 | 3 | 0 |
| >1.0mm | 7 | 6 | 0 | 2 | 1 | 0 | 0 | 1 | 1 | 2 | 3 | 0 |
| >5.0mm | 5 | 4 | 0 | 2 | 1 | 0 | 0 | 0 | 0 | 1 | 2 | 0 |
| >10.0mm | 4 | 2 | 0 | 1 | 0 | 0 | 0 | 0 | 0 | 1 | 1 | 0 |
| >20.0mm | 2 | 2 | 0 | 0 | 0 | 0 | 0 | 0 | 0 | 1 | 1 | 0 |

Temperatura

| TEMPERATURA ABSOLUTA EXTREMA DIARIA, MEDIA y AMPLITUD MEDIA MENSUAL (°C) | | | | | | | | | | | | |
|--|------|------|------|------|------|------|------|------|------|------|------|------|
| Mes | ENE | FEB | MRZ | ABR | MAY | JUN | JUL | AGT | SEP | OCT | NOV | DIC |
| N ELE | 31 | 28 | 31 | 30 | 31 | 30 | 31 | 31 | 30 | 31 | 30 | 31 |
| T MIN | 13.7 | 14.9 | 15.2 | 17.3 | 17.6 | 20.2 | 21.2 | 21.9 | 21.7 | 19.3 | 19.0 | 16.8 |
| T MAX | 18.3 | 17.9 | 19.9 | 23.1 | 21.4 | 21.4 | 26.2 | 24.4 | 31.0 | 25.8 | 26.1 | 20.1 |
| T MED | 16.3 | 16.2 | 17.4 | 18.5 | 19.5 | 20.9 | 22.3 | 23.0 | 24.1 | 22.6 | 21.6 | 18.6 |
| AMPLI | 4.2 | 4.6 | 5.7 | 5.5 | 5.1 | 4.9 | 4.6 | 5.1 | 5.6 | 5.1 | 4.5 | 4.3 |

| TEMPERATURA MEDIA EN INTERVALOS HORARIOS (°C) | | | | | | | | | | | | |
|---|------|------|------|------|------|------|------|------|------|------|------|------|
| Mes | ENE | FEB | MRZ | ABR | MAY | JUN | JUL | AGT | SEP | OCT | NOV | DIC |
| 0-8 h | 15.3 | 14.8 | 15.5 | 16.7 | 17.8 | 19.2 | 20.7 | 21.1 | 22.5 | 20.9 | 20.6 | 17.6 |
| 8-14 h | 17.3 | 17.2 | 19.0 | 20.3 | 21.0 | 22.5 | 23.8 | 24.5 | 25.7 | 24.0 | 22.7 | 19.7 |
| 14-20 h | 17.2 | 17.4 | 19.1 | 19.8 | 20.9 | 22.2 | 23.6 | 24.5 | 25.2 | 23.9 | 22.4 | 19.5 |
| 20-24 h | 15.5 | 15.6 | 16.4 | 17.5 | 18.6 | 20.1 | 21.3 | 22.1 | 23.2 | 21.8 | 20.7 | 17.8 |

| FRECUENCIA RELATIVA EN INTERVALOS DE TEMPERATURA (°C) | | | | | | | | | | | | |
|---|------|------|------|------|------|------|------|------|------|------|------|------|
| Mes | ENE | FEB | MRZ | ABR | MAY | JUN | JUL | AGT | SEP | OCT | NOV | DIC |
| T<=7 | 0.0 | 0.0 | 0.0 | 0.0 | 0.0 | 0.0 | 0.0 | 0.0 | 0.0 | 0.0 | 0.0 | 0.0 |
| T<=10 | 23.8 | 26.8 | 11.2 | 1.0 | 0.1 | 0.0 | 0.0 | 0.0 | 0.0 | 0.0 | 0.0 | 0.3 |
| 10<=T<15 | 74.2 | 70.8 | 75.3 | 78.5 | 60.6 | 37.5 | 8.5 | 4.0 | 0.7 | 8.3 | 26.2 | 79.7 |
| 15<=T<20 | 2.0 | 2.4 | 12.9 | 18.6 | 39.2 | 62.4 | 84.3 | 79.8 | 68.5 | 78.8 | 60.7 | 20.0 |
| 20<=T<25 | 0.0 | 0.0 | 0.7 | 1.4 | 0.0 | 0.1 | 7.3 | 16.1 | 26.2 | 12.9 | 13.1 | 0.0 |
| 25<=T<30 | 0.0 | 0.0 | 0.0 | 0.6 | 0.0 | 0.0 | 0.0 | 0.0 | 4.6 | 0.0 | 0.0 | 0.0 |
| T>30 | 0.0 | 0.0 | 0.0 | 0.0 | 0.0 | 0.0 | 0.0 | 0.0 | 0.0 | 0.0 | 0.0 | 0.0 |

| NÚMERO MEDIO DE HORAS DE TEMPERATURA INFERIOR A UNA REFERENCIA (°C) | | | | | | | | | | | | |
|---|------|------|------|------|------|------|------|------|------|------|------|------|
| Mes | ENE | FEB | MRZ | ABR | MAY | JUN | JUL | AGT | SEP | OCT | NOV | DIC |
| T<=7 | 0.00 | 0.00 | 0.00 | 0.00 | 0.00 | 0.00 | 0.00 | 0.00 | 0.00 | 0.00 | 0.00 | 0.00 |
| T<=10 | 0.00 | 0.00 | 0.00 | 0.00 | 0.00 | 0.00 | 0.00 | 0.00 | 0.00 | 0.00 | 0.00 | 0.00 |
| T<=12 | 0.00 | 0.00 | 0.00 | 0.00 | 0.00 | 0.00 | 0.00 | 0.00 | 0.00 | 0.00 | 0.00 | 0.00 |

NÚMERO MEDIO DE HORAS DE TEMPERATURA SUPERIOR A UNA REFERENCIA (°C)

| Mes | ENE | FEB | MRZ | ABR | MAY | JUN | JUL | AGT | SEP | OCT | NOV | DIC |
|-------|------|------|------|------|------|-------|-------|-------|-------|-------|-------|------|
| T=>20 | 0.63 | 0.74 | 3.59 | 5.49 | 9.91 | 15.64 | 22.16 | 23.16 | 23.81 | 22.12 | 17.87 | 5.12 |
| T=>25 | 0.00 | 0.00 | 0.17 | 0.44 | 0.01 | 0.05 | 1.92 | 4.32 | 7.73 | 3.39 | 3.33 | 0.03 |
| T=>30 | 0.00 | 0.00 | 0.00 | 0.13 | 0.00 | 0.00 | 0.00 | 0.00 | 1.20 | 0.01 | 0.00 | 0.00 |

NÚMERO DE HORAS ACUMULADAS EN INTERVALOS DE TEMPERATURA (°C)

| Mes | ENE | FEB | MRZ | ABR | MAY | JUN | JUL | AGT | SEP | OCT | NOV | DIC |
|-------|-------|-------|-------|-------|-------|-------|-------|-------|-------|-------|-------|-------|
| T<=7 | 0.0 | 0.0 | 0.0 | 0.0 | 0.0 | 0.0 | 0.0 | 0.0 | 0.0 | 0.0 | 0.0 | 0.0 |
| T<=10 | 0.0 | 0.0 | 0.0 | 0.0 | 0.0 | 0.0 | 0.0 | 0.0 | 0.0 | 0.0 | 0.0 | 0.0 |
| T<=12 | 0.0 | 0.0 | 0.0 | 0.0 | 0.0 | 0.0 | 0.0 | 0.0 | 0.0 | 0.0 | 0.0 | 0.0 |
| T<=15 | 177.6 | 181.8 | 87.4 | 7.6 | 1.2 | 0.0 | 0.0 | 0.0 | 0.0 | 0.0 | 0.0 | 1.8 |
| T=>20 | 19.6 | 20.6 | 111.4 | 164.8 | 307.2 | 469.2 | 687.0 | 718.0 | 714.2 | 685.6 | 536.2 | 158.8 |
| T=>25 | 0.0 | 0.0 | 5.4 | 13.2 | 0.4 | 1.4 | 59.6 | 133.8 | 231.8 | 105.2 | 99.8 | 0.8 |
| T=>30 | 0.0 | 0.0 | 0.0 | 4.0 | 0.0 | 0.0 | 0.0 | 0.0 | 36.0 | 0.2 | 0.0 | 0.0 |

NÚMERO DE DÍAS MUY FRÍOS, FRÍOS, TEMPLADOS, CÁLIDOS, CALIENTES, MUY CALIENTES (°C)

| Mes | ENE | FEB | MRZ | ABR | MAY | JUN | JUL | AGT | SEP | OCT | NOV | DIC |
|----------|-----|-----|-----|-----|-----|-----|-----|-----|-----|-----|-----|-----|
| T<=8 | 0 | 0 | 0 | 0 | 0 | 0 | 0 | 0 | 0 | 0 | 0 | 0 |
| T<=10 | 0 | 0 | 0 | 0 | 0 | 0 | 0 | 0 | 0 | 0 | 0 | 0 |
| 10<=T<15 | 3 | 3 | 0 | 0 | 0 | 0 | 0 | 0 | 0 | 0 | 0 | 0 |
| 15<=T<20 | 28 | 25 | 31 | 27 | 18 | 0 | 0 | 0 | 0 | 1 | 9 | 29 |
| 20<=T<25 | 0 | 0 | 0 | 3 | 13 | 30 | 30 | 31 | 23 | 29 | 18 | 2 |
| T>25 | 0 | 0 | 0 | 0 | 0 | 0 | 1 | 0 | 7 | 1 | 3 | 0 |

Humedad

HUMEDAD EXTREMA DIARIA y MEDIA MENSUAL (%)

| Mes | ENE | FEB | MRZ | ABR | MAY | JUN | JUL | AGT | SEP | OCT | NOV | DIC |
|-------|-----|-----|-----|-----|-----|-----|-----|-----|-----|-----|-----|-----|
| N ELE | 31 | 28 | 31 | 30 | 31 | 30 | 31 | 31 | 30 | 31 | 30 | 31 |
| H MIN | 55 | 74 | 55 | 60 | 72 | 78 | 57 | 76 | 43 | 72 | 35 | 40 |
| H MAX | 97 | 96 | 95 | 95 | 94 | 95 | 95 | 96 | 96 | 97 | 98 | 80 |
| H MED | 81 | 86 | 87 | 85 | 86 | 89 | 90 | 91 | 84 | 89 | 78 | 62 |

HUMEDAD MEDIA EN INTERVALOS HORARIOS (%)

| Mes | ENE | FEB | MRZ | ABR | MAY | JUN | JUL | AGT | SEP | OCT | NOV | DIC |
|---------|-----|-----|-----|-----|-----|-----|-----|-----|-----|-----|-----|-----|
| 0-8 h | 81 | 89 | 91 | 90 | 90 | 93 | 93 | 95 | 87 | 93 | 78 | 61 |
| 8-14 h | 78 | 83 | 82 | 78 | 80 | 83 | 86 | 88 | 79 | 86 | 75 | 60 |
| 14-20 h | 80 | 83 | 83 | 82 | 82 | 86 | 87 | 88 | 82 | 86 | 77 | 62 |
| 20-24 h | 83 | 88 | 92 | 91 | 91 | 94 | 93 | 94 | 88 | 92 | 82 | 66 |

FRECUENCIA RELATIVA EN INTERVALOS DE HUMEDAD (%)

| Mes | ENE | FEB | MRZ | ABR | MAY | JUN | JUL | AGT | SEP | OCT | NOV | DIC |
|----------|------|------|------|------|------|------|------|------|------|------|------|------|
| H<=40 | 1.6 | 0.0 | 0.9 | 1.2 | 0.0 | 0.0 | 0.0 | 0.0 | 2.1 | 0.0 | 6.7 | 9.5 |
| 40<=H<55 | 2.2 | 0.3 | 1.7 | 1.2 | 0.5 | 0.0 | 1.7 | 0.0 | 7.8 | 0.1 | 11.0 | 17.2 |
| 55<=H<70 | 13.3 | 3.6 | 2.6 | 6.9 | 6.3 | 1.7 | 4.4 | 0.8 | 6.5 | 6.2 | 15.4 | 44.8 |
| 70<=H<85 | 45.3 | 42.0 | 28.1 | 32.1 | 34.1 | 26.1 | 13.0 | 17.9 | 19.0 | 18.8 | 16.0 | 22.7 |
| H>85 | 37.6 | 54.2 | 66.7 | 58.5 | 59.0 | 72.2 | 80.8 | 81.3 | 64.6 | 74.9 | 51.0 | 5.8 |
| H>90 | 25.3 | 36.5 | 47.2 | 44.3 | 44.8 | 55.6 | 66.5 | 70.6 | 53.8 | 63.2 | 43.1 | 2.0 |

NÚMERO MEDIO DE HORAS DE HUMEDAD EN INTERVALOS DE HUMEDAD (%)

| Mes | ENE | FEB | MRZ | ABR | MAY | JUN | JUL | AGT | SEP | OCT | NOV | DIC |
|----------|-------|-------|-------|-------|-------|-------|-------|-------|-------|-------|-------|-------|
| H<=40 | 0.39 | 0.00 | 0.25 | 0.32 | 0.00 | 0.00 | 0.00 | 0.00 | 0.53 | 0.00 | 1.65 | 2.42 |
| 40<=H<55 | 0.54 | 0.09 | 0.42 | 0.38 | 0.16 | 0.00 | 0.51 | 0.00 | 2.03 | 0.04 | 2.61 | 3.95 |
| 55<=H<70 | 3.32 | 0.92 | 0.70 | 1.68 | 1.41 | 0.43 | 0.96 | 0.24 | 1.37 | 1.55 | 3.74 | 10.68 |
| 70<=H<85 | 10.63 | 9.92 | 6.57 | 7.49 | 8.26 | 6.16 | 3.17 | 4.15 | 4.38 | 4.48 | 3.66 | 5.46 |
| H>85 | 9.11 | 13.06 | 16.05 | 14.13 | 14.16 | 17.41 | 19.35 | 19.61 | 15.66 | 17.93 | 12.34 | 1.48 |
| H>90 | 6.13 | 8.92 | 11.45 | 10.88 | 11.01 | 13.52 | 16.20 | 17.03 | 13.00 | 15.47 | 10.50 | 0.48 |

NÚMERO DE HORAS ACUMULADAS EN INTERVALOS DE HUMEDAD (%)

| Mes | ENE | FEB | MRZ | ABR | MAY | JUN | JUL | AGT | SEP | OCT | NOV | DIC |
|----------|-------|-------|-------|-------|-------|-------|-------|-------|-------|-------|-------|-------|
| H<=40 | 12.2 | 0.0 | 7.8 | 9.6 | 0.0 | 0.0 | 0.0 | 0.0 | 16.0 | 0.0 | 49.4 | 75.0 |
| 40<=H<55 | 16.8 | 2.6 | 13.0 | 11.4 | 5.0 | 0.0 | 15.8 | 0.0 | 61.0 | 1.2 | 78.4 | 122.6 |
| 55<=H<70 | 103.0 | 25.8 | 21.8 | 50.4 | 43.8 | 12.8 | 29.8 | 7.4 | 41.2 | 48.0 | 112.2 | 331.2 |
| 70<=H<85 | 329.6 | 277.8 | 203.8 | 224.8 | 256.2 | 184.8 | 98.4 | 128.6 | 131.4 | 139.0 | 109.8 | 169.2 |
| H>85 | 282.4 | 365.8 | 497.6 | 423.8 | 439.0 | 522.4 | 600.0 | 607.8 | 469.8 | 555.8 | 370.2 | 45.8 |
| H>90 | 190.0 | 249.8 | 354.8 | 326.4 | 341.2 | 405.6 | 502.2 | 527.8 | 390.0 | 479.6 | 315.0 | 15.0 |

NÚMERO DE DÍAS SECOS, SEMISECOS, SEMIHÚMEDOS, HÚMEDOS Y MUY HÚMEDOS (%)

| Mes | ENE | FEB | MRZ | ABR | MAY | JUN | JUL | AGT | SEP | OCT | NOV | DIC |
|----------|-----|-----|-----|-----|-----|-----|-----|-----|-----|-----|-----|-----|
| H<=40 | 0 | 0 | 0 | 0 | 0 | 0 | 0 | 0 | 0 | 0 | 2 | 1 |
| 40<=H<55 | 0 | 0 | 1 | 0 | 0 | 0 | 0 | 0 | 2 | 0 | 3 | 7 |
| 55<=H<70 | 2 | 0 | 0 | 1 | 0 | 0 | 1 | 0 | 2 | 0 | 3 | 16 |
| 70<=H<85 | 21 | 12 | 5 | 11 | 12 | 3 | 2 | 3 | 8 | 5 | 9 | 7 |
| H>85 | 8 | 16 | 25 | 18 | 19 | 27 | 28 | 28 | 18 | 26 | 13 | 0 |
| H>90 | 6 | 8 | 9 | 9 | 9 | 12 | 24 | 23 | 12 | 18 | 11 | 0 |

Velocidad

VELOCIDAD ABSOLUTA EXTREMA DIARIA y MEDIA MENSUAL (Km/h)

| Mes | ENE | FEB | MRZ | ABR | MAY | JUN | JUL | AGT | SEP | OCT | NOV | DIC |
|--------|------|------|------|------|------|------|------|------|------|------|------|------|
| N ELE | 31 | 28 | 31 | 30 | 31 | 30 | 31 | 31 | 30 | 31 | 30 | 31 |
| V MINA | 5.4 | 7.1 | 5.8 | 7.9 | 4.8 | 7.3 | 11.0 | 7.5 | 7.0 | 6.9 | 5.9 | 5.3 |
| V MAX | 28.9 | 27.3 | 39.9 | 29.0 | 39.7 | 24.8 | 36.7 | 32.1 | 32.5 | 36.4 | 24.2 | 35.8 |
| V MED | 13.9 | 14.7 | 16.6 | 16.3 | 17.8 | 14.8 | 23.2 | 19.0 | 16.7 | 15.3 | 15.6 | 18.8 |

VELOCIDAD MEDIA EN PERIODOS HORARIOS (Km/h)

| Mes | ENE | FEB | MRZ | ABR | MAY | JUN | JUL | AGT | SEP | OCT | NOV | DIC |
|---------|------|------|------|------|------|------|------|------|------|------|------|------|
| 0-8 h | 12.9 | 12.5 | 15.2 | 12.6 | 15.1 | 10.6 | 18.7 | 15.8 | 14.4 | 13.5 | 14.0 | 17.6 |
| 8-14 h | 14.0 | 16.7 | 18.6 | 19.0 | 20.5 | 18.5 | 27.8 | 22.4 | 19.8 | 17.5 | 17.5 | 20.2 |
| 14-20 h | 15.9 | 18.0 | 18.8 | 20.6 | 21.0 | 19.0 | 27.5 | 22.2 | 18.6 | 17.4 | 17.0 | 19.8 |
| 20-24 h | 13.8 | 12.2 | 15.3 | 14.4 | 16.6 | 12.2 | 18.8 | 16.3 | 14.9 | 13.7 | 14.7 | 18.9 |

FRECUENCIA RELATIVA EN INTERVALOS DE VELOCIDAD (Km/h)

| Mes | ENE | FEB | MRZ | ABR | MAY | JUN | JUL | AGT | SEP | OCT | NOV | DIC |
|----------|------|------|------|------|------|------|------|------|------|------|------|------|
| 0<V<=5 | 9.1 | 7.8 | 7.2 | 6.6 | 7.7 | 6.1 | 2.0 | 4.8 | 4.0 | 7.6 | 5.7 | 4.8 |
| 5<V<=10 | 32.3 | 28.9 | 27.9 | 25.9 | 28.2 | 27.6 | 9.7 | 20.0 | 22.2 | 30.6 | 22.5 | 19.2 |
| 10<V<=15 | 21.7 | 20.9 | 16.2 | 17.5 | 13.8 | 23.3 | 10.3 | 13.4 | 17.8 | 20.2 | 17.1 | 14.7 |
| 15<V<=20 | 11.3 | 14.5 | 11.6 | 13.3 | 8.8 | 13.6 | 11.7 | 12.5 | 18.9 | 13.4 | 22.4 | 16.2 |
| V>20 | 24.7 | 26.7 | 34.9 | 35.3 | 39.2 | 28.6 | 66.1 | 48.4 | 35.7 | 26.4 | 31.2 | 43.7 |
| CALMA | 0.9 | 1.3 | 2.3 | 1.4 | 2.2 | 0.8 | 0.2 | 1.0 | 1.4 | 1.9 | 1.0 | 1.3 |

NÚMERO DE HORAS DE VIENTO EN INTERVALOS DE VELOCIDAD (Km/h)

| Mes | ENE | FEB | MRZ | ABR | MAY | JUN | JUL | AGT | SEP | OCT | NOV | DIC |
|----------|------|------|------|------|------|------|-------|-------|------|------|------|-------|
| V<=5 | 2.18 | 1.86 | 1.72 | 1.57 | 1.86 | 1.46 | 0.48 | 1.15 | 0.97 | 1.81 | 1.37 | 1.16 |
| 5<V<=10 | 7.75 | 6.94 | 6.70 | 6.21 | 6.77 | 6.63 | 2.32 | 4.80 | 5.32 | 7.35 | 5.40 | 4.60 |
| 10<V<=15 | 5.20 | 5.01 | 3.88 | 4.19 | 3.32 | 5.59 | 2.46 | 3.21 | 4.27 | 4.85 | 4.11 | 3.52 |
| 15<V<=20 | 2.71 | 3.47 | 2.78 | 3.20 | 2.12 | 3.27 | 2.81 | 2.99 | 4.53 | 3.22 | 5.39 | 3.90 |
| V>20 | 5.94 | 6.40 | 8.38 | 8.47 | 9.42 | 6.85 | 15.87 | 11.61 | 8.56 | 6.33 | 7.49 | 10.49 |

NÚMERO DE HORAS ACUMULADAS EN INTERVALOS DE VELOCIDAD DEL VIENTO (Km/h)

| Mes | ENE | FEB | MRZ | ABR | MAY | JUN | JUL | AGT | SEP | OCT | NOV | DIC |
|----------|-------|-------|-------|-------|-------|-------|-------|-------|-------|-------|-------|-------|
| V<=5 | 67.6 | 52.2 | 53.2 | 47.2 | 57.6 | 43.8 | 14.8 | 35.8 | 29.0 | 56.2 | 41.2 | 36.0 |
| 5<V<=10 | 240.4 | 194.4 | 207.8 | 186.4 | 210.0 | 199.0 | 71.8 | 148.8 | 159.6 | 227.8 | 162.0 | 142.6 |
| 10<V<=15 | 161.2 | 140.4 | 120.2 | 125.8 | 102.8 | 167.8 | 76.4 | 99.4 | 128.2 | 150.2 | 123.4 | 109.2 |
| 15<V<=20 | 84.0 | 97.2 | 86.2 | 96.0 | 65.6 | 98.0 | 87.2 | 92.8 | 136.0 | 99.8 | 161.6 | 120.8 |
| V>20 | 184.0 | 179.2 | 259.8 | 254.2 | 292.0 | 205.6 | 492.0 | 359.8 | 256.8 | 196.2 | 224.8 | 325.2 |

DÍAS POCO VENTOSOS, LIGERAMENTE VENTOSOS, MODERADOS, VENTOSOS Y MUY VENTOSOS (Km/h)

| Mes | ENE | FEB | MRZ | ABR | MAY | JUN | JUL | AGT | SEP | OCT | NOV | DIC |
|----------|-----|-----|-----|-----|-----|-----|-----|-----|-----|-----|-----|-----|
| V<=5 | 0 | 0 | 0 | 0 | 1 | 0 | 0 | 0 | 0 | 0 | 0 | 0 |
| 5<V<=10 | 13 | 8 | 10 | 9 | 10 | 10 | 0 | 5 | 5 | 13 | 8 | 8 |
| 10<V<=15 | 8 | 9 | 6 | 7 | 7 | 6 | 4 | 6 | 10 | 8 | 5 | 5 |
| 15<V<=20 | 3 | 5 | 6 | 3 | 0 | 7 | 6 | 6 | 5 | 2 | 7 | 5 |
| V>20 | 7 | 6 | 9 | 11 | 13 | 7 | 21 | 14 | 10 | 8 | 10 | 13 |

Radiación

RADIACIÓN GLOBAL ABSOLUTA EXTREMA, MEDIA Y ACUMULADA POR MES (MJ/m²)

| Mes | 31 | 28 | 31 | 30 | 31 | 30 | 31 | 31 | 30 | 31 | 30 | 31 |
|-------|-------|-------|-------|-------|-------|-------|-------|-------|-------|-------|-------|-------|
| N_ELE | 2.3 | 3.5 | 8.8 | 2.5 | 6.6 | 9.4 | 17.6 | 13.6 | 3.0 | 4.7 | 4.8 | 4.1 |
| RMIND | 14.1 | 16.7 | 21.6 | 23.7 | 25.0 | 25.6 | 25.1 | 23.9 | 21.2 | 18.3 | 15.2 | 13.1 |
| RMAXD | 9.0 | 11.8 | 17.7 | 17.7 | 20.0 | 19.0 | 23.0 | 20.5 | 16.2 | 12.5 | 10.6 | 11.0 |
| RADMD | 279.0 | 330.5 | 547.5 | 532.1 | 621.5 | 568.8 | 713.5 | 634.0 | 486.6 | 388.9 | 317.2 | 342.1 |
| RAD | 31 | 28 | 31 | 30 | 31 | 30 | 31 | 31 | 30 | 31 | 30 | 31 |

RADIACIÓN GLOBAL (MJ/m²) ACUMULADA EN INTERVALOS HORARIOS (MJ/m²)

| Mes | ENE | FEB | MRZ | ABR | MAY | JUN | JUL | AGT | SEP | OCT | NOV | DIC |
|-------|-------|-------|-------|-------|-------|-------|-------|-------|-------|-------|-------|-------|
| 7-10 | 2.4 | 4.4 | 14.5 | 28.4 | 36.0 | 41.3 | 36.3 | 29.7 | 22.3 | 17.3 | 7.3 | 4.0 |
| 10-13 | 76.4 | 93.8 | 157.2 | 169.9 | 184.3 | 179.1 | 197.1 | 189.9 | 157.7 | 147.2 | 100.0 | 97.7 |
| 13-16 | 130.5 | 146.0 | 225.2 | 199.2 | 232.8 | 198.4 | 266.9 | 247.2 | 195.3 | 190.6 | 145.4 | 161.2 |
| 16-19 | 70.0 | 86.6 | 151.0 | 138.1 | 179.3 | 150.8 | 213.1 | 176.8 | 116.4 | 93.3 | 64.5 | 79.3 |

RADIACIÓN (MJ/M²) ACUMULADA SEGUN DÍAS CUBIERTOS, NUBOSOS Y SOLEADOS (MJ/m²)

| Mes | ENE | FEB | MRZ | ABR | MAY | JUN | JUL | AGT | SEP | OCT | NOV | DIC |
|-------|-------|-------|-------|-------|-------|-------|-------|-------|-------|-------|-------|-------|
| RBAJA | 10.0 | 7.4 | 0.0 | 2.5 | 21.1 | 0.0 | 0.0 | 0.0 | 3.0 | 15.2 | 9.8 | 4.1 |
| RMED | 106.9 | 79.5 | 56.6 | 109.0 | 49.7 | 153.2 | 0.0 | 29.4 | 77.8 | 72.4 | 71.9 | 23.5 |
| RALTA | 162.2 | 243.6 | 490.9 | 420.6 | 550.7 | 415.6 | 713.5 | 604.6 | 405.8 | 301.3 | 235.6 | 314.5 |

NÚMERO DE DÍAS CUBIERTOS, NUBOSOS Y SOLEADOS (MJ/m²)

| Mes | ENE | FEB | MRZ | ABR | MAY | JUN | JUL | AGT | SEP | OCT | NOV | DIC |
|-------|-----|-----|-----|-----|-----|-----|-----|-----|-----|-----|-----|-----|
| RBAJA | 3 | 2 | 0 | 1 | 3 | 0 | 0 | 0 | 1 | 3 | 2 | 1 |
| RMED | 15 | 9 | 5 | 9 | 4 | 12 | 0 | 2 | 7 | 8 | 9 | 3 |
| RALTA | 13 | 17 | 26 | 20 | 24 | 18 | 31 | 29 | 22 | 20 | 19 | 27 |

Evotranspiración Penman

| EVAPOTRANSPIRACIÓN PENMAN ABSOLUTA EXTREMA DIARIA Y ACUMULADA MENSUAL (mm) | | | | | | | | | | | | |
|--|------|------|------|------|------|------|-------|------|-------|------|------|------|
| Mes | ENE | FEB | MRZ | ABR | MAY | JUN | JUL | AGT | SEP | OCT | NOV | DIC |
| N_ELE | 31 | 28 | 31 | 30 | 31 | 30 | 31 | 31 | 30 | 31 | 30 | 31 |
| EMIND | 0.8 | 0.7 | 1.9 | 1.4 | 1.4 | 1.8 | 2.4 | 2.4 | 0.9 | 1.0 | 0.9 | 1.9 |
| EMAXD | 3.0 | 3.1 | 4.4 | 5.0 | 4.4 | 4.0 | 7.2 | 4.5 | 8.6 | 4.2 | 6.6 | 5.4 |
| ETP | 56.5 | 52.1 | 77.2 | 84.0 | 94.8 | 87.0 | 103.7 | 94.1 | 101.7 | 70.1 | 73.5 | 97.1 |

| EVAPOTRANSPIRACIÓN PENMAN RADIATIVA Y ADVECTIVA ACUMULADA MENSUAL (mm) | | | | | | | | | | | | |
|--|------|------|------|------|------|------|------|------|------|------|------|------|
| Mes | ENE | FEB | MRZ | ABR | MAY | JUN | JUL | AGT | SEP | OCT | NOV | DIC |
| ETR | 23.6 | 29.2 | 50.1 | 53.4 | 63.3 | 65.1 | 71.2 | 69.9 | 56.0 | 43.5 | 29.3 | 22.2 |
| ETA | 33.0 | 22.9 | 27.1 | 30.7 | 31.5 | 22.0 | 32.6 | 24.3 | 45.7 | 26.6 | 44.2 | 74.9 |

| NÚMERO DE DÍAS CON ETP MUY BAJAS, ETP BAJAS, ETP MEDIAS Y ETP ALTAS (mm) | | | | | | | | | | | | |
|--|-----|-----|-----|-----|-----|-----|-----|-----|-----|-----|-----|-----|
| Mes | ENE | FEB | MRZ | ABR | MAY | JUN | JUL | AGT | SEP | OCT | NOV | DIC |
| E<=2.5 | 27 | 26 | 19 | 10 | 9 | 10 | 1 | 3 | 9 | 21 | 17 | 10 |
| 2.5<=E<5 | 4 | 2 | 12 | 20 | 22 | 20 | 28 | 28 | 17 | 10 | 12 | 19 |
| 5<=E<7.5 | 0 | 0 | 0 | 0 | 0 | 0 | 2 | 0 | 2 | 0 | 1 | 2 |
| E>7.5 | 0 | 0 | 0 | 0 | 0 | 0 | 0 | 0 | 2 | 0 | 0 | 0 |

Balance Hídrico

| BALANCE HÍDRICO MENSUAL (mm) | | | | | | | | | | | | |
|------------------------------|------|------|-------|-------|-------|-------|--------|-------|-------|-------|------|-------|
| Mes | ENE | FEB | MRZ | ABR | MAY | JUN | JUL | AGT | SEP | OCT | NOV | DIC |
| BALHI | 77.4 | 18.0 | -77.1 | -58.1 | -85.8 | -87.0 | -103.7 | -92.5 | -98.4 | -41.4 | 23.0 | -97.1 |

Resumen Anual

PRECIPITACIÓN TOTAL: 369.0 mm

| | | |
|------------------|----|-------|
| Días PREC.>0.1mm | 35 | 9.6 % |
| Días PREC.>1.0mm | 23 | 6.3 % |
| Días PREC.>5.0mm | 15 | 4.1 % |
| Días PREC.>10mm | 9 | 2.5 % |
| Días PREC.>20mm | 6 | 1.6 % |

TEMPERATURA MEDIA DIARIA: 20.1 %

TEMPERATURAS EXTREMAS DIARIAS: 12.2 °C y 35.3 °C

| | | |
|---------------|-----|---------|
| Días 0<T | 365 | 100.0 % |
| Días 0<T<=10 | 0 | 0.0 % |
| Días 10<T<=15 | 6 | 1.6 % |
| Días 15<T<=20 | 168 | 46.0 % |
| Días 20<T<=25 | 179 | 49.0 % |
| Días 25<T<=30 | 11 | 3.0 % |
| Días 30<T | 1 | 0.3 % |

HUMEDAD MEDIA DIARIA: 84 %
HUMEDADES MED. DIARIAS EXTREMAS: 35 % y 98 %

| | | |
|-------------------|-----|---------|
| Días HUM>0% | 365 | 100.0 % |
| Días 0<HUM<=20 % | 0 | 0.0 % |
| Días 20<HUM<=40 % | 3 | 0.8 % |
| Días 40<HUM<=55 % | 13 | 3.6 % |
| Días 55<HUM<=70 % | 25 | 6.8 % |
| Días 70<HUM<=85 % | 98 | 26.8 % |
| Días HUM>85% | 226 | 61.9 % |

VELOCIDAD MEDIA DIARIA 17.2 Km/h

| | | |
|---------------------|-----|--------|
| Días 0<VEL<=5Km/h | 1 | 0.3 % |
| Días 5<VEL<=10Km/h | 99 | 27.1 % |
| Días 10<VEL<=15Km/h | 81 | 22.2 % |
| Días 15<VEL<=20Km/h | 55 | 15.1 % |
| Días VEL>20Km/h | 129 | 35.3 % |

VELOCIDADES en CALMAS: 1.3 %
RADIACIÓN GLOBAL MEDIA DIARIA: 15.8 MJ/m²
RADIACIÓN GLOBAL TOTAL ANUAL: 5762 MJ/m²

| | | |
|-----------------------------------|-----|---------|
| Días RAD>0.1 MJ/m ² | 365 | 100.0 % |
| Días 0.1<RAD<=5 MJ/m ² | 13 | 3.6 % |
| Días 5<RAD<=10 MJ/m ² | 56 | 15.3 % |
| Días 10<RAD<=15 MJ/m ² | 101 | 27.7 % |
| Días 15<RAD<=20 MJ/m ² | 85 | 23.3 % |
| Días 20<RAD<=25 MJ/m ² | 103 | 28.2 % |
| Días RAD>25 MJ/m ² | 7 | 1.9 % |

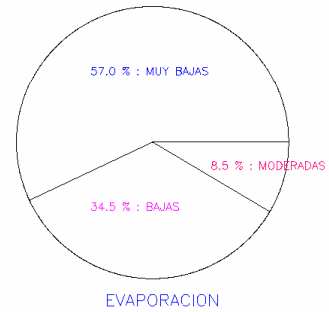
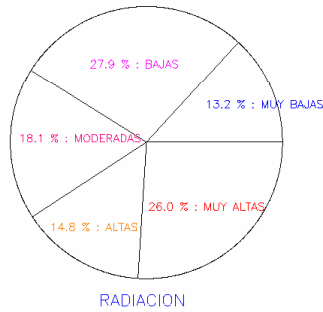
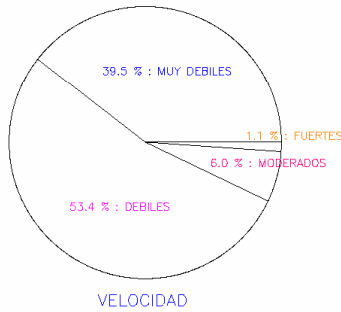
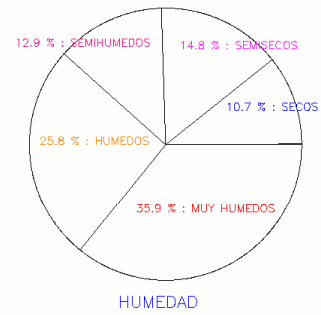
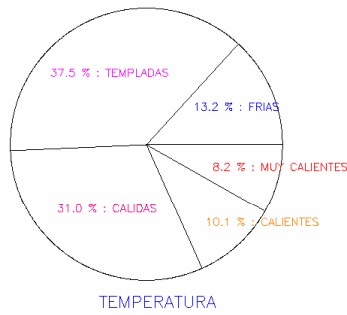
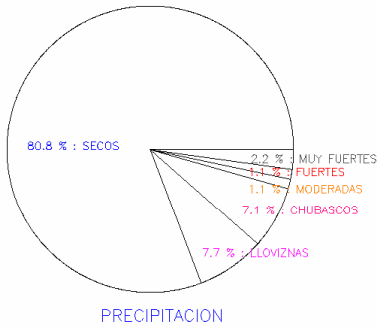
Días CUBIERTOS: 4.4 %
 Días DESPEJADOS: 72.7 %

EVAPOTRANSPIRACION PENMAN MEDIA DIARIA: 2.72 mm
EVAPOTRANSPIRACION PENMAN TOTAL ANUAL: 991.9 mm

| | | |
|----------------------|-----|---------|
| Días ETP>0.mm | 365 | 100.0 % |
| Días 0.1<ETP<=2.5 mm | 162 | 44.4 % |
| Días 2.5<ETP<=5.0 mm | 194 | 53.2 % |
| Días 5.0<ETP<=7.5 mm | 7 | 1.9 % |
| Días ETP>7.5 7.5 mm | 2 | 0.5 % |

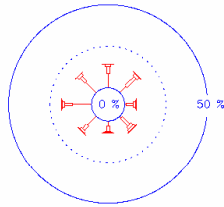
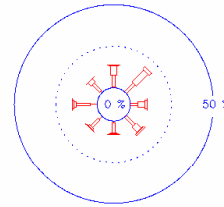
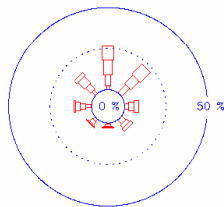
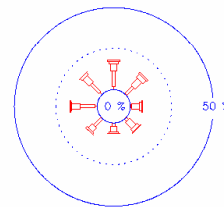
EVAPOTRANSPIRACION RADIATIVA PENMAN: 576.6 mm
EVAPOTRANSPIRACION ADVECTIVAS PENMAN: 415.0 mm

FRECUENCIAS RELATIVA GLOBALES – 2006 – ARICO – EL BUENO (LOS HELECHOS)



Diagramas sectoriales anuales de las observaciones climáticas diarias.

Un diagrama sectorial es la presentación de las frecuencias relativas sobre un círculo. La frecuencia es proporcional al ángulo del sector circular. Elegimos 6 intervalos de precipitaciones: $P <= 0.1$ mm (secos), $0.1 < P <= 1$ mm (llovizna), $1 \text{ mm} < P <= 5$ mm (chubasco), $5 \text{ mm} < P <= 10$ mm (moderada), $10 \text{ mm} < P <= 20$ mm (fuerte) y $P > 20$ mm (muy fuerte). La temperatura, humedad, velocidad del viento, radiación directa y evapotranspiración tienen los mismos intervalos previamente definidos. Los días secos, templados o cálidos, húmedos o muy húmedos, poco ventosos y con ETP muy bajas o ETP bajas son frecuentes. Los días muy lluviosos, calientes o muy calientes, secos, ventosos, cubiertos y ETP moderadas son poco frecuentes.

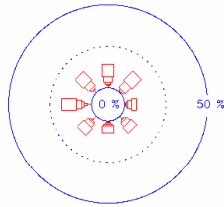
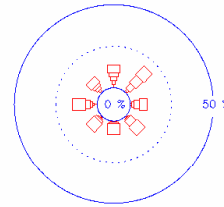
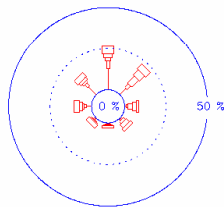
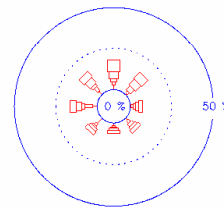
2006 – ARICO – EL BUENO (LOS HELECHOS)
 TEMPERATURA EN INVIERNO

 2006 – ARICO – EL BUENO (LOS HELECHOS)
 TEMPERATURA EN PRIMAVERA

 2006 – ARICO – EL BUENO (LOS HELECHOS)
 TEMPERATURA EN VERANO

 2006 – ARICO – EL BUENO (LOS HELECHOS)
 TEMPERATURA EN OTONO


TEMPERATURA DEL AIRE

- 0.0 < T <= 10.0 C.
- ⋯ 10.0 < T <= 15.0 C.
- - - 15.0 < T <= 20.0 C.
- ▬ 20.0 < T <= 25.0 C.
- 25.0 < T <= 45.0 C.

Rosa de temperaturas en periodos estacionales independiente del periodo horario.

La rosa nos indica que los vientos soplan en todas las direcciones. En **invierno** los vientos en el sector W a NE son dominante; los vientos fríos soplan en todas las direcciones, en el sector SW a N son frecuentes y en la dirección W son dominantes; los vientos templados soplan frecuentemente en todas las direcciones; los vientos cálidos soplan en todas las direcciones y son poco frecuentes, y los vientos calientes soplan en el sector NE a SW y son poco frecuentes. En **primavera** los vientos en el sector N a NE y en la dirección W son dominantes; los vientos fríos soplan en el sector S a NW y en la dirección W son frecuentes; los vientos templados soplan frecuentemente en todas las direcciones; los vientos cálidos soplan en todas las direcciones, en el sector N a E son frecuentes y en la dirección NE son dominantes y los vientos calientes soplan en el sector SW a SE y son poco frecuentes. En **verano** los vientos en el sector N a NE son dominantes; los vientos templados soplan en el sector SW a NW y son poco frecuentes; los vientos cálidos soplan en todas las direcciones y en el sector N a NE son frecuentes; los vientos calientes soplan en todas las direcciones y en el sector NW a NE son frecuentes y los vientos muy calientes soplan en todas las direcciones y en el sector N a NE son frecuentes. En **otoño** los vientos en el sector W a NE son dominantes; los vientos fríos soplan en el sector W a NE y son poco frecuentes; los vientos templados soplan en todas las direcciones y en el sector SW a NE son frecuentes; los vientos cálidos soplan frecuentemente en todas las direcciones; los vientos calientes soplan en todas las direcciones y son poco frecuentes, y los vientos muy calientes soplan en el sector N a E y son poco frecuentes.

2006 – ARICO – EL BUENO (LOS HELECHOS)
 HUMEDAD EN INVIERNO

 2006 – ARICO – EL BUENO (LOS HELECHOS)
 HUMEDAD EN PRIMAVERA

 2006 – ARICO – EL BUENO (LOS HELECHOS)
 HUMEDAD EN VERANO

 2006 – ARICO – EL BUENO (LOS HELECHOS)
 HUMEDAD EN OTONO


HUMEDAD DEL AIRE

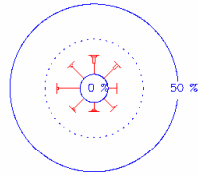
- 0.0 < H <= 40.0 %
- ▬ 40.0 < H <= 55.0 %
- ▨ 55.0 < H <= 70.0 %
- ▩ 70.0 < H <= 85.0 %
- 85.0 < H <= 100.0 %

Rosa de humedades en periodos estacionales independiente del periodo horario.

La rosa nos indica que los vientos soplan en todas las direcciones. En **invierno** los vientos en el sector W a NE son dominantes; los vientos secos soplan en todas las direcciones y son poco frecuentes; los vientos semisecos y semihúmedos soplan en todas las direcciones y son poco frecuentes; los vientos húmedos soplan en todas las direcciones, en el sector NW a NE son frecuentes y los vientos muy húmedos soplan en todas las direcciones y en el sector SW a NE son frecuentes. En **primavera** los vientos en el sector N a NE y en la dirección W son dominantes; los vientos secos soplan en el sector W a NE y son poco frecuentes; los vientos semisecos soplan en el sector SW a NE y en la dirección NE son frecuentes; los vientos semihúmedos soplan en todas las direcciones y en la dirección NE son frecuentes, los vientos húmedos soplan en todas las direcciones y en el sector N a SE son frecuentes, y los vientos muy húmedos soplan frecuentemente en todas las direcciones. En **verano** los vientos en el sector N a NE son dominantes; los vientos secos soplan en el sector SW a E, en el sector NW a NE son frecuentes y en la dirección N son dominantes; los vientos semisecos soplan en todas las direcciones y en el sector N a NE son frecuentes; los vientos semihúmedos y húmedos soplan en todas las direcciones y en la dirección NE son frecuentes y los vientos muy húmedos soplan en todas las direcciones y en el sector W a NE son frecuentes. En **otoño** los vientos en el sector W a NE son dominantes; los vientos secos soplan en todas las direcciones y en el sector SW a N son frecuentes; los vientos semisecos soplan en todas las direcciones y en el sector W a NW son frecuentes; los vientos semihúmedos soplan en todas las direcciones y en la dirección NE son frecuentes; los vientos húmedos y muy húmedos soplan en todas las direcciones y en la dirección NW a NE son frecuentes.

2006 – ARICO – EL BUENO (LOS HELECHOS)

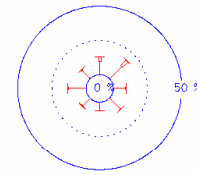
VELOCIDAD EN INVIERNO



OBS. CALMAS : 8.09 %

2006 – ARICO – EL BUENO (LOS HELECHOS)

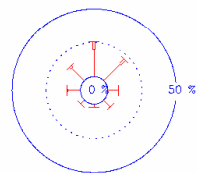
VELOCIDAD EN PRIMAVERA



OBS. CALMAS : 10.99 %

2006 – ARICO – EL BUENO (LOS HELECHOS)

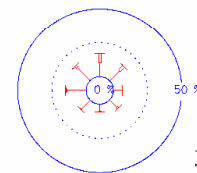
VELOCIDAD EN VERANO



OBS. CALMAS : 7.15 %

2006 – ARICO – EL BUENO (LOS HELECHOS)

VELOCIDAD EN OTONO



OBS. CALMAS : 7.24 %

 VELOCIDAD DEL VIENTO
 — 0.0 < v <= 10.0 KM/H
 — 10.0 < v <= 20.0 KM/H
 — 20.0 < v <= 30.0 KM/H
 — 30.0 < v <= 40.0 KM/H
 — 40.0 < v <= 90.0 KM/H

Rosa de velocidades en periodos estacionales independiente del periodo horario.

La rosa nos indica que los vientos soplan en todas las direcciones. En **invierno** los vientos en el sector W a NE son dominantes; los vientos débiles soplan en todas las direcciones y en el sector W a NW son dominantes; los vientos moderados soplan en el sector SE a NE y en el sector N a NE son frecuentes y los vientos fuertes soplan en la dirección N y son poco frecuentes. En **primavera** los vientos soplan frecuentemente en el sector N a NE y en la dirección W; los vientos débiles soplan en todas las direcciones y en las direcciones W y NE son dominantes; los vientos moderados soplan en el sector NW a E y en el sector N a NE son frecuentes. En **verano** los vientos en el sector N a NE son dominantes; los vientos débiles soplan en todas las direcciones, en el sector W a SE son frecuentes y en el sector N a NE son dominantes; los vientos moderados soplan en el sector NW a E y en el sector N a NE son frecuentes. En **otoño** los vientos en el sector W a NE son dominantes; los vientos débiles soplan frecuentemente en todas las direcciones y en el sector W a N son dominantes; los vientos moderados soplan en los sectores W a NE y SE a S, y en el sector N a NE son frecuentes.

Análisis Climático Anual

Los días con precipitaciones superiores a 0.1 mm son 70. Los días con precipitaciones abundantes son: $\Rightarrow > 5$ mm: 16; $\Rightarrow 10$ mm: 12 y $\Rightarrow 20$ mm: 8. Los meses secos son julio y diciembre. Los meses lluviosos son enero (313.9 mm), febrero (129.7 mm), abril (61.3 mm), octubre (29.6 mm) y noviembre (75.2 mm). Los días con precipitaciones abundantes: enero (138.5 mm, vientos muy débiles, NW y SE; 71.3 mm, vientos débiles, SW a W; 50.3 mm, vientos débiles, S a SW; 25.7 mm, vientos débiles, NW a N, calima; 25.7 mm, vientos débiles, NW a N, calima; 21.6 mm, vientos débiles, SE a S), febrero (85.6 mm, vientos fuertes, S a SW, calima; 13.5 mm, vientos débiles, W a NW, calima), abril (46.2 mm, vientos moderados, NW y SW), octubre (19.4 mm, vientos débiles, S a SW, calima), noviembre (57.3 mm, vientos débiles, S a SW, calima; 12.1 mm, vientos muy débiles, W y SE, calima). En general, las lluvias copiosas van acompañadas de vientos débiles que soplan frecuentemente en el sector S a NW y de calima. Los días lloviznosos van acompañados de vientos muy débiles o débiles que soplan en todas las direcciones. La precipitación acumulada es 656.1 mm/año, precipitación inferior a los años 2005 (524 mm/año) y 2004 (311.4 mm/año).

Las precipitaciones de **rocío** son frecuentes durante el año, excepto los días secos del verano y otoño; se forman entre la madrugada y el amanecer, cuando la noche es fría o templada, la humedad del aire supera el 90 % y los vientos están en calma o son muy débiles: el contenido de agua de la atmósfera precipita, el cielo está despejado de nubosidad, la humedad del aire alcanza su valor mínimo al amanecer, por tanto, se registra la temperatura mínima del día. Las **nieblas** se forman frecuentemente a partir del mediodía hasta medianoche; las nieblas están presentes todos los meses del año, cuando la humedad del aire es superior al 90 % y en muchas ocasiones van acompañadas de lloviznas. Las nieblas no están presentes en los días secos, calinosos y con temperaturas elevadas.

Los días con temperaturas medias altas y humedades medias bajas que sobresalen de los valores normales diarios a causa de las presencias de “**olas de calor**”; días con humedades medias inferiores al 40 %, vientos débiles a moderados que soplan frecuentemente en los sectores NW a NE (vientos secos) y SE a W (vientos semisecos), y muchos van acompañados de calima. Julio a octubre registran temperaturas horarias superiores a los 30 °C. Julio y septiembre registran temperaturas horarias superiores a 33 °C; las temperaturas horarias máximas anuales 35.7 °C (julio, 25 %, 2.5 km/h, NE, calima) y 35.2 °C (septiembre, 27 %, 3.9 km/h, E, calima). Los periodos muy calientes más largos se registran en julio (209.8 h), agosto (169 h), septiembre (194.4 h) y octubre (62.2 h). Son notables los días con temperaturas “altas anormales”: enero (13.3 °C, 39 %, 7.2 km/h, SW y SE, 12.7 MJ/m², calima; 12.8 °C, 67 %, 8.2 km/h, S a SW, 6.2 MJ/m²), febrero (12.5 °C, 83 %, 10.3 km/h, NW y S, 15.9 MJ/m², calima), marzo (19 °C, 28 %, 6.8 km/h, SE, 20.9 MJ/m²; 19.1 °C, 35 %, 5.6 km/h, SE a SW, 20.2 MJ/m²; 20.4 °C, 33 %, 7 km/h, SE a NW, 22.2 MJ/m² y 19.2 °C, 40 %, 4.8 km/h, SE a NW, 20.4 MJ/m²), abril (25 °C, 23 %, 7.6 km/h, W y SE, 20.5 MJ/m²; 25.5 °C, 22 %, 7.9 km/h, W y SE, 22.1 MJ/m² y 23 °C, 36 %, 4.2 km/h, SW y SE, 20.6 MJ/m², calima), julio (26 °C, 28 %, 6.2 km/h, NW a NE, 17.6 MJ/m², calima; 28.1 °C, 28 %, 8.7 km/h, N a NE, 19.4 MJ/m², calima; 30 °C, 27 %, 10.5 km/h, NW a NE, 20.6 MJ/m², calima; 29.6 °C, 26 %, 7.3 km/h, NW a NE, 21.2 MJ/m²; 28.9 °C, 31 %, 5.6 km/h, W a NE, 19.2 MJ/m², calima y 26.7 °C, 41 %, 5.4 km/h, W a NE, 22.9 MJ/m²), agosto (28.4 °C, 31 %, 8.3 km/h, N a NE, 23.1 MJ/m² y 26.3 °C, 36 %, 7.5 km/h, N a NE, 23.4 MJ/m²), septiembre (27.5 °C, 35 %, 5.1 km/h, W y SE, 21.2 MJ/m², calima;

29.6 °C, 34 %, 6.6 km/h, NW a NE, 19.3 MJ/m², calima; 28.9 °C, 39 %, 6.9 km/h, W a N, 7.2 MJ/m², calima; 30.8 °C, 30 %, 11.8 km/h, N a NE, 17.7 MJ/m², calima y 30.4 °C, 28 %, 7.7 km/h, NW a NE, 18.5 MJ/m², calima), octubre (25.8 °C, 40 %, 9.6 km/h, N a NE, 18 MJ/m², calima y 26.9 °C, 32 %, 14.1 km/h, N a NE, 16.6 MJ/m², calima), noviembre (22.5 °C, 39 %, 6 km/h, S a NW, 9.7 MJ/m²; 18 °C, 58 %, 4.7 km/h, NW y NE, 14.3 MJ/m², calima; 20 °C, 40 %, 5.8 km/h, SE a NW, 12.8 MJ/m², calima; 21 °C, 40 %, 5.1 km/h, SE a NW, 8.3 MJ/m², calima; 20.8 °C, 36 %, 3.2 km/h, SE a W, 6.8 MJ/m²; 19.8 °C, 44 %, 5.2 km/h, SE a W, 13.1 MJ/m², calima; 19.6 °C, 48 %, 5.2 km/h, SE a W, 9.3 MJ/m², calima; 20 °C, 30 %, 6 km/h, SE a S, 7.3 MJ/m², calima y 20.3 °C, 29 %, 9.7 km/h, NW a NE, 11.8 MJ/m², calima) y diciembre (14.1 °C, 34 %, 6.6 km/h, SW a W, 12.5 MJ/m²). Los periodos mensuales con temperaturas “altas anormales”, las temperaturas medias diarias no superan 9 días (en 2, fb 1, mr 4, ab 3, jl 6, ag 2, sp 5, oc 2, nv 9 y dc 1) y las temperaturas medias diarias superiores a los 22 °C son 49 (mr 1, ab 3, jl 14, ag 15, sp 12, oc 3 y nv 1).

Los días con temperaturas medias bajas y humedades medias elevadas que sobresalen de los valores normales diarios a causa de las presencias de “olas de frío”, días con humedades medias superiores al 75 %, calma, vientos muy débiles a débiles que soplan frecuentemente en el sector NW a NE y en la dirección SW, presencia de niebla, ausencias de precipitaciones y calima. Enero a mayo y diciembre registran temperaturas horarias inferiores a 9 °C. Enero a marzo registran temperaturas horarias inferiores a 7 °C; es notable, la temperatura horaria mínima anual 4.5 °C (febrero, 95 %, 2.2 km/h, W, 3:30 h). Los periodos fríos más largos se registran en enero (446.8 h), febrero (395.8 h), marzo (159.2 h), abril (144.6 h), mayo (61.4 h) y diciembre (128.6 h). Son notables los días con temperaturas “bajas anormales”: enero (8.3 °C, 89 %, 4.5 km/h, SW a W, 4.6 MJ/m² y 1.6 mm; 8.7 °C, 92 %, 5.3 km/h, SW a NW, 3.7 MJ/m² y 71.3 mm; 8.6 °C, 99 %, 3 km/h, SE a SW, 2.3 MJ/m² y 21.6 mm; 8.6 °C, 92 %, 4.9 km/h, NW a NE, 3.9 MJ/m² y 3.2 mm; 8 °C, 87 %, 4.3 km/h, SE a W, 4.9 MJ/m²; 8.2 °C, 92 %, 5.7 km/h, SW y N a NE, 3.2 MJ/m², niebla y 7.9 °C, 94 %, 5.8 km/h, NW a NE, 1.8 MJ/m², 0.1 mm y niebla), febrero (7.8 °C, 90 %, 5.3 km/h, NW a NE, 3.8 MJ/m², niebla; 9 °C, 97 %, 5 km/h, N a NE, 5.6 MJ/m², niebla; 8.3 °C, 94 %, 6 km/h, NW a NE, 6.7 MJ/m², niebla; 9.1 °C, 92 %, 5 km/h, NW a NE, 4.6 MJ/m², niebla; 8.9 °C, 88 %, 7.5 km/h, NW a NE, 8.6 MJ/m², niebla; 8.5 °C, 94 %, 4.9 km/h, NW NE, 4.9 MJ/m², niebla; 8.6 °C, 85 %, 7.1 km/h, NE y SW, 8.2 MJ/m²; 8.3 °C, 86 %, 5.2 km/h, E y W, 6.3 MJ/m², niebla; 7.9 °C, 89 %, 7.1 km/h, W a NE, 7.8 MJ/m², niebla; 7.9 °C, 89 %, 4.8 km/h, W a NE, 8 MJ/m², niebla; 9.1 °C, 90 %, 4.4 km/h, W a NW, 6.5 MJ/m², niebla), marzo (8.6 °C, 88 %, 5.2 km/h, NE y SW a W, 7.2 MJ/m², niebla; 8 °C, 90 %, 6.1 km/h, W a NE, 6.8 MJ/m², niebla) y diciembre (9 °C, 83 %, 11.2 km/h, NW a NE, 5.3 MJ/m², 0.2 mm, llovizna; 9.4 °C, 77 %, 15.9 km/h, N a NE, 11.3 MJ/m²; 9.2 °C, 76 %, 8.9 km/h, NW a NE, 8.4 MJ/m²). Los periodos mensuales con temperaturas “bajas anormales”, las temperaturas medias diarias no superan 7 días (en 7, fb 11, mr 2 y dc 3) y las temperaturas medias diarias inferiores a 12 °C son 125 (en 29, fb 26, mr 11, ab 18, my 7, nv 3 y dc 13).

Enero y febrero son meses **fríos**, temperaturas medias 9.8 °C y 9.8 °C. Julio y agosto son los meses **calientes**, temperaturas medias 22.3 °C y 21.5 °C. Las temperaturas medias diarias extremas son 7.9 °C, 7.8 °C (enero, Tex 7.3 °C / 9.2 °C, 94 %, 5.8 km/h, N a NW, 1.8 MJ/m², 0.1 mm; febrero, Tex 6.6 °C / 10.1 °C, 70 %, 5.3 km/h, N a NE, 3.8 MJ/m²) y 30 °C, 30.8 °C (julio, Tex 25.3 °C / 35.7 °C, 27 %, 10.5 km/h, N a NE, 20.6 MJ/m², calima; septiembre Tex 26.7 °C / 35.2 °C, 30 %, 11.8 km/h, N a NE, 17.7 MJ/m², calima). El otoño es más caliente que la primavera. Las diferencias medias mensuales entre las temperaturas extremas diarias están comprendidas entre 4 °C (enero) y 8.8 °C (julio); existen diferencias entre los periodos invernal y estival. Los días fríos (T ≤ 10 °C) son 48, los días templados (10 < T ≤ 15 °C) son 137, los días cálidos (15 < T ≤ 20 °C) son 113, los días calientes (20 < T ≤ 25 °C) son 37 y los días muy calientes (T > 25 °C) son 30. Los vientos fríos soplan en todas las direcciones y en el sector suroeste a norte son frecuentes; los vientos templados soplan frecuentemente en todas las direcciones y en la dirección oeste son

dominantes; los vientos cálidos soplan en todas las direcciones, en el sector oeste a sureste son frecuentes y en la dirección noreste son dominantes. Los vientos calientes soplan en todas las direcciones y en el sector norte a noreste son frecuentes. Los vientos muy calientes soplan en todas las direcciones y en el sector norte a norte son notables. Las temperaturas horarias durante el periodo nocturno (0 h – 8 h y 20 h – 24 h) son frías a cálidas, inferiores a las temperaturas horarias en el periodo diurno (8 h - 14 h y 14 h – 20 h), templadas a calientes; destacan las temperaturas medias mensuales extremas en los periodos horarios de enero (9 °C, 10.8 °C, 10.4 °C y 9.1 °C), febrero (8.5 °C, 11.9 °C, 10.7 °C y 9.1 °C) y julio (20.2 °C, 24.6 °C, 24.1 °C y 20.6 °C). “Las temperaturas horarias durante la noche les corresponden las humedades más bajas y las temperaturas horarias durante el día les corresponden las humedades más altas de la jornada”. Las temperaturas medias anuales son 15.8 °C (2006), 15.5 °C (2005) y 15.9 °C (2004).

Las cantidades de **horas muy frío** se registra en enero a marzo: (0.58, 1.94 y 0.39) horas/día, periodo medio diario de permanencia de la temperatura inferior o igual a 7 °C. Las cantidades de **horas frío** se registran en enero a mayo y noviembre a diciembre: (14.41, 14.14, 5.14, 4.82, 1.98, 0.37 y 4.15) horas/día, periodos medios diarios de permanencia de las temperaturas inferiores o iguales a 10 °C. Las cantidades de **horas templadas** se registran todos los meses, oscilan entre 2.17 horas/día (agosto) y 16.07 horas/día (diciembre); son notables entre enero a junio y noviembre a diciembre: (9.48, 9.61, 8.73, 13.37, 11.12, 14.62, 8.18, 16.07) horas/día, periodos medio diarios de permanencia de las temperaturas superiores a 10 °C e inferiores o iguales a 15 °C. Las cantidades de **horas cálidas** oscilan entre 0.11 horas/día (enero) y 12.18 horas/día (octubre); son notables entre enero, febrero, septiembre, octubre y noviembre: (8.95, 8.56, 9.52, 12.18 y 10.84) horas/día, periodos medio diarios de permanencia de las temperaturas superiores a 15 °C e inferiores o iguales a 20 °C. Las cantidades de **horas calientes** se registran entre marzo y noviembre; son importantes en julio y agosto: (9.55 y 9.85) horas/día, periodos medios diarios de permanencia de las temperaturas superiores a 20 °C e inferiores o iguales a 25 °C. Las cantidades de **horas muy calientes** se registran en marzo, abril y julio a noviembre; son notables entre julio a octubre (6.77, 5.46, 6.48 y 2 horas/día), periodos medios diarios de permanencia de las temperaturas superiores o iguales a 25 °C.

Marzo, julio, agosto y diciembre son los meses **más secos**, humedades medias 64 %, 53 %, 60 % y 64 %. Enero, febrero y junio son los meses **más húmedos**, humedades medias 82 %, 87 % y 87 %. Las humedades medias diarias extremas son 22 %, 26 % (abril 25.5 °C, 7.9 km/h, W y SE, 22.1 MJ/m²; julio 29.6 °C, 7.3 km/h, N a NE, 21.2 MJ/m², calima) y 99 %, 98 %, 98 % (enero 8.6 °C, 3 km/h SE a S, 2.3 MJ/m², 21.6 mm; mayo 13.4 °C, 2.5 km/h, SE a S, 4.4 MJ/m², 1.2 mm, calima; septiembre 15.5 °C, 3.9 km/h, N a NE, 3.9 MJ/m², 3.4 mm). Los días secos ($H \leq 40\%$) son 39; los días semisecos ($40\% < H \leq 55\%$) son 54; los días semihúmedos ($55\% < H \leq 70\%$) son 47; los días húmedos ($70\% < H \leq 85\%$) son 94 y los días muy húmedos ($H \geq 85\%$) son 131. Los vientos secos soplan en todas las direcciones, en el sector oeste a norte son notables y en la dirección norte son frecuentes. Los vientos semisecos en el sector oeste a noreste son notables. Los vientos semihúmedos en la dirección noreste son frecuentes. Los vientos húmedos en el sector oeste a sureste son notables y en la dirección noreste son frecuentes. Los vientos muy húmedos soplan en todas las direcciones y en las direcciones oeste, norte y noreste son frecuentes. Las humedades horarias durante el periodo nocturno (0 h – 8 h y 20 h – 24 h) son semisecas a húmedas, inferiores a las humedades horarias en el periodo diurno (8 h - 14 h y 14 h – 20 h) son semihúmedas a muy húmedas; destacan las humedades medias mensuales extremas en los periodos horarios en julio (46 %, 56 %, 59 % y 54 %) y febrero (97 %, 88 %, 89 % y 89 %), junio (85 %, 84 %, 92 % y 90 %). “Las humedades horarias durante la noche les corresponden las humedades más bajas y las humedades horarias durante el día les corresponden las humedades más altas de la jornada”. Las humedades horarias a comienzo de la tarde hasta el anochecer son las mayores de la jornada. En

general, “las temperaturas horarias durante la noche les corresponden las humedades más bajas y las temperaturas horarias durante el día les corresponden las humedades más elevadas de la jornada”. Las humedades medias anuales son 71 % (2006), 63 % (2005) y 65 % (2004).

Las cantidades de **horas secas** se registran todos los meses, oscilan entre 0.1 horas/día (febrero) y 9.55 horas/día (julio); son importantes en marzo, julio a septiembre, noviembre y diciembre (7.08, 9.55, 5.98, 6.33, 5.81 y 4.47) horas/día, periodo medio diario de permanencia de la humedad inferior o igual al 40 °C. Las cantidades de **horas semisecas** oscilan entre 0.26 horas/día (febrero) y agosto (5.28 horas/día); son notables en marzo, mayo, julio, agosto, octubre, noviembre y diciembre (2.61, 3.34, 3.34, 5.28, 3.49, 3.19 y 5.11) horas/día, periodos medios diarios de permanencia de la humedad comprendida entre 40 % y 55 %. Las cantidades de **horas semihúmedas** oscilan entre 1.58 horas/día (febrero) y julio (4.46 horas/día); son notables en mayo, julio, agosto, octubre y diciembre (4.43, 4.46, 4.19, 3.96 y 3.94) horas/día, periodos medios diarios de permanencia de la humedad comprendida entre 55 % y 70 %. Las cantidades de **horas húmedas** oscilan entre 4.74 horas/día (septiembre) y 11.05 horas/día (febrero); son importantes en enero a junio, octubre, noviembre y diciembre (10.17, 11.05, 6.41, 9.15, 6.45, 7.87, 7.95, 6.36 y 6.91) horas/día, periodos medios diarios de permanencia de las humedades comprendidas entre 70 % y 90 %. Las cantidades de **horas muy húmedas** son importantes entre enero a junio, octubre y noviembre (9.28, 11.09, 5.74, 8.44, 7.65, 13, 6.58 y 5.81) horas/día, periodos medios diarios de permanencia de las humedades superiores al 90 °C. Los periodos secos más largos se registran en marzo (219.6 h), julio (296 h), agosto (185.4 h), septiembre (189.8 h), noviembre (174.4 h) y diciembre (138.6 h); los periodos muy húmedos (humedad superior al 90 %) más largos se registran en enero (287.8 h), febrero (310.6 h), abril (253.2 h), mayo (237.2 h), junio (392 h), septiembre (256.6 h) y octubre (204 h).

Enero, febrero y diciembre son meses **ventosos**, velocidades medias 6.8 km/h, 6.8 km/h y 8.3 km/h; los porcentajes de vientos en calma son 7.1 %, 6.9 % y 2.7 % de las observaciones/mes. Junio y octubre son meses **poco ventosos**, velocidades medias 4.9 km/h y 5.5 km/h; los porcentajes de vientos en calma son 11.7 % y 9.9 % de las observaciones/mes. El número de días con velocidades medias: muy débiles ($0 \text{ km/h} < V \leq 5 \text{ km/h}$) son 144; débiles ($5 \text{ km/h} < V \leq 10 \text{ km/h}$) son 195; moderadas ($10 \text{ km/h} < V \leq 15 \text{ km/h}$) son 22 y fuertes ($V > 15 \text{ km/h}$) son 4. Los vientos que soplan en las direcciones norte (17.3 %), noreste (17.2 %), oeste (13.6 %) y noroeste (13.1 %) son frecuentes y en la dirección sur (5.2 %) es poco frecuente. Las velocidades débiles ($0 \text{ km/h} < V \leq 10 \text{ km/h}$) son 77.3 % de las observaciones/año; las velocidades moderadas ($10 \text{ km/h} < V \leq 20 \text{ km/h}$) son 13.2 % de las observaciones/año; las velocidades fuertes ($20 \text{ km/h} < V \leq 30 \text{ km/h}$) son 0.87 % de las observaciones/año y las velocidades muy fuertes $V > 30 \text{ km/h}$) son 0.06 % de las observaciones/año. Los vientos débiles soplan frecuentemente en todas las direcciones y en las direcciones noreste y oeste son dominantes: 12.4 % y 13 % de las observaciones/año. Los vientos moderados soplan en todas las direcciones y en las direcciones norte y noreste son frecuentes: 9 % de las observaciones/año. Los vientos fuertes y muy fuertes son poco frecuentes: 0.7 % de las observaciones/año. Las velocidades minutarias en calma son 8.4 % de las observaciones/año. Las velocidades horarias durante los periodos nocturno (0 h – 8 h), periodos diurno (8 h - 14 h y 14 h – 20 h) y periodo vespertino (20 h – 24 h) son similares; destacan las velocidades medias mensuales extremas en los periodos horarios en junio (5.4 km/h, 6.1 km/h, 5.6 km/h y 4.6 km/h) y diciembre (8.4 km/h, 9.5 km/h, 8.1 km/h y 7.8 km/h). El día más lluvioso (138.5 mm, 3.9 km/h, 97 %) tiene vientos muy débiles que soplan en las direcciones noroeste y sureste. Son notables, los días ventosos de enero (15.1 km/h, N a NE, 91 %); febrero (19.9 km/h y 14 km/h, S a SW y N a NE, 78 % y 85 %, 85.6 mm y 0 mm); marzo (19.2 km/h y 11.2 km/h (calima), N a NE y N a W, 53 % y 49 %, 0.6 mm y 0.4 mm); abril (14.8 km/h, SW y NW, 74 %, 46.2 mm); mayo (11.7 km/h (calima), 12.6 km/h, 13 km/h y 14.5 km/h (calima), N a NE, 49 %, 66 %, 42 % y 46 %); septiembre (11.8

km/h, N a NE, 30 %, calima); octubre (14.1 km/h, N a NE, 32 %) y diciembre (14.2 km/h, 11.4 km/h, 14.5 km/h, 11.2 km/h y 15. km/h, N a NE, NE a E, NW y SW, N a NE y N a NE, 76 %, 56 %, 57 %, 83 % y 77%). Las velocidades diarias media anuales: 6.4 km/h (2006), 6.3 km/h (2005) y 6.6 km/h (2004).

Algunos días, en todos los meses del año, los vientos adquieren direcciones opuestas cada día; durante **la noche** cuándo los vientos son fríos a cálidos, soplan en el sector S a N y en el sector W a N son frecuentes: los vientos descienden sobre la superficie: **efecto catabático** y durante **el día** cuándo los vientos son templados a muy calientes, soplan en el sector N a S y en el sector NE a SE son frecuentes: los vientos ascienden sobre la superficie: **efecto anabático**. Las cantidades de días que verifican el fenómeno meteorológico son 89 (en 9, fb 5, mr 5, ab 4, my 14, jn 3, jl 5, ag 12, sp 12, oc 12, no 6 y dc 8).

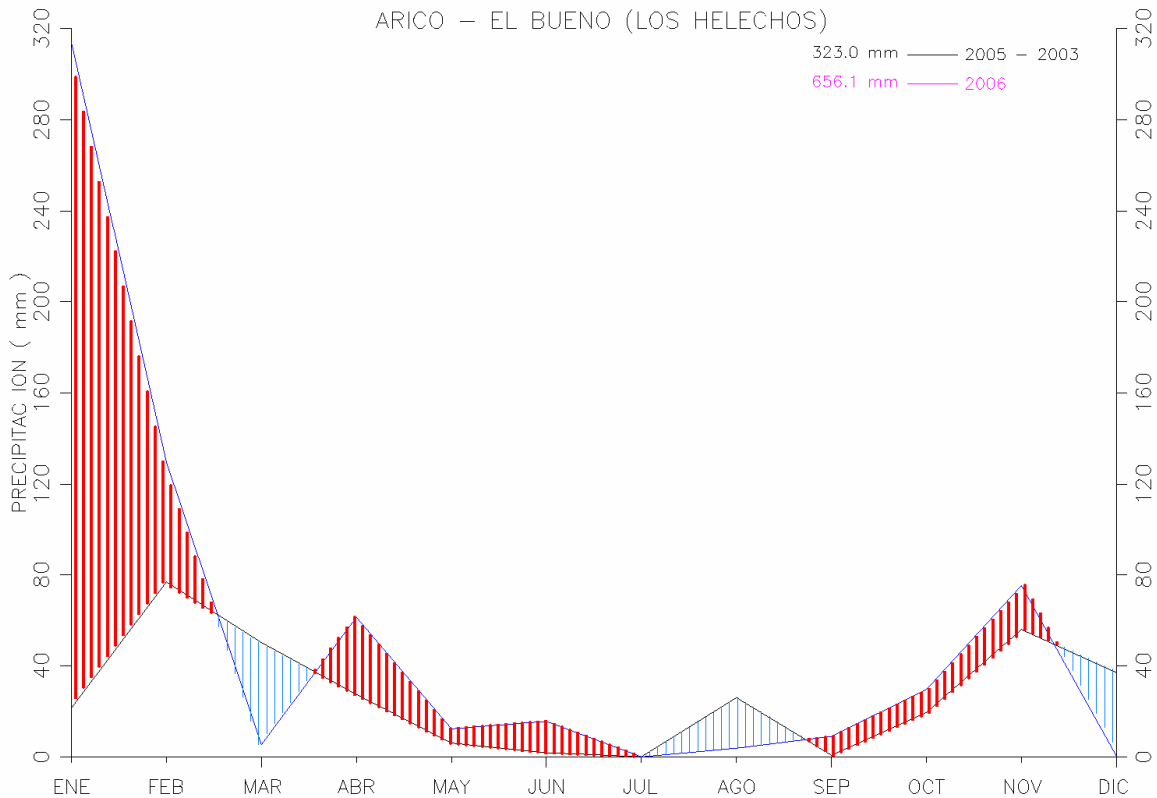
Enero, febrero, junio, septiembre y noviembre son los meses **menos soleados**, radiaciones directas acumuladas 215 MJ/m², 223 MJ/m², 356 MJ/m², 374 MJ/m² y 273 MJ/m². Julio y agosto son los meses **más soleados**, radiaciones directas acumuladas 706 MJ/m² y 617 MJ/m². El porcentaje medio mensual de días cubiertos es 41.1 % y el porcentaje medio mensual de días soleados es 26 %. La distribución anual de la radiación directa diaria tiene un contorno paraboloide hiperbólico similar a la distribución anual de la radiación extraterrestre diaria. En general, “la radiación directa diaria está directamente relacionada con la temperatura y opuestamente con la humedad”; es decir, los días soleados tienen las temperaturas medias altas y las humedades medias bajas y los días cubiertos tienen las temperaturas medias bajas y las humedades medias altas. Esta relación no se cumple siempre en las islas Canarias, existen días cálidos o calientes, secos o semisecos, vientos débiles que soplan en el sector sureste a oeste y disminuye la visibilidad; tenemos una situación meteorológica, es decir, tenemos días con **calima**. Los días calinosos se presentan todos los meses; son notables en abril, mayo, junio, julio, septiembre y noviembre. Las radiaciones directas acumuladas en primavera, verano, otoño e invierno son: 931 MJ/m², 1329 MJ/m², 2029 MJ/m² y 958 MJ/m². Las radiaciones directas acumuladas anuales: 4914 MJ/m².año (2006), 4843 MJ/m².año (2005) y 4831 MJ/m².año (2004).

Enero, febrero, junio, noviembre y diciembre tienen **poca evapotranspiración**, las ETP acumuladas son 37.2 mm, 35 mm, 61.8 mm, 57.7 mm y 58 mm. Julio y agosto tienen **elevada evapotranspiración**, las ETP acumuladas son 145.1 mm 128.4 mm. Los días con evapotranspiraciones bajas (ETP ≤ 2.5 mm) son 208; los días con evapotranspiraciones moderadas (2.5 mm < ETP ≤ 5 mm) son 126 y los días con evapotranspiraciones altas (5 mm < ETP ≤ 7.5 mm) son 31. La distribución anual de la evapotranspiración Penman diaria tiene un contorno similar a la distribución anual de la radiación extraterrestre diaria. La ETP diaria es función de los parámetros climático: temperatura, humedad, velocidad del viento y radiación directa; la ETP es directamente proporcional a la temperatura, velocidad y radiación directa e inversamente proporcional a la humedad. Son notables las ETP altas de los días soleados de abril (5.5 mm, 25 °C, 23 %, 7.6 km/h, 20.5 MJ/m², W y SE); 5.7 mm, 25.5 °C, 22 %, 7.9 km/h, 22.1 MJ/m², W y SE); mayo (5.5 mm, 18 °C, 46 %, 14.5 km/h, 25.9 MJ/m², N a NE); julio (6.5 mm, 27.7 °C, 28 %, 8.1 km/h, 23.5 MJ/m², N a NE; 6.3 mm, 28.1 °C, 28 %, 8.7 km/h, 19.4 MJ/m², N a NE; 7.3 mm, 30 °C, 27 %, 10.5 km/h, 20.6 MJ/m², N a NE y 6.2 mm, 29.6 °C, 26 %, 7.3 km/h, 21.2 MJ/m², N a NE); agosto (6.4 mm, 28.4 °C, 31 %, 8.3 km/h, 23 MJ/m², N a NE y 5.9 mm, 26.3 °C, 36 %, 7.5 km/h, 23.4 MJ/m², N a NE); septiembre (6.9 mm, 30.8 °C, 30 %, 11.8 km/h, 17.7 MJ/m², N a NE y 6.3 mm, 26.5 °C, 35 %, 11.2 km/h, 20.7 MJ/m², N a NE), octubre (6.4 mm, 26.9 °C, 32 %, 14.1 km/h, 16.6 MJ/m², N a NE) y noviembre (4.2 mm, 20.3 °C, 29 %, 9.7 km/h, 11.8 MJ/m², NW a N). Las evapotranspiraciones acumuladas anuales: 937.1 mm (2006), 977.6 mm (2005) y 988 mm (2004).

El balance hídrico diario es deficitario durante el año agronómico. Solamente enero y febrero, meses lluviosos, presentan cambios favorables al acumular agua en el subsuelo. El periodo enero a julio tiene un balance hídrico positivo. A partir de agosto, el subsuelo experimenta un cambio en la tendencia del contenido de agua, la sequedad a final del verano no recupera el contenido acuoso. Los balances hídricos anuales de los años agronómicos: -214.5 mm (2005/2006), -472.6 mm (2005/2004) y -736.2 mm (2004/2003).

Análisis Comparativo del Año 2006 con el Periodo 2003 / 2005

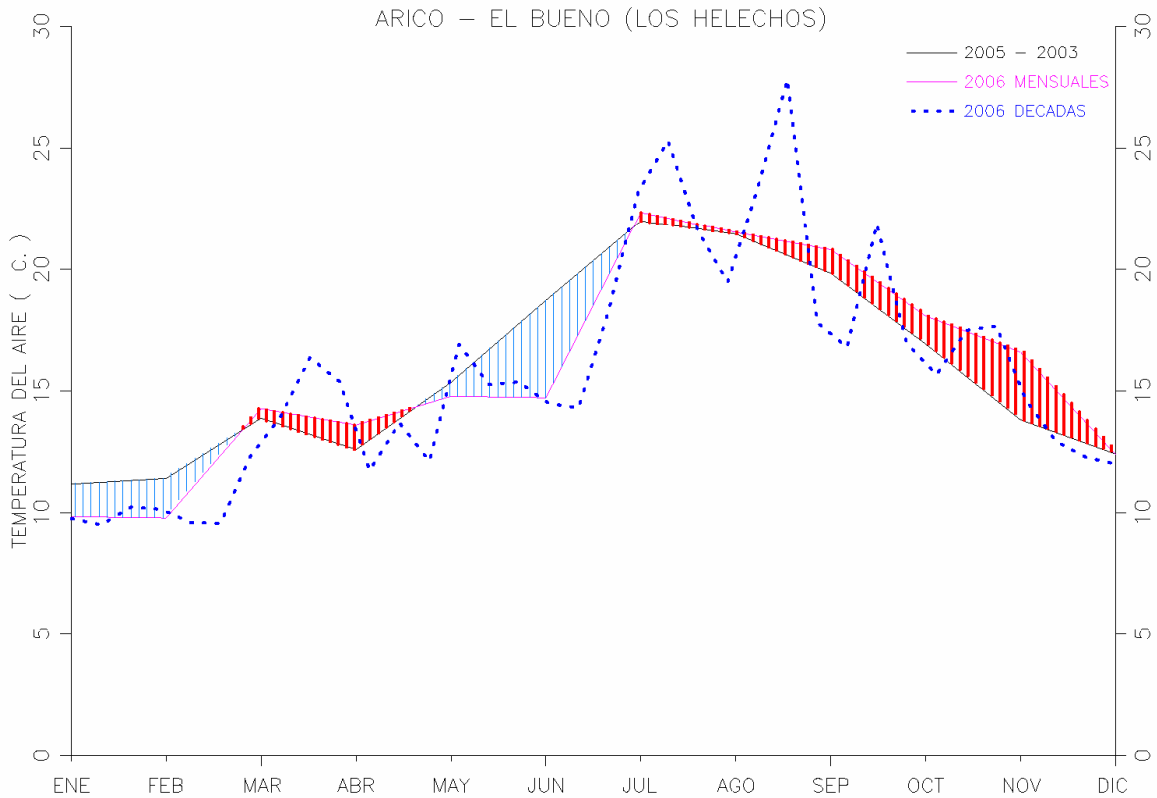
PRECIPITACIONES MEDIAS MENSUALES 2006 / PERIODO 2005 – 2003



Precipitaciones medias mensuales 2006 / Periodo 2003 – 2005.

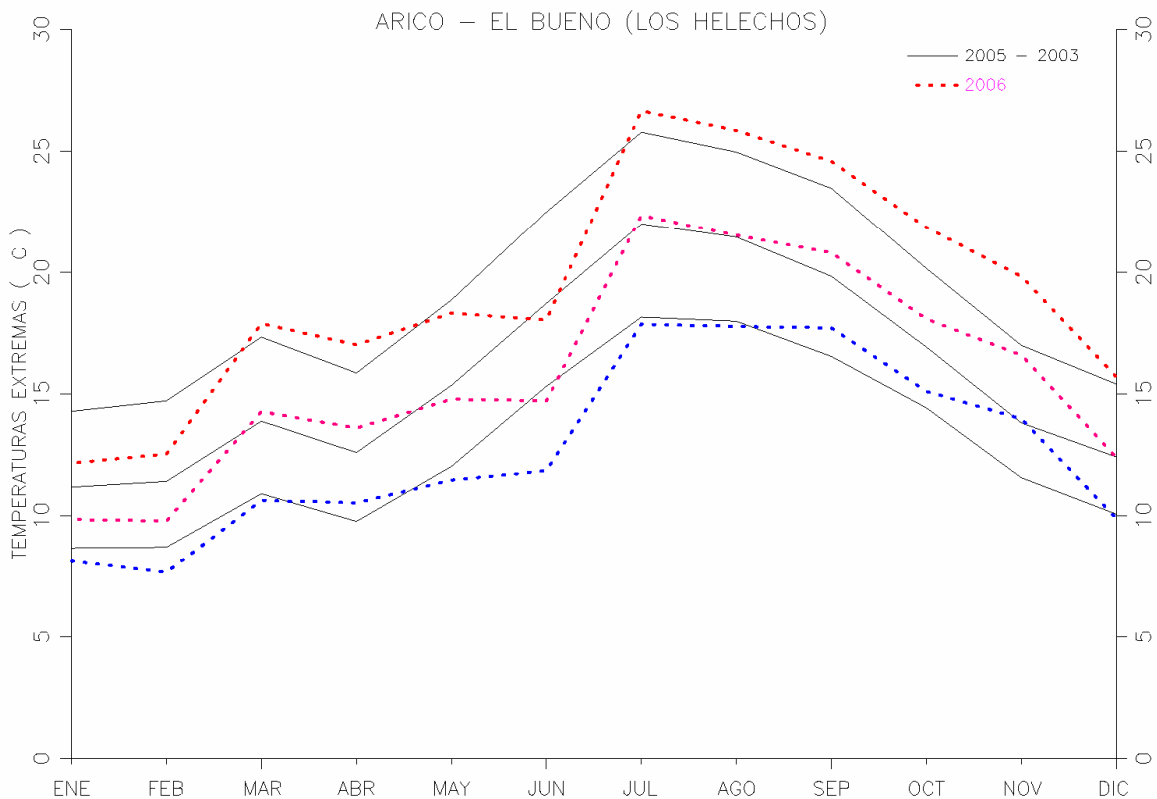
Presentación de las precipitaciones diarias acumuladas mensualmente y las precipitaciones diarias acumuladas mensualmente medias durante el periodo recogido en el archivo histórico de la estación meteorológica. Las precipitaciones mensuales recogidas en enero, febrero, abril, mayo, junio, agosto y diciembre durante el año 2006 son superiores a las “precipitaciones mensuales normales” del lugar de observación. La precipitación anual del año 2006 es 656.1 mm y es superior a la precipitación anual normal, 323 mm. Conclusión: “el año 2006 es notablemente lluvioso”.

TEMPERATURAS MEDIAS MENSUALES 2006 / PERIODO 2005 – 2003


Temperaturas del aire medias mensuales 2006 / Periodo 2003 – 2005.

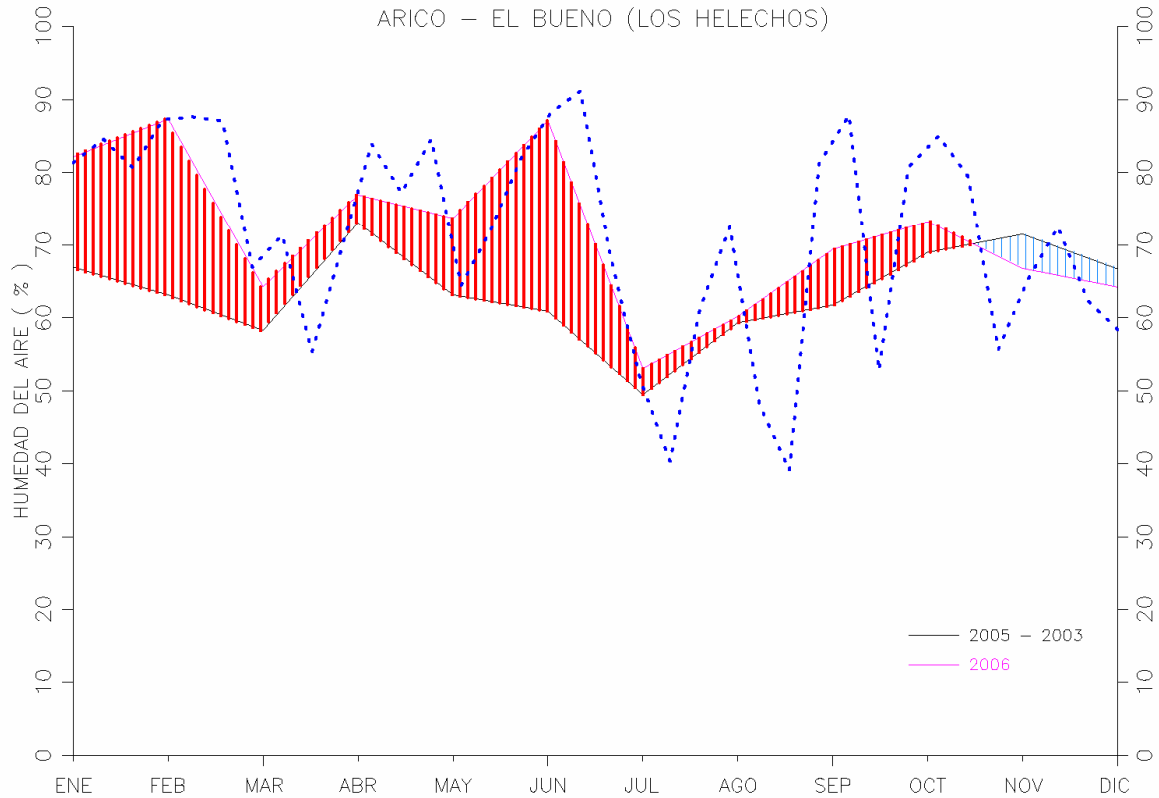
Presentación de las temperaturas medias mensuales, temperaturas medias decadarias y temperaturas medias mensuales durante el periodo recogido en el archivo histórico de la estación meteorológica. Las temperaturas medias mensuales recogidas en marzo, abril y julio a noviembre durante el año 2006 son superiores a las “temperaturas mensuales normales” del lugar de observación. Conclusión: “el año 2006 es más templado en los primeros meses de la primavera, más caliente en verano y más cálido en los primeros meses de otoño comparados con las temperaturas mensuales normales”.

TEMPERATURAS EXTREMAS MEDIAS MENSUALES 2006 / PERIODO 2005 – 2003


Temperaturas extremas diarias medias mensuales 2006 / Periodo 2003 – 2005.

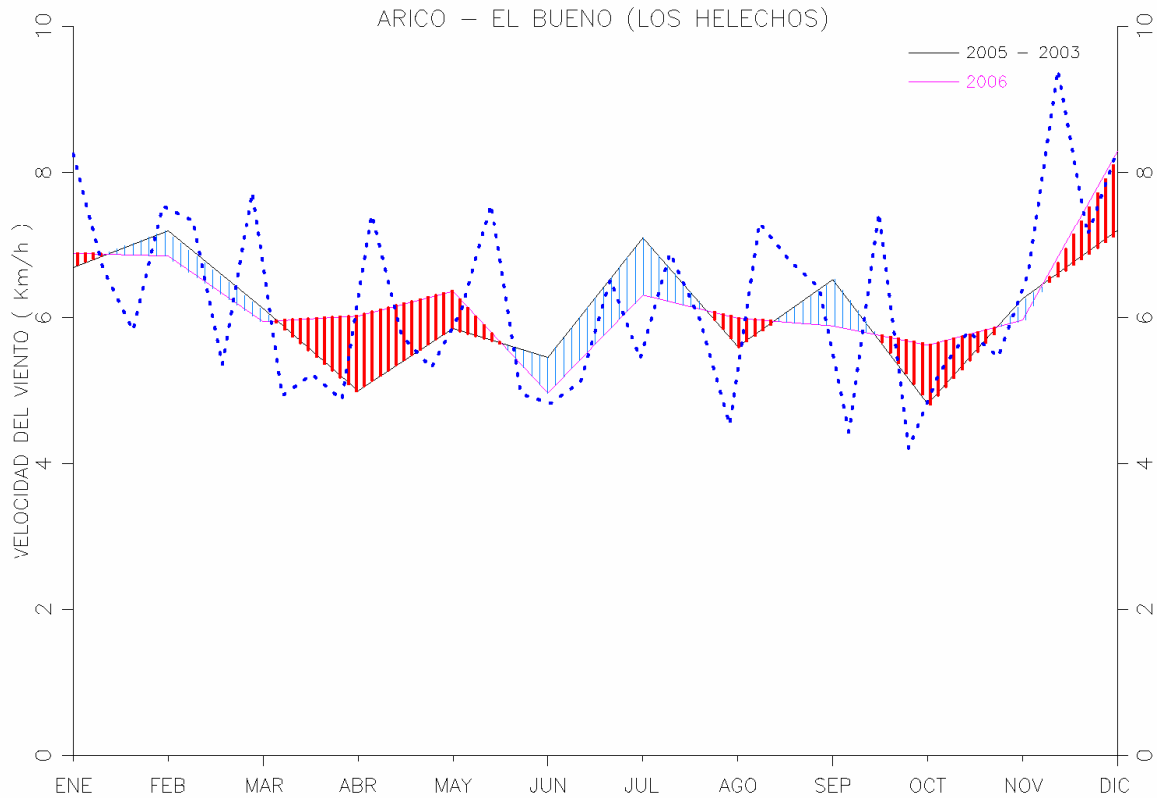
Presentación de las temperaturas extremas medias mensuales y temperaturas extremas medias mensuales durante el periodo recogido en el archivo histórico de la estación meteorológica. Las temperaturas máximas medias mensuales recogidas en marzo, abril y julio a diciembre durante el año 2006 son superiores a las “temperaturas máximas mensuales normales” del lugar de observación. Las temperaturas mínimas medias mensuales recogidas en abril, septiembre, octubre y noviembre durante el año 2006 son superiores a las “temperaturas mínimas mensuales normales” del lugar de observación. Conclusión: “el año 2006 es más templado en los primeros meses de la primavera, más caliente en verano y más cálido en los primeros meses de otoño comparados con las temperaturas mensuales normales”.

HUMEDADES MEDIAS MENSUALES 2006 / PERIODO 2005 – 2003

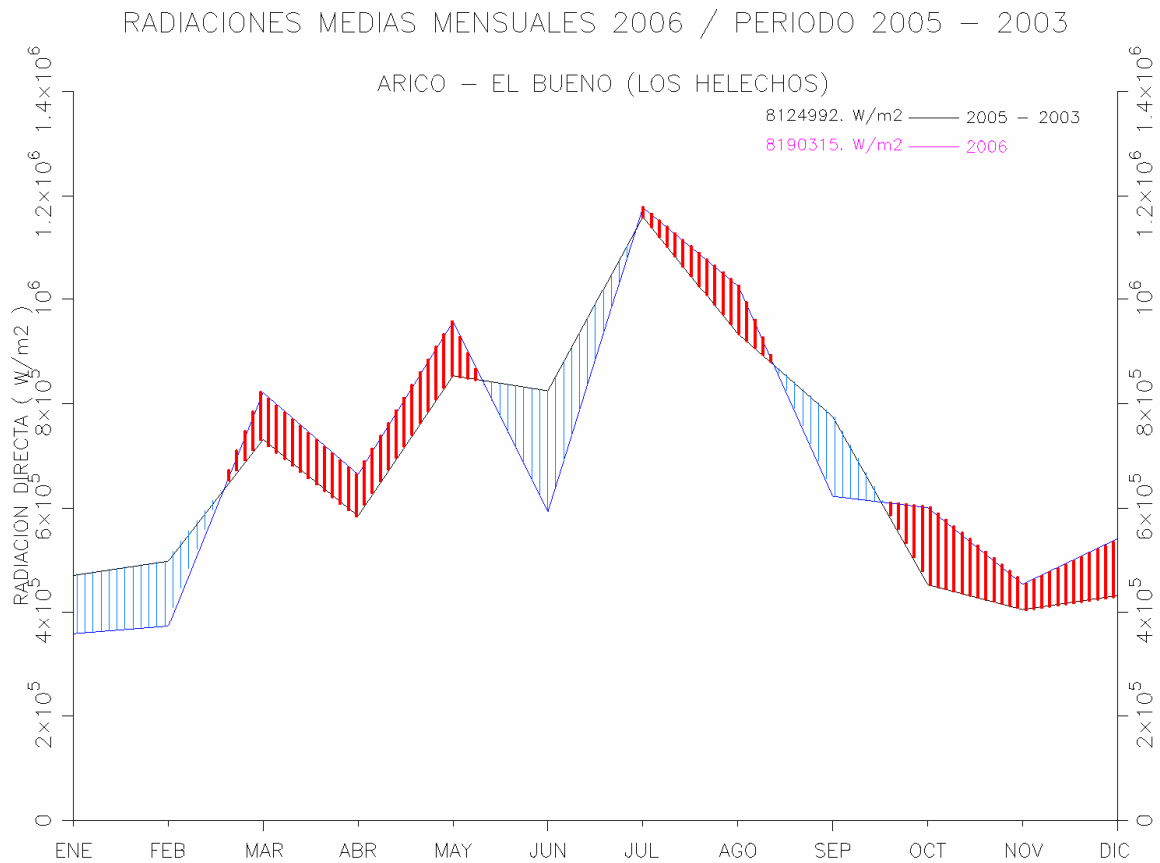

Humedades del aire medias mensuales 2006 / Periodo 2003 – 2005.

Presentación de las humedades medias mensuales, humedades medias decadarias y humedades medias mensuales durante el periodo recogido en el archivo histórico de la estación meteorológica. Las humedades medias mensuales recogidas entre enero y octubre durante el año 2006 son superiores a las “humedades mensuales normales” del lugar de observación. Conclusión: “el año 2006 es más semihúmedo en invierno y verano, más húmedo en primavera y más semihúmedo en los primeros meses de otoño comparados con las humedades mensuales normales”.

VELOCIDADES MEDIAS MENSUALES 2006 / PERIODO 2005 – 2003


Velocidades del viento medias mensuales 2006 / Periodo 2003 – 2005.

Presentación de las velocidades medias mensuales, velocidades medias decadarias y velocidades medias mensuales durante el periodo recogido en el archivo histórico de la estación meteorológica. Las velocidades del viento medias mensuales recogidas en enero, abril, mayo, agosto, octubre y diciembre durante el año 2006 son superiores a las “velocidades mensuales normales” del lugar de observación. Conclusión: “el año 2006 es ligeramente más ventoso en los primeros meses de la primavera y otoño comparados con las velocidades mensuales normales”.



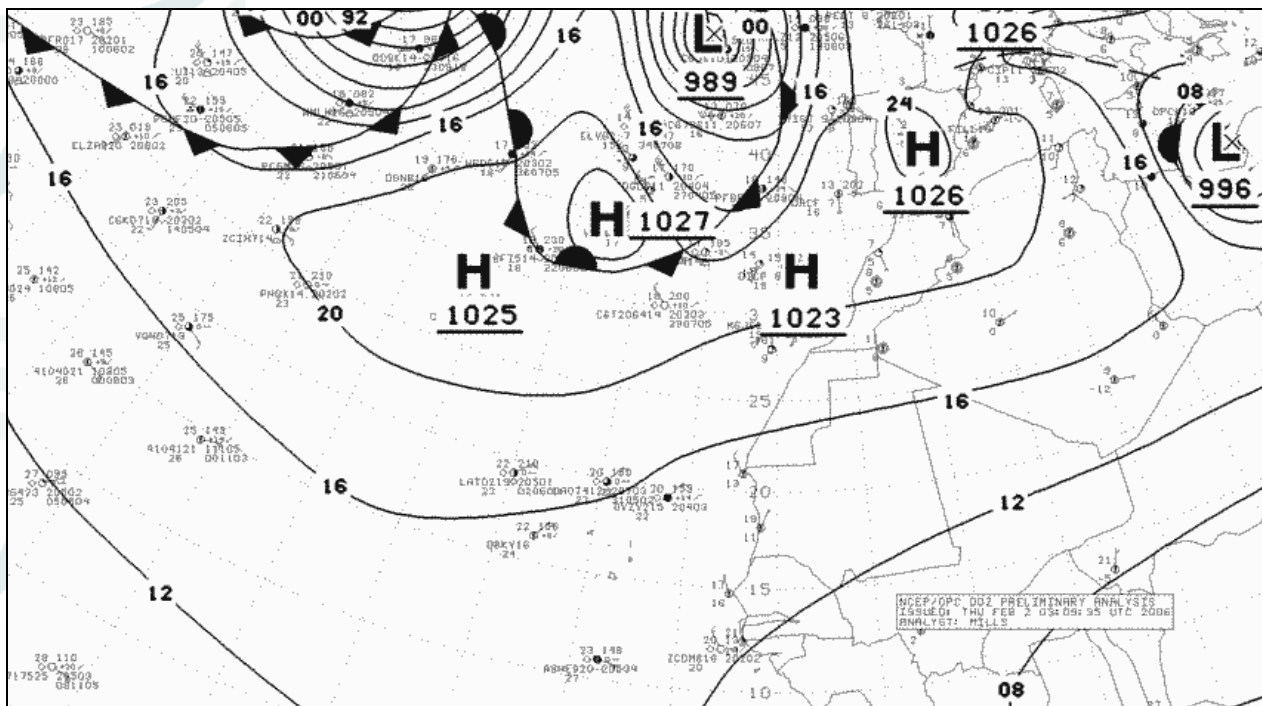
Radiaciones directas medias mensuales 2006 / Periodo 2003 – 2005.

Presentación de las radiaciones directas diarias acumuladas mensualmente y las radiaciones directas diarias acumuladas mensualmente medias durante el periodo recogido en el archivo histórico de la estación meteorológica. Las radiaciones directas mensuales recogidas en marzo, abril, mayo, julio, agosto, octubre, noviembre y diciembre durante el año 2006 son superiores a las “radiaciones directas mensuales normales” del lugar de observación. La radiación directa anual del año 2006 es 8190315 W/m² y es superior a la radiación directa anual normal, 81224992 W/m². Conclusión: “el año 2006 es ligeramente soleado”.

Situaciones Meteorológicas Generales

INVIERNO

Un día típico invernal es frío o templado, húmedo, vientos débiles a moderados (no existe el efecto anabático - catabático), nubes dispersas y ausencia de calima. Durante la noche, los vientos son fríos, semisecos a húmedos, débiles y soplan frecuentemente entre las direcciones oeste a norte. Durante el día, los vientos son cálidos, semisecos (dirección norte) o muy húmedos (dirección noreste), débiles o moderados que soplan frecuentemente entre las direcciones norte y noreste. Las temperaturas descienden en relación con el aumento de altitud y las humedades ascienden en cotas comprendidas entre 410 m y 1258 m, e independientes de los periodos horarios. Las nieblas se forman frecuentemente a partir del atardecer hasta la madrugada. Las precipitaciones de rocío son copiosas antes del amanecer. Durante el día, la atmósfera sobre el mar presenta una inversión térmica con base por encima de 1500 m y un grosor no superior a 150 m, situación que produce en muchas ocasiones una capa de estratocúmulos. Durante la noche, la temperatura desciende al aumentar la altitud, la inversión térmica es inexistente en cotas inferiores a 1500 m, la superficie terrestre sufre una fuerte irradiación.



Situación sinóptica: 2 de febrero a las 0 h UTC

Anticiclones situados en las islas Azores y península Ibérica, y ausencia de la depresión en el Sahara Occidental

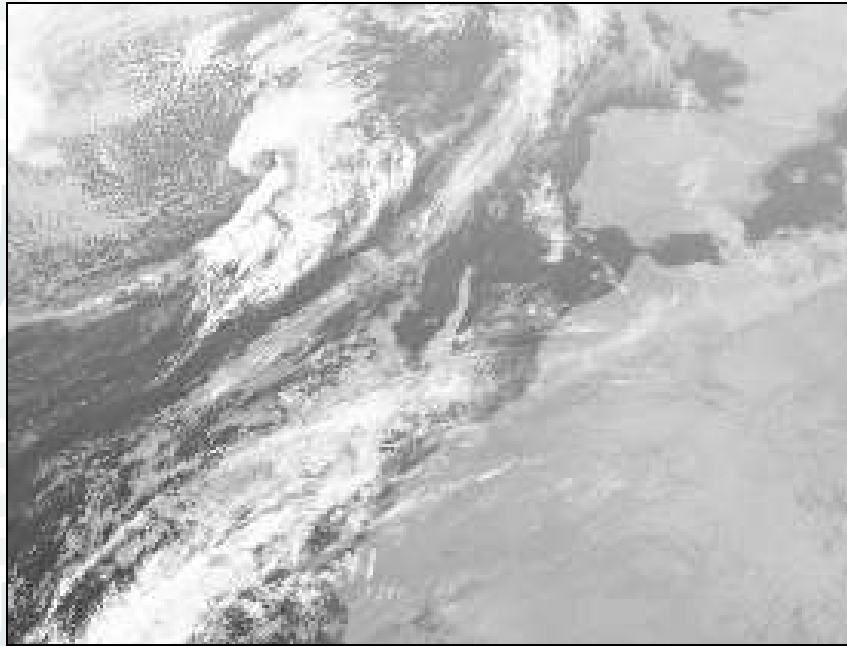


Imagen del satélite Meteosat 8 (infrarrojo): 2 de febrero a las 0 h UTC

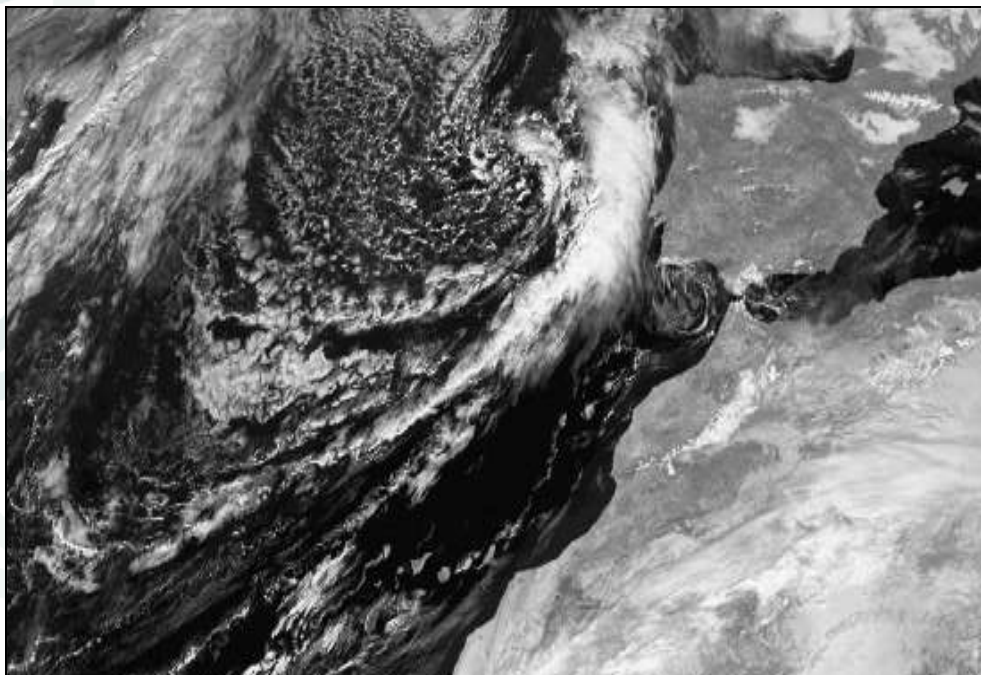
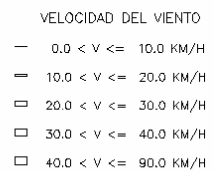
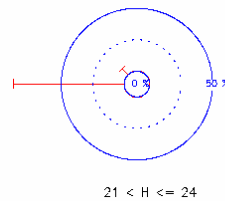
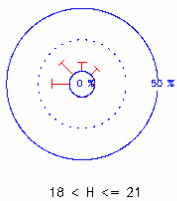
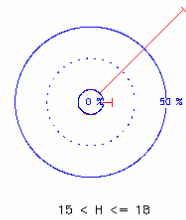
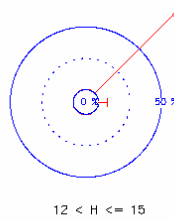
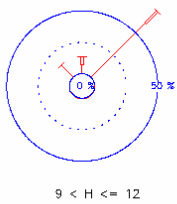
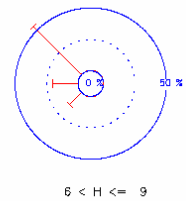
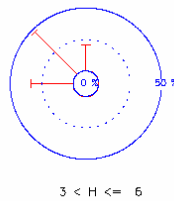
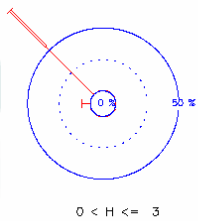


Imagen del satélite Meteosat 8 (visible): 2 de febrero a las 12 h UTC

Las imágenes del satélite nos indican cielos cubiertos con nubes estratiformes en el periodo nocturno y cielos despejados con nubes orográficas en las medianías de las islas de mayor altitud en el periodo diurno. La presencia de calima es poco probable.



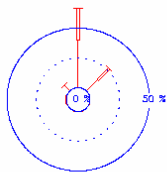
Rosas de viento el 2 de febrero en periodos trihorarios

Los periodos nocturno y vespertino 18 h a 9 h, los vientos débiles soplan en el sector W a N y en el sector W a NW son frecuentes; los vientos moderados soplan en la dirección NW y son poco frecuentes. El periodo diurno 9 h a 18 h, los vientos cambian ligeramente sus direcciones, los vientos débiles soplan en el sector NW a NE y en la dirección NE son frecuentes. No existe el efecto anabático - catabático.

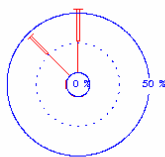


Imagen del satélite Meteosat 8 (visible): 22 de diciembre a las 12 h UTC

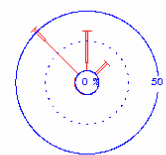
Las imágenes del satélite nos indican cielos cubiertos con nubes orográficas en las laderas orientadas en el sector N a SE de las islas de mayor altitudes en el periodo diurno. La presencia de llovizna es posible.



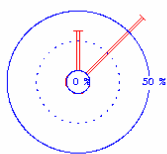
0 < H <= 3



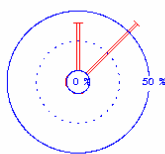
3 < H <= 6



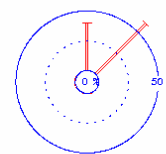
6 < H <= 9



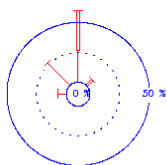
9 < H <= 12



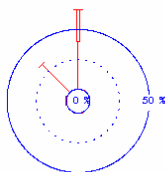
12 < H <= 15



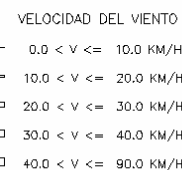
15 < H <= 18



18 < H <= 21

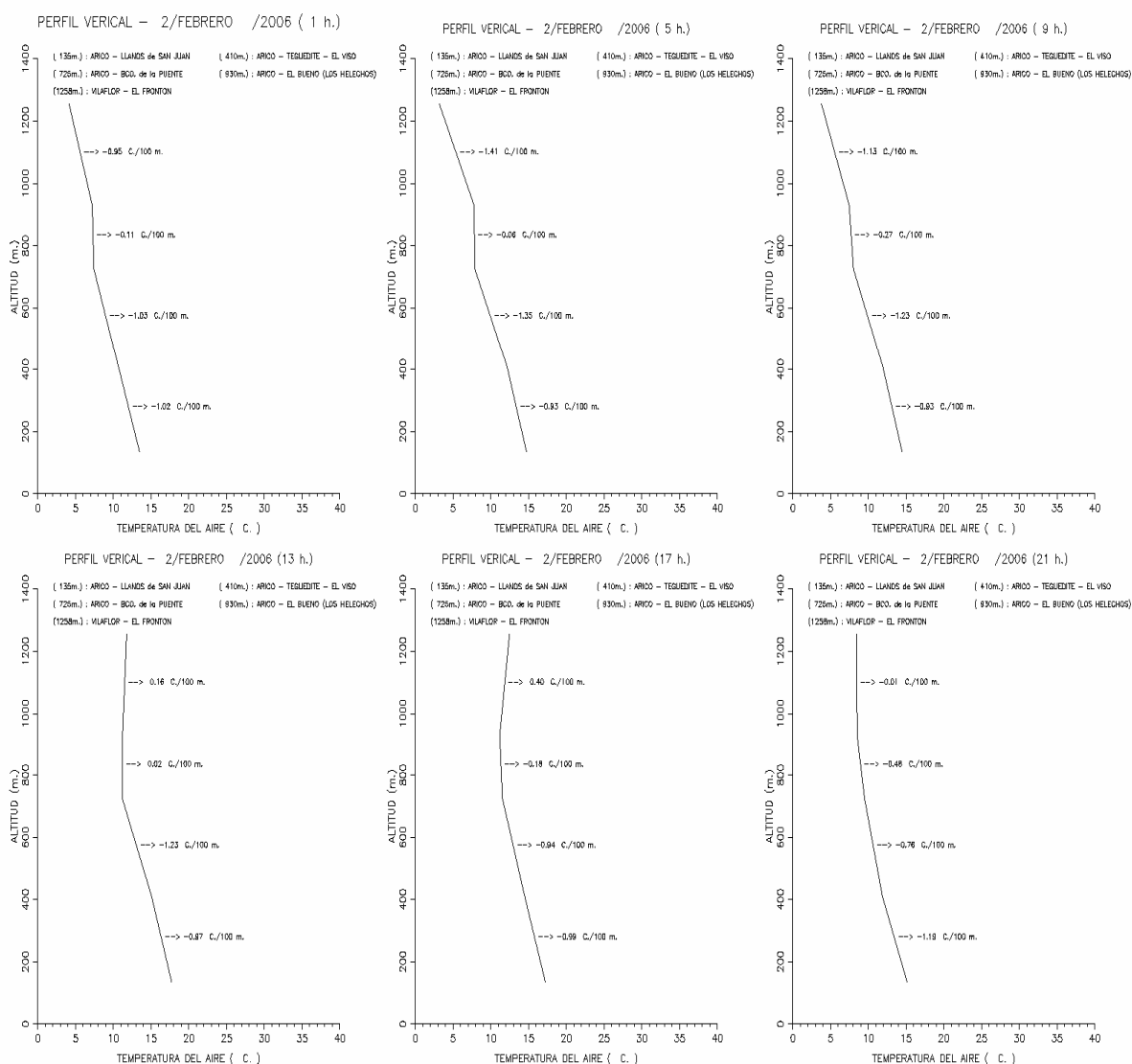


21 < H <= 24



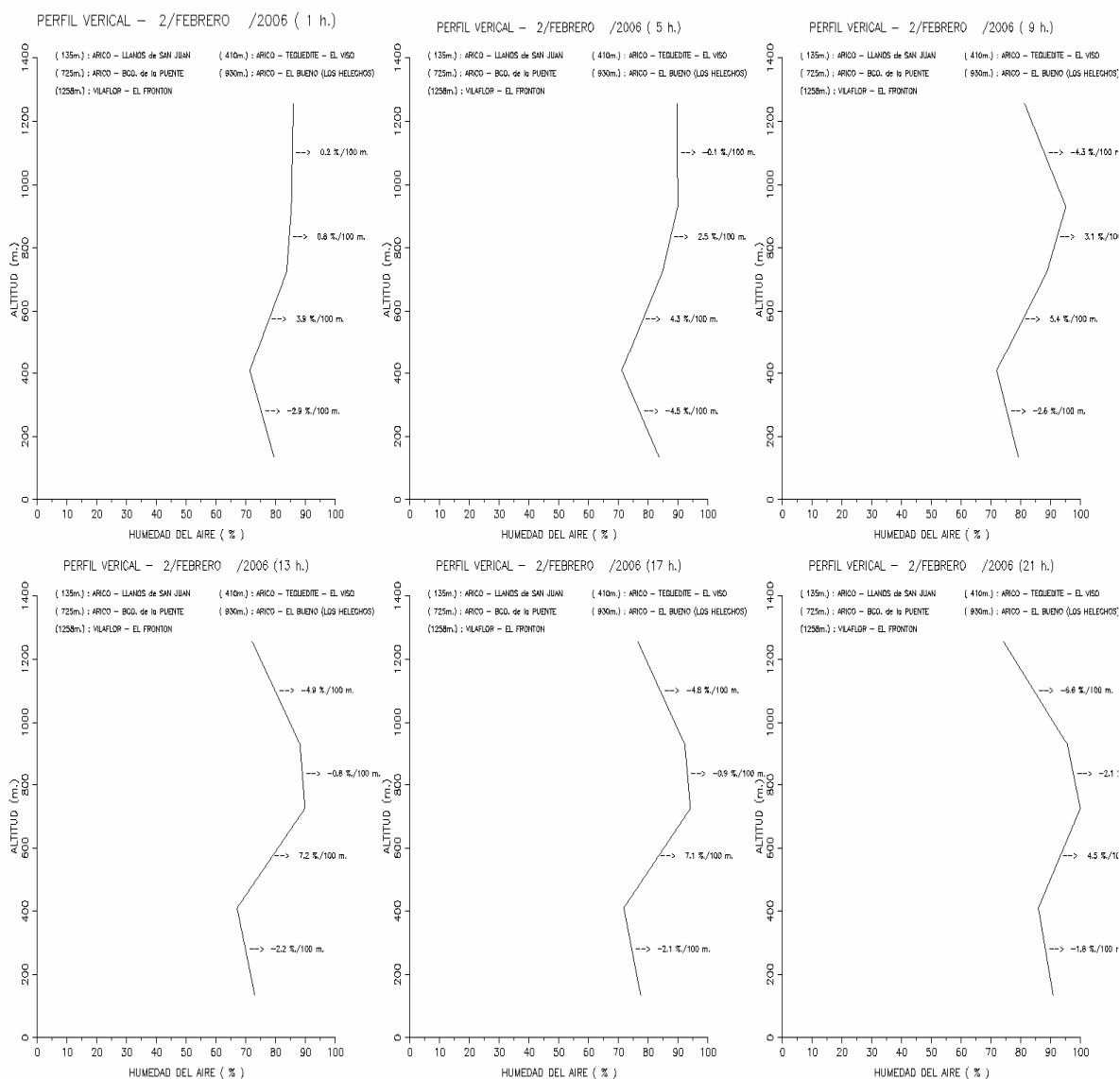
Rosas de viento el 22 de diciembre en periodos trihorarios

Los vientos débiles soplan en el sector W a NE y en la dirección N son frecuentes. Los vientos moderados soplan en el sector NW a NE y en el sector N a NE son dominantes. Las velocidades del viento durante el periodo diurno son superiores a las de los periodos nocturno y vespertino. No existe el efecto anabático - catabático.



Perfiles térmicos trihorarios entre la costa y las medianías norte: 2 de febrero

Perfiles térmicos verticales en periodos tetrahorarios realizados con las estaciones agrometeorológicas de la red climática del Cabildo de Tenerife (Arico - Llanos San Juan 135 m, Granadilla - Teguedite - El Viso - Cooperativa 410 m, Arico - Bco. Puente - Ortiz 725 m, Arico - El Bueno - Los Helechos 930 m, Vilaflor - El Frontón 1258 m). Las gráficas nos indican descensos de temperaturas entre cotas próximas a la costa e inferiores a 1258 m, excepto en cotas superiores a 725 m entre mediodía y mediatarde: inversiones térmicas poco intensas. Las temperaturas son templadas o cálidas en la costa y frías o templadas en las medianías.



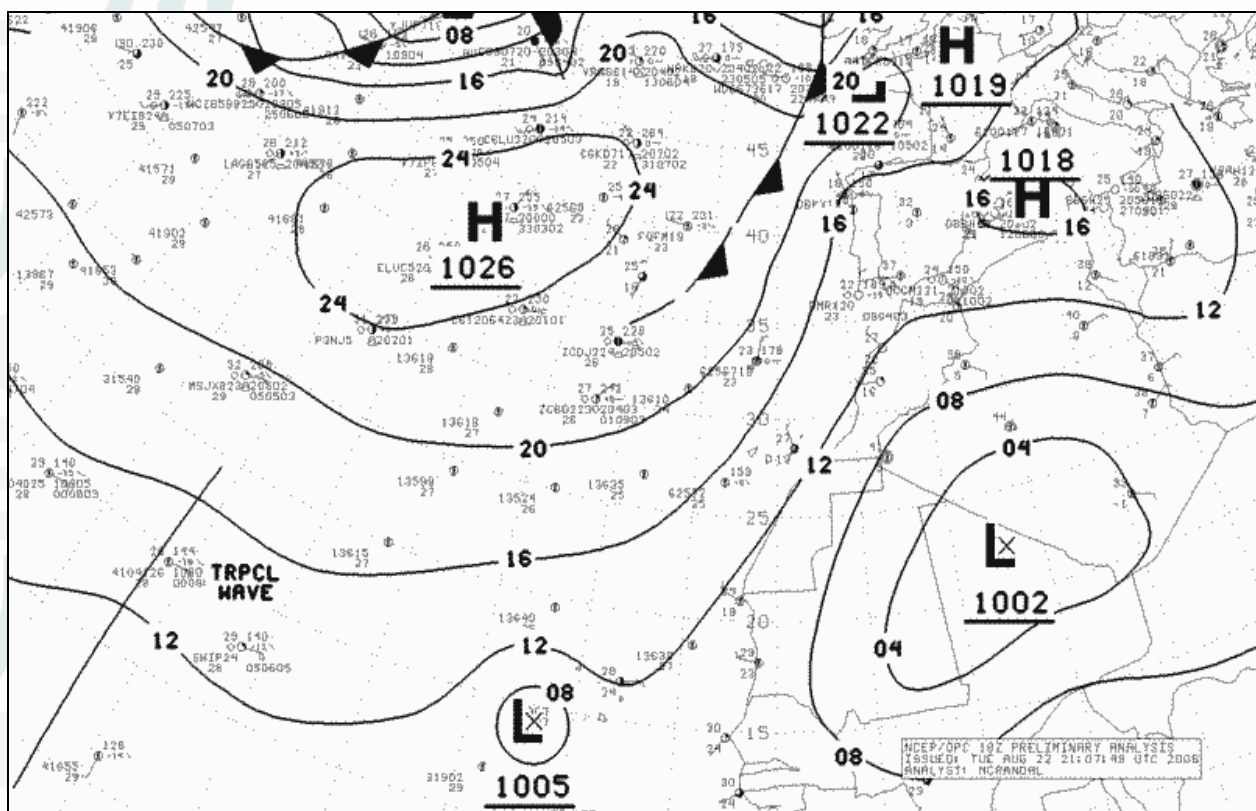
Perfiles higrométricos trihorarios entre la costa y las medianías norte: 2 de febrero

Las gráficas nos indican descensos de humedades en relación con el aumento de altitud entre las cotas próximas a la costa y 410 m, e independientes de los periodos horarios; ascensos de humedades entre cotas las 410 m a 725 m, e independientes de los periodos horarios. En las medianías, las humedades son superiores al 80 %: la precipitación de rocío es copiosa y la formación de niebla es posible.

Situación meteorológica: **Anticiclón peninsular** (31 enero/ 2 febrero; 21 / 24 diciembre). Anticiclón subtropical, se desplaza hacia el Este; enfriamiento nocturno de la superficie terrestre; situación frecuente en enero, febrero, marzo, noviembre y diciembre. El día 31 es frío (7.9 °C; Tex 7.3 °C y 9.2 °C), muy húmedo (94 %), vientos débiles (5.8 km/h, W a NE, N dominante), cubierto (1.8 MJ/m²) y niebla. El día 1 es frío (7.8 °C; Tex 6.6 °C y 10.1 °C), húmedo (90 %), vientos débiles (5.3 km/h, W a NE, N dominante), cubierto (3.8 MJ/m²) y presencia de niebla a partir del atardecer. El día 2 es frío (9.2 °C; Tex 6.9 °C y 12.3 °C), húmedo (88 %), vientos débiles (5.5 km/h, W a NE, NE dominante), nubes y claros (10.6 MJ/m²) y presencia de niebla a partir del atardecer. El día 21 es frío (10 °C; Tex 9 °C y 11.2 °C), muy húmedo (96 %), ligeramente ventoso (7.8 km/h, W a NE), cubierto (2 MJ/m²) y niebla. El día 22 es frío (9 °C; Tex 7.3 °C y 10.5 °C), húmedo (83 %), ventosos (11.2 km/h, NW a NE, N dominante) y cubierto (5.3 MJ/m²). El día 23 es frío (9.4 °C; Tex 7.8 °C y 12 °C), húmedo (77 %), vientos muy fuertes (15.9 km/h, N a NE, NE dominante), nubes y claros (11.3 MJ/m²). El día 24 es frío (9.2 °C; Tex 6.3 °C y 12.9 °C), húmedo (76 %), ligeramente ventoso (8.9 km/h, W a NE), nubes y claros (8.4 MJ/m²). Los mapas sinópticos indican altas presiones sobre la península Ibérica y la ausencia de bajas presiones en el Sahara Occidental.

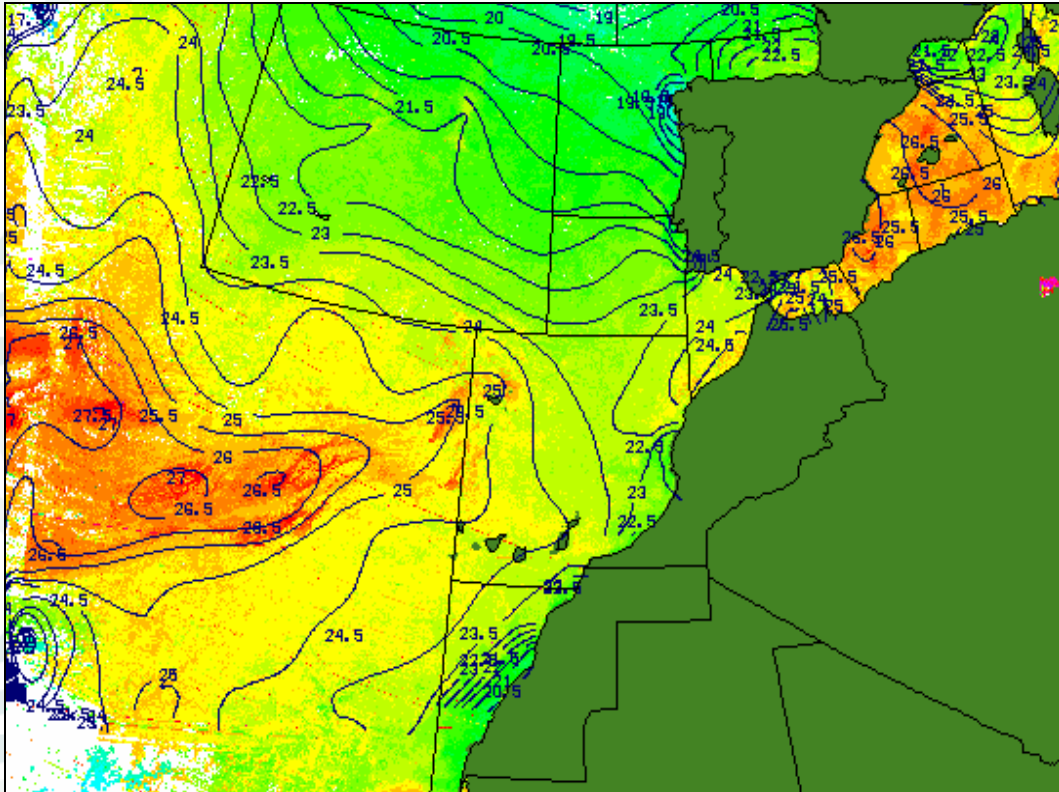
VERANO

Un día típico veraniego es caliente o muy caliente, seco a semihúmedo, vientos débiles que soplan frecuentemente entre las direcciones noroeste a noreste y en la dirección norte son dominantes (no existe el efecto anabático - catabático), despejado con nubes ocasionales y la presencia de calma es frecuente. Durante la noche, los vientos son cálidos a calientes, secos a semisecos, débiles y soplan entre las direcciones noroeste a noreste. Durante el día, los vientos son muy calientes, semisecos a semihúmedos, débiles y soplan entre las direcciones norte y noreste y en la dirección norte son dominantes. En las medianías, las temperaturas ascienden entre las cotas 725 m y 930 m: inversiones térmicas suaves y las humedades desciende en relación con el aumento de altitud entre las cotas 410 m a 930 m, excepto en las primeras horas de la tarde: inversión higrométrica. La presencia de niebla es poco probable y la precipitación de rocío es muy escasa. La atmósfera sobre el mar presenta una inversión térmica con base por inferior a 800 m y grosor no superior a 200 m, situación que produce ocasionalmente una capa de estratocúmulos.



Situación sinóptica: 23 de agosto a las 0 h UTC

El anticiclón Atlántico extenso centrado en las islas Azores y la depresión situada en el Sahara Occidental producen vientos débiles, húmedos y frescos, que soplan frecuentemente entre las direcciones norte y este.



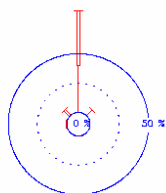
Isotermas de la superficie del mar según el INM: 23 de agosto

Las isotermas descienden cuando nos aproximamos a la costa africana.

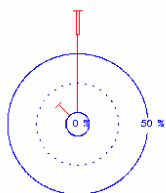


Imagen del satélite Meteosat 8 (visible): 23 de agosto a las 12 h UTC

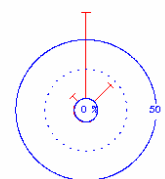
La imagen del satélite nos indica nubes estratiformes en la región canaria, nubes orográficas en las vertientes norte de las islas de mayor altitud, neblinas en la costa africana y cielos despejados sobre el Sahara Occidental. En las islas Canarias soplan los **vientos alisios**



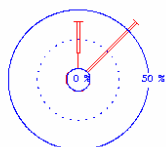
0 < H <= 3



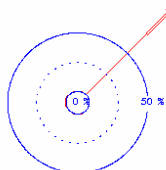
3 < H <= 6



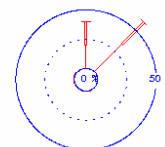
6 < H <= 9



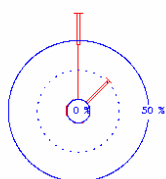
9 < H <= 12



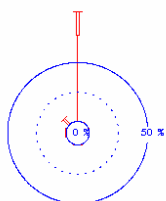
12 < H <= 15



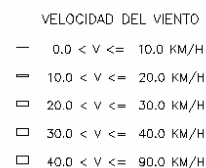
15 < H <= 18



18 < H <= 21

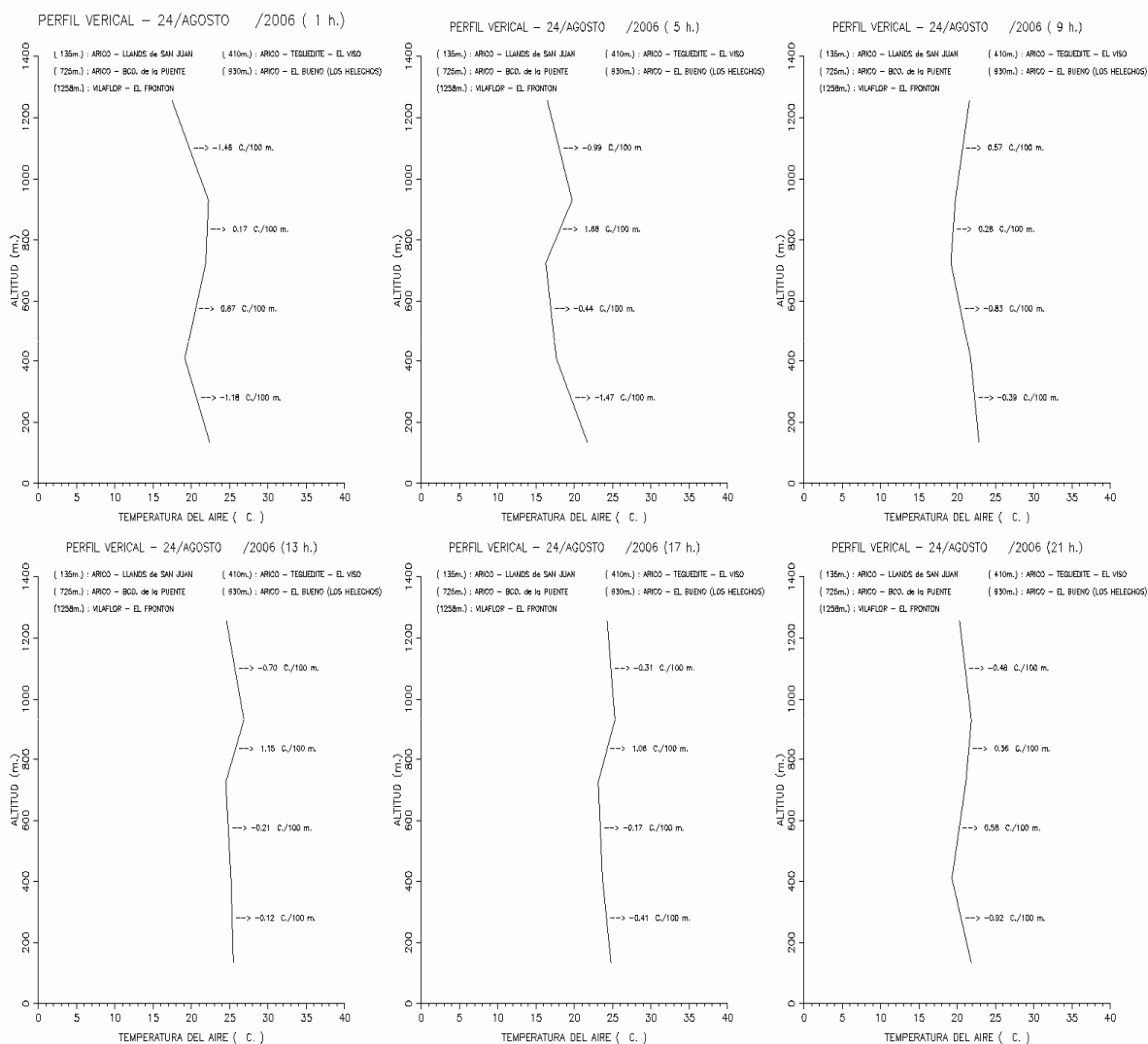


21 < H <= 24



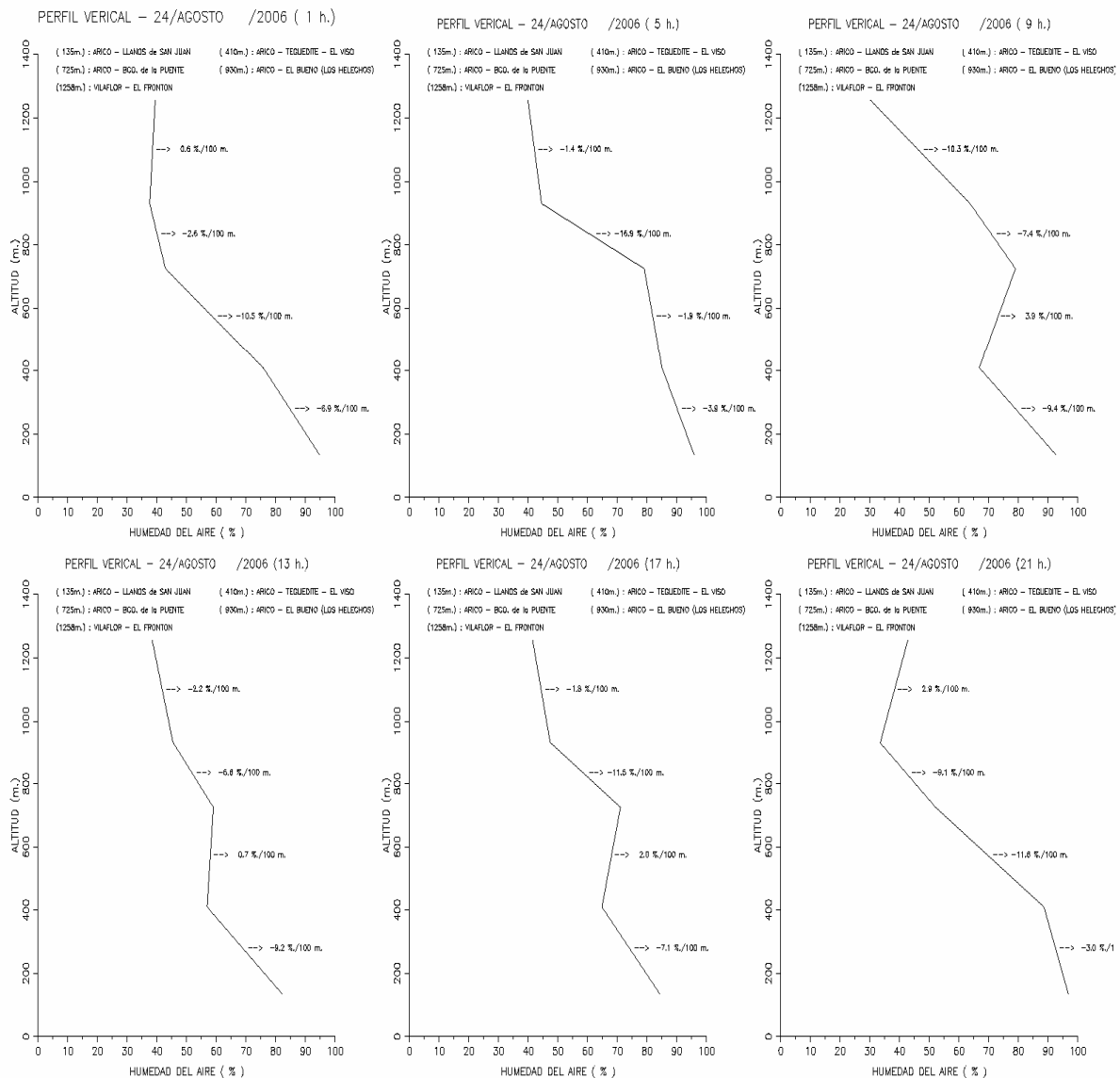
Rosas de viento el 24 de agosto en periodos trihorarios

Los vientos débiles soplan en el sector NW a NE y en la dirección N son dominantes. Los vientos moderados soplan en el sector N a NE. Las velocidades del viento durante el periodo diurno son superiores a las de los periodos nocturno y vespertino. No existe el efecto anabático - catabático.



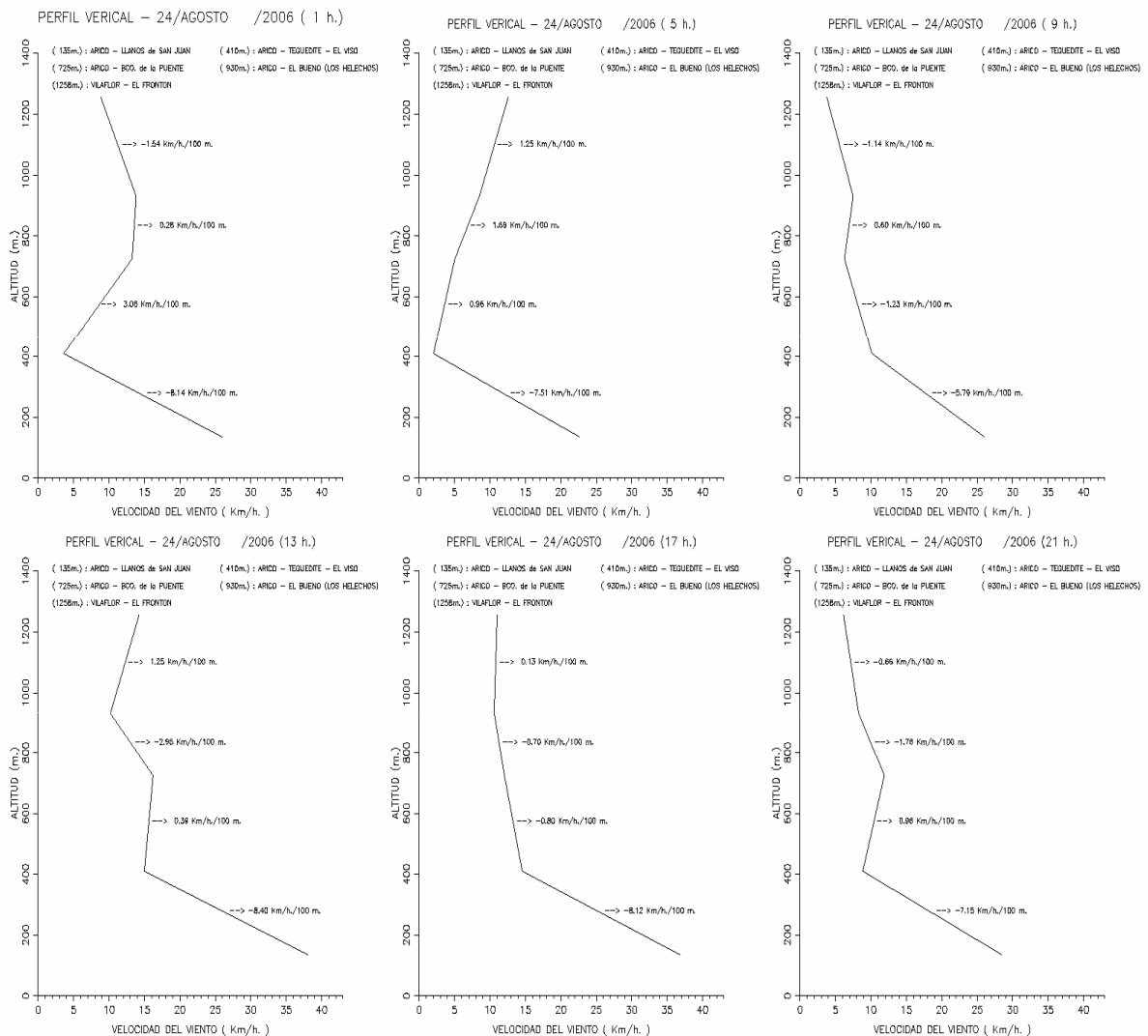
Perfiles térmicos trihorarios entre la costa y las medianías norte: 24 de agosto

Perfiles térmicos verticales en periodos tetrahorarios realizados con las estaciones agrometeorológicas de la red climática del Cabildo de Tenerife (Arico - Llanos San Juan 135 m, Granadilla - Teguedite - El Viso - Cooperativa 410 m, Arico - Bco. Puente - Ortiz 725 m, Arico - El Bueno - Los Helechos 930 m, Vilaflor - El Frontón 1258 m). Las gráficas nos indican descensos de temperaturas entre cotas próximas a la costa e inferiores a 725 m, excepto en las horas próximas a medianoche; ascensos de temperaturas entre las cotas 725 m y 930 m: inversiones térmicas suaves. En las medianías las temperaturas son cálidas o calientes en el periodo nocturno y las temperaturas son calientes en los periodos diurno y vespertino.



Perfiles higrométricos trihorarios entre la costa y las medianías norte: 24 de agosto.

Las gráficas nos indican descensos de humedades en relación con el aumento de altitud entre las cotas próximas a la costa y 410 m, e independientes de los periodos horarios; descensos de humedades entre cotas las 410 m a 930 m, excepto en las primeras horas de la tarde. En la costa, las humedades son superiores al 80 %: la precipitación de rocío es copiosa y la formación de neblina es posible. En las medianías, las humedades están comprendidas entre el 40 % y el 80 %: la precipitación de rocío y la niebla es inexistente.



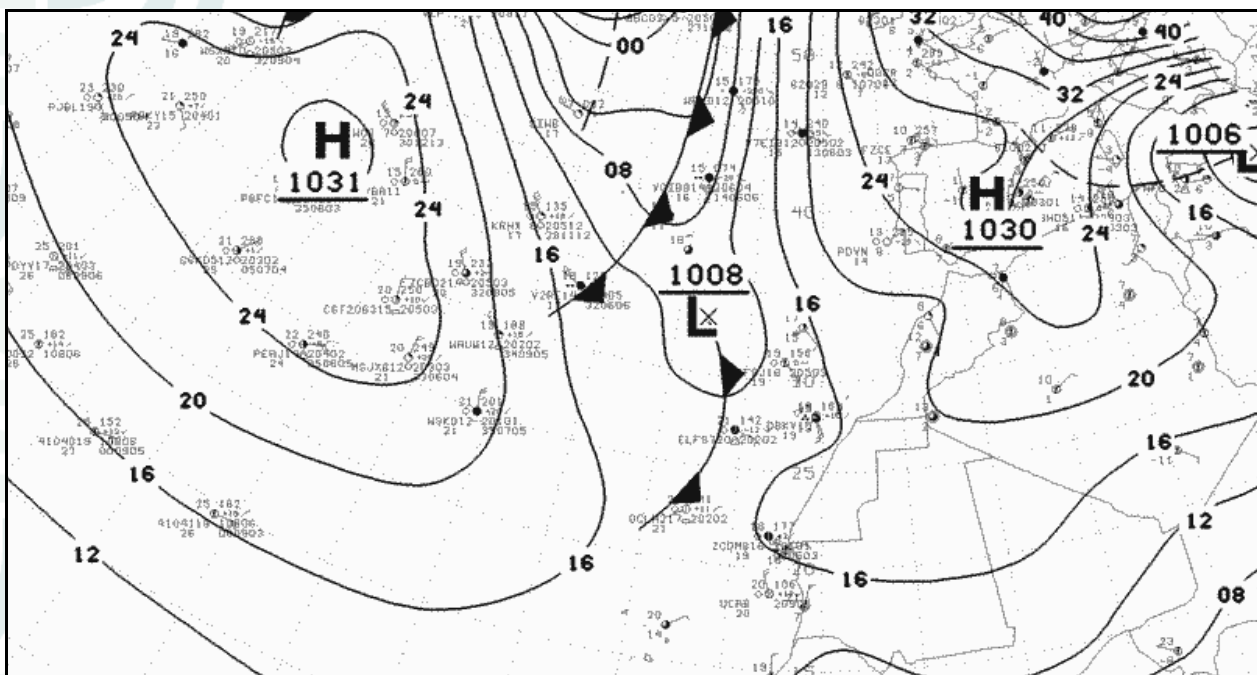
Perfiles anemométricos trihorarios entre la costa y las medianías norte: 24 de agosto.

Las gráficas nos indican descensos bruscos de las velocidades del viento entre cotas próximas a la costa e inferiores a 410 m, e independientes de los periodos horarios; ascensos de las velocidades en las medianías, cotas comprendidas entre 410 m y 930 m, en las primeras horas de la jornada; descensos suaves de las velocidades a partir del amanecer. En las medianías, los vientos son muy débiles o débiles en los periodos nocturno y vespertino, y débiles o moderados en el periodo diurno.

Situación meteorológica: **anticiclón Atlántico** y **borrasca sahariana** (22/30 agosto). El anticiclón subtropical se desplaza hacia el oeste y presencia de la depresión sahariana sobre el Sahara Occidental. El día 23 es caliente (20.1 °C; Tex 14.1 °C y 25 °C), semihúmedo (66 %), vientos débiles (7.8 km/h, W a S, N a NE dominantes), soleado (23.4 MJ/m²) y presencia de **calima**. El día 24 es caliente (22.9 °C; Tex 18.4 °C y 26.9 °C), semiseco (42 %), vientos débiles (9.5 km/h, NW a NE, N dominante), soleado (23.9 MJ/m²). El día 25 es caliente (24.7 °C; Tex 22.1 °C y 28.7 °C), seco (33 %), vientos débiles (8.6 km/h, NW a NE, N dominante), soleado (20.9 MJ/m²). El día 26 es caliente (24.5 °C; Tex 21.8 °C y 28.4 °C), seco (36 %), vientos débiles (8 km/h, NW a NE, N dominante), soleado (22.1 MJ/m²). El día 27 es muy caliente (25.1 °C; Tex 21.7 °C y 29.7 °C), seco (40 %), vientos débiles (7.3 km/h, NW a NE, N dominante), soleado (20.2 MJ/m²). El día 28 es muy caliente (25.8 °C; Tex 23.4 °C y 30.5 °C), seco (37 %), vientos débiles (8.8 km/h, NW a NE, N dominante), nuboso (17.6 MJ/m²). El día 29 es muy caliente (25.8 °C; Tex 22.7 °C y 28.4 °C), seco (39 %), vientos débiles (7.6 km/h, NW a NE, N dominante), cubierto (11 MJ/m²) y el día 30 es muy caliente (25.1 °C; Tex 22.2 °C y 29.4 °C), semiseco (45 %), vientos débiles (6.8 km/h, NW a E, N dominante), soleado (20 MJ/m²). Los mapas sinópticos indican el anticiclón Atlántico sobre las Azores y la depresión sobre el Sahara Occidental. La situación barométrica produce vientos secos o semisecos, débiles o moderados que soplan frecuentemente en el sector N a NE y frescos en las medianías; las temperaturas de la superficie del agua del mar en la región canaria están comprendidas entre 23.5 °C y 24.5 °C: soplan los **vientos alisios**.

Situaciones Meteorológicas Singulares

Entre las situaciones meteorológicas que se han presentado en el año 2006 y que no responden al régimen general descrito anteriormente se han seleccionado las siguientes:



Situación sinóptica: 24 de enero a las 0 h UTC

Una depresión situada al oeste de Madeira, inexistencia de la baja presión en el Sahara occidental, un anticiclón situado al este de la Península Ibérica y un **frente frío** cruza las islas Canarias, las precipitaciones son abundantes.

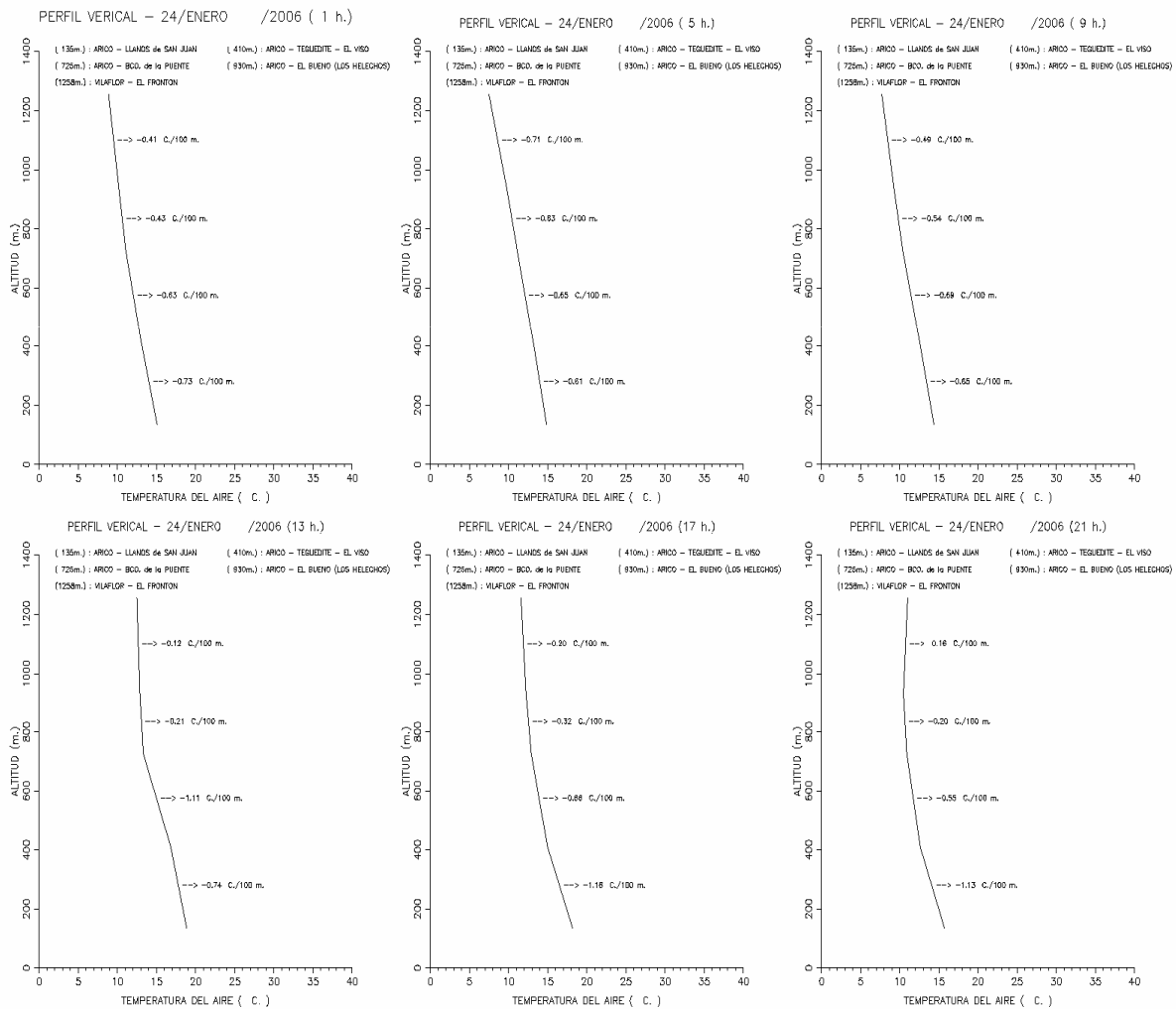


Imagen del satélite Meteosat 8 (infrarrojo): 24 de enero a las 0 h UTC



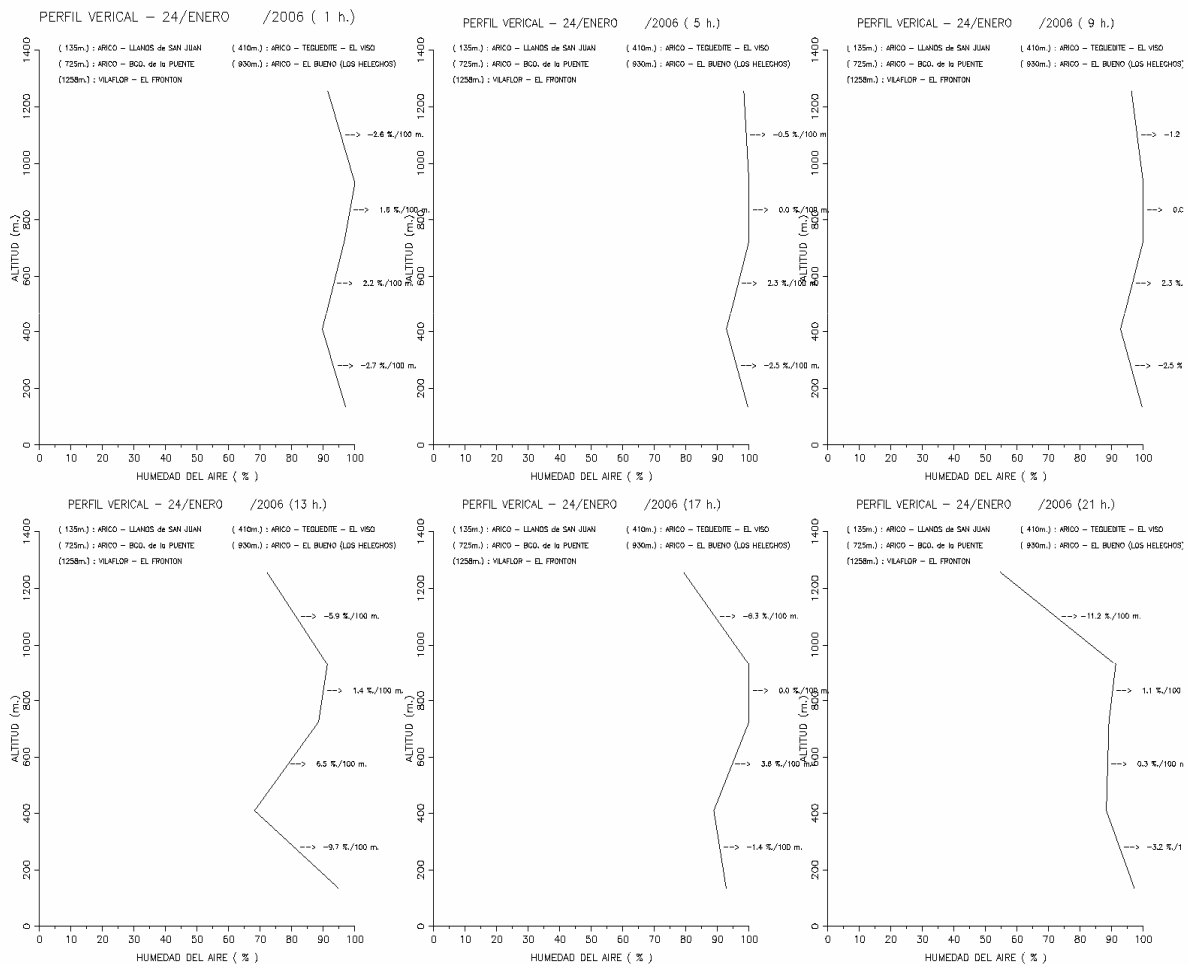
Imagen del satélite Meteosat 8 (visible): 24 de enero a las 12 h UTC

Las imágenes del satélite nos indican abundante nubosidad en la región canaria a causa de la depresión situada sobre Madeira y del **frente frío** que cruza Canarias durante el periodo nocturno.



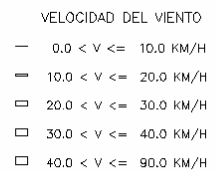
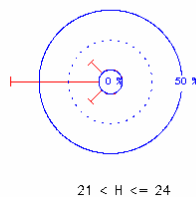
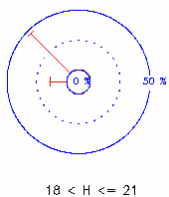
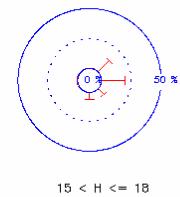
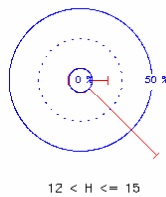
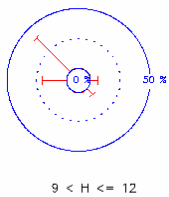
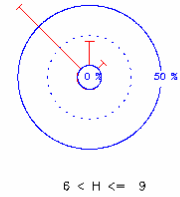
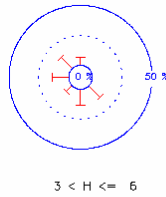
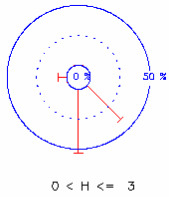
Perfiles térmicos trihorarios entre la costa y las medianías norte: 24 de enero

Perfiles térmicos verticales en periodos tetrahorarios realizados con las estaciones agrometeorológicas de la red climática del Cabildo de Tenerife (Arico - Llanos San Juan 135 m, Granadilla - Teguedite - El Viso - Cooperativa 410 m, Arico - Bco. Puente - Ortiz 725 m, Arico - El Bueno - Los Helechos 930 m, Vilaflor - El Frontón 1258 m). Las gráficas nos indican descensos de temperaturas entre cotas próximas a la costa e inferiores a 1258 m, e independientes de los periodos horarios. No existen inversiones térmicas. Las temperaturas son cálidas en la costa y templadas en las medianías.



Perfiles higrométricos trihorarios entre la costa y las medianías norte: 24 de enero.

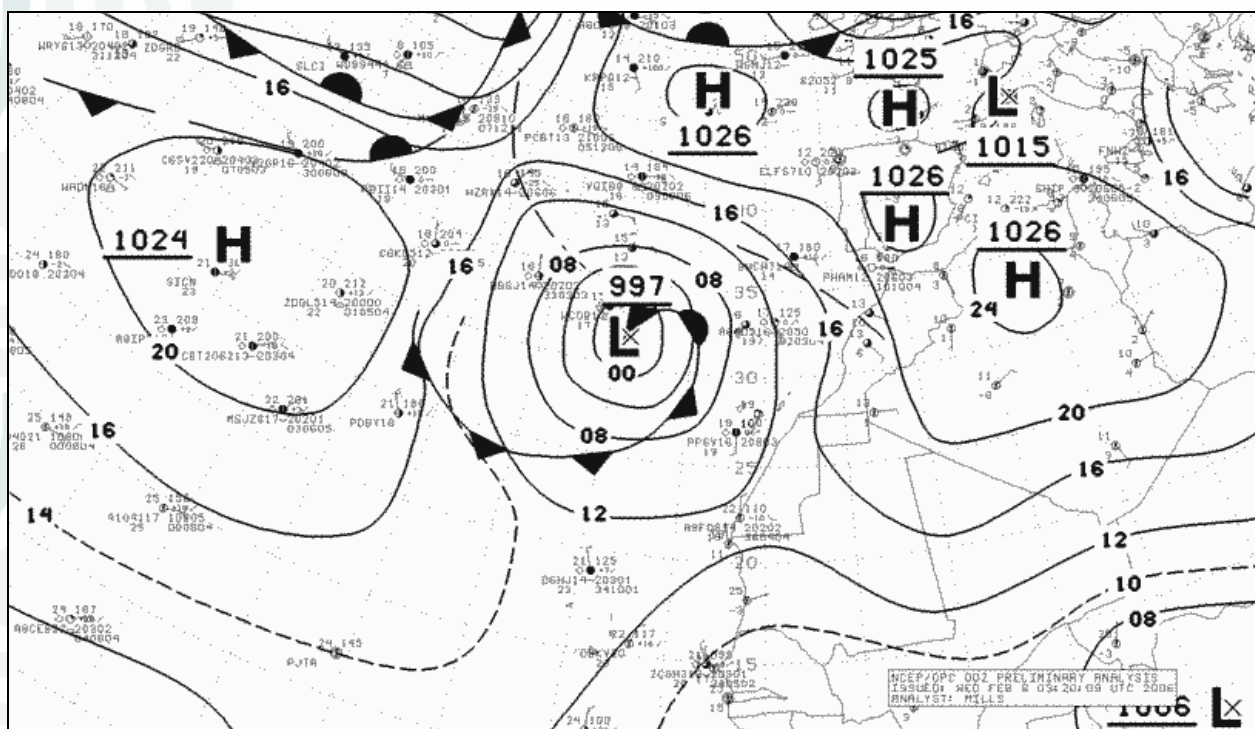
Las gráficas nos indican descensos de humedades en relación con el aumento de altitud entre cotas próximas a la costa y 410 m, e independientes de los periodos horarios; ascensos suaves de humedades en los periodos nocturno y vespertino, y moderados en el periodo diurno en cotas comprendidas entre 410 m y 930 m: **inversión higrométrica**; descensos suaves de humedades en el periodo nocturno, y moderados en los periodos diurno y vespertino entre cotas comprendidas 930 m y 1258 m. Son notables las humedades muy húmedas en medianías durante los periodos nocturno y vespertino. Las variaciones verticales de las humedades están relacionadas inversamente con las variaciones verticales de las temperaturas en las medianías: “llueve durante toda la jornada”.



Rosas de viento el 24 de enero en periodos trihorarios

Las rosas de viento presentan las frecuencias relativas de las velocidades según sus direcciones y los periodos trihorarios en la que efectuamos las observaciones. Los vientos son muy débiles y sus direcciones son variables. No existe el efecto anabático – catabático

Situación meteorológica: **Borrasca o depresión polar y frente frío**. Lluvias intensas (23/24 enero). El día 22 es templado (13.3 °C, 11.6 °C / 15.3 °C Tex, seco (39 %), ligeramente ventoso (7.2 km/h, SE a W, SW dominante), soleado (12.7 MJ/m², calima); el día 23 es templado (12.8 °C, 10.4 °C / 14.3 °C Tex), semihúmedo (67 %), ligeramente ventoso (8.2 km/h, SE a SW, SW dominante), cubierto (6.2 MJ/m²) y lluvioso (50.3 mm); el día 24 es templado (10.5 °C, 8.9 °C / 12.9 °C Tex), muy húmedo (97 %), poco ventoso (3.9 km/h, SE a S y W a NW, NW dominante), cubierto (5 MJ/m²) y muy lluvioso (138.5 mm): los sondeos atmosféricos realizados en la costa sur de Tenerife a medianoche indican la **ausencia de inversión térmica** y descenso de temperatura 0.55 °C / 100 m para altitudes inferiores a 1480 m y a mediodía indican una **inversión térmica** con base en 1205 m, grosor de 114 m y aumento de 1.93 °C / 100 m; el día 25 es frío (10 °C, 8.4 °C / 12.1 °C Tex), húmedo (89 %), poco ventoso (5 km/h, SW a W y NE, W dominante), cubierto (3.8 MJ/m²), presencia de **niebla** en las primeras horas de la mañana; el día 27 es templado (11.4 °C, 9.5 °C / 14.8 °C Tex), semihúmedo (79 %), ligeramente ventoso (6.8 km/h, todas las direcciones, W dominante), cubierto (4.8 MJ/m²) y presencia de **niebla** durante la tarde. Las imágenes del satélite nos indican: día 22, una depresión (1015 mb) situada al oeste de Madeira y un anticiclón (1026 mb) situado sobre Túnez, las islas Canarias están soleadas; día 23, la depresión (1012 mb) está situada al oeste de Madeira y el anticiclón (1049 mb) está situado sobre Polonia, las islas Canarias se cubren de nubosidad al amanecer y las precipitaciones aparecen a partir del mediodía; día 24, la depresión (1008 mb) está situada al oeste de Madeira, inexistencia de la baja presión en el Sahara occidental y el anticiclón (1030 mb) está situado sobre la península Ibérica, un **frente frío** cruza las islas Canarias, las precipitaciones son abundantes durante la jornada; día 25, la depresión (1000 mb) está situada al noroeste de Galicia y el anticiclón (1022 mb) está situado sobre Argelia, las islas están cubiertas de nubosidad y el día 26, la depresión (1004 mb) está situada en el golfo de Cádiz, el anticiclón (1022 mb) está situado sobre Túnez y un nuevo Anticiclón (1027 mb) está centrado al oeste Canarias, las islas están soleadas durante la jornada.



Situación sinóptica: 8 de febrero a 0 h TC

Una depresión situada al oeste de Madeira, un frente frío situado sobre Canarias Occidental y un anticiclón situada sobre Argelia.

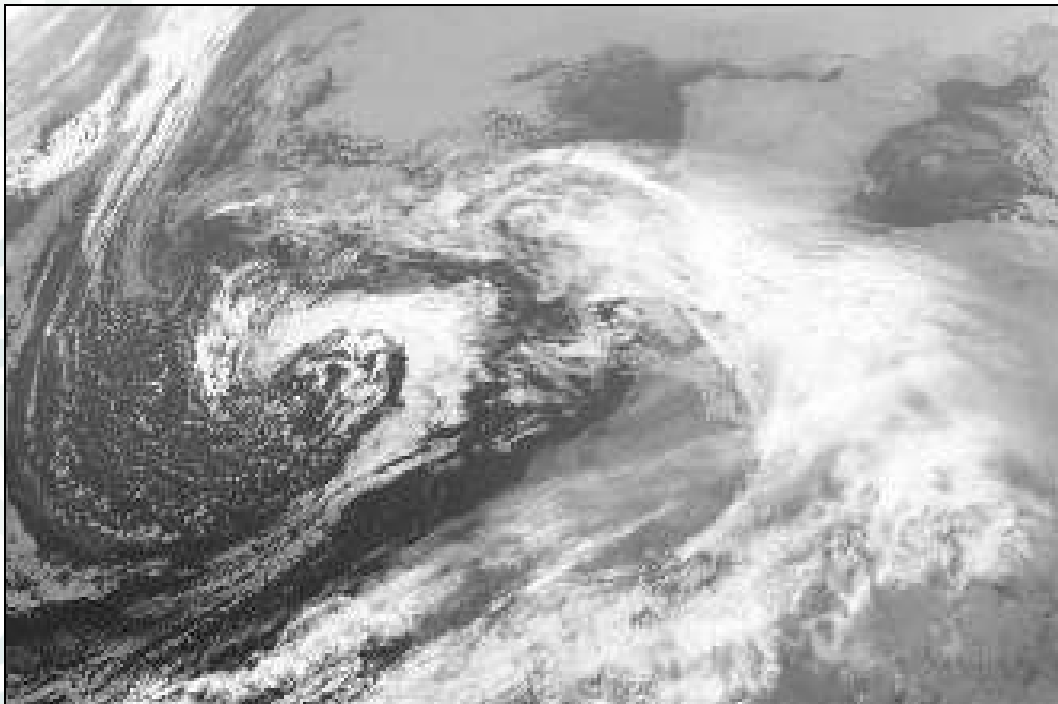


Imagen del satélite Meteosat 8 (infrarrojo): 8 de febrero a las 0 h UTC

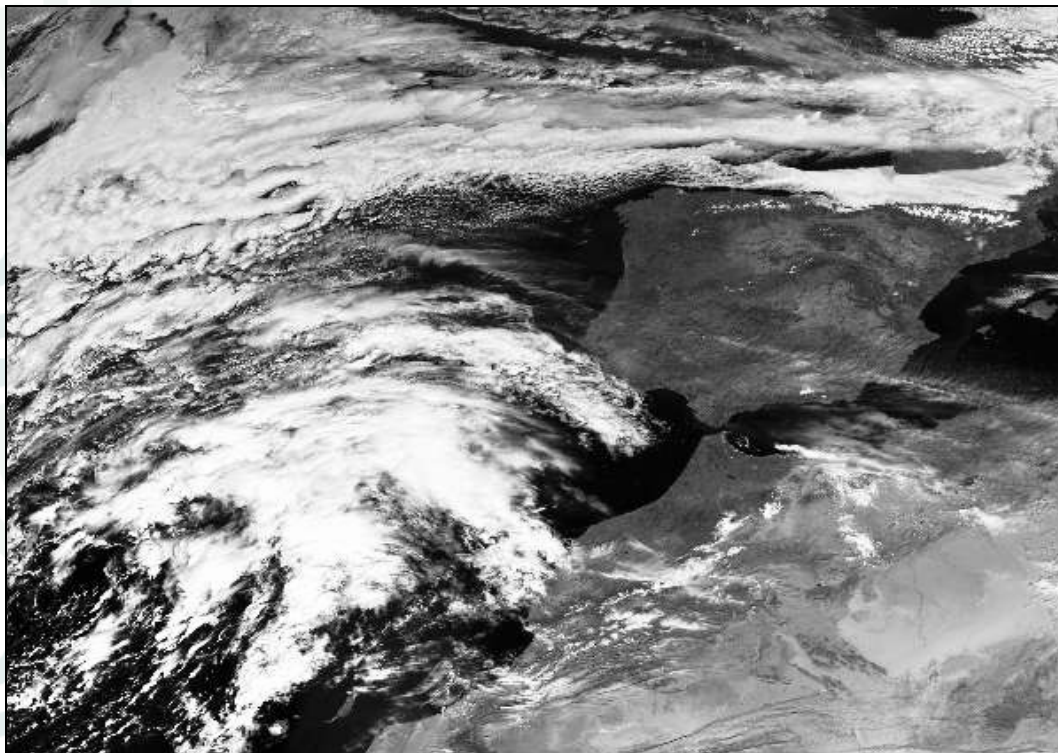
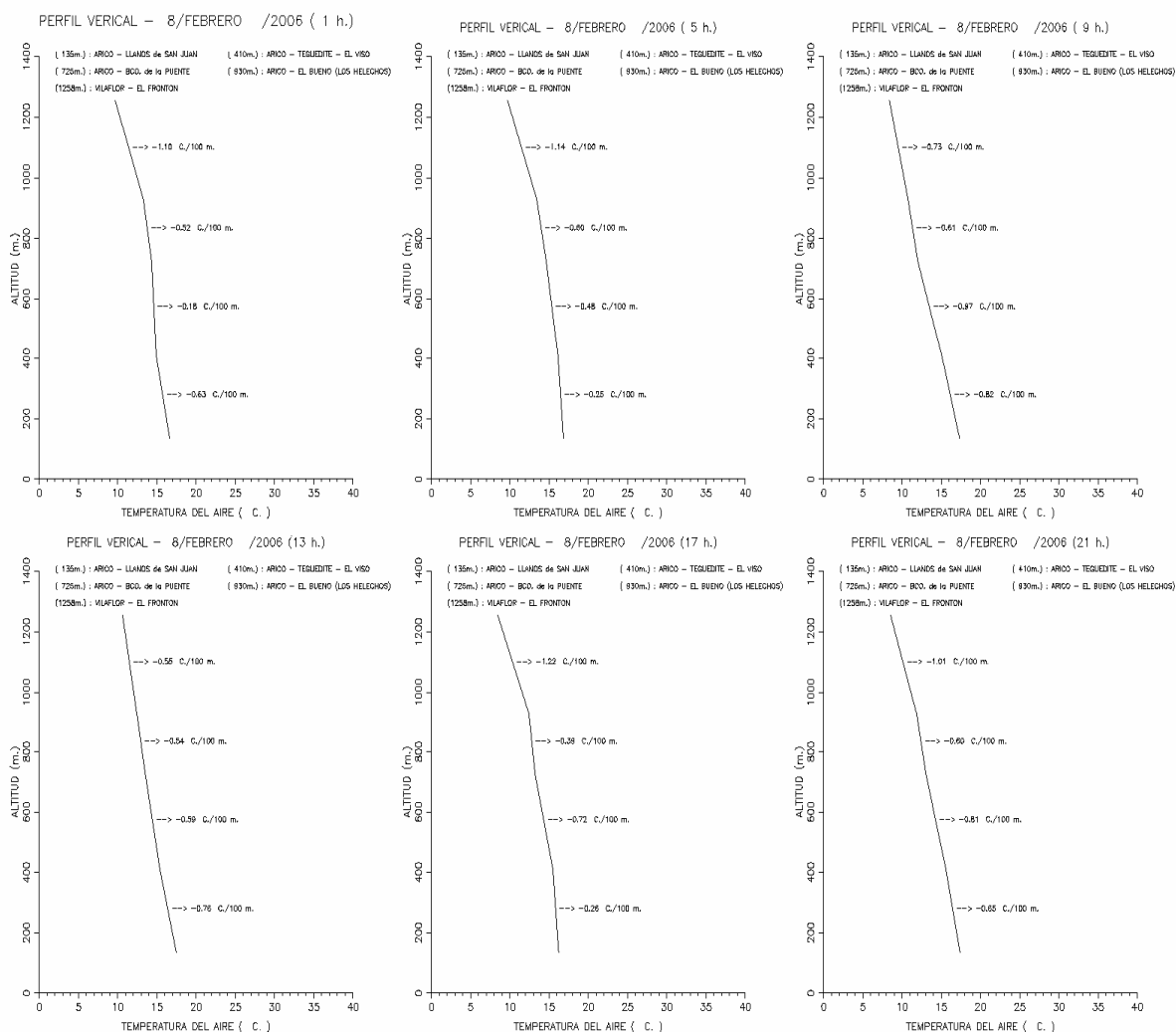


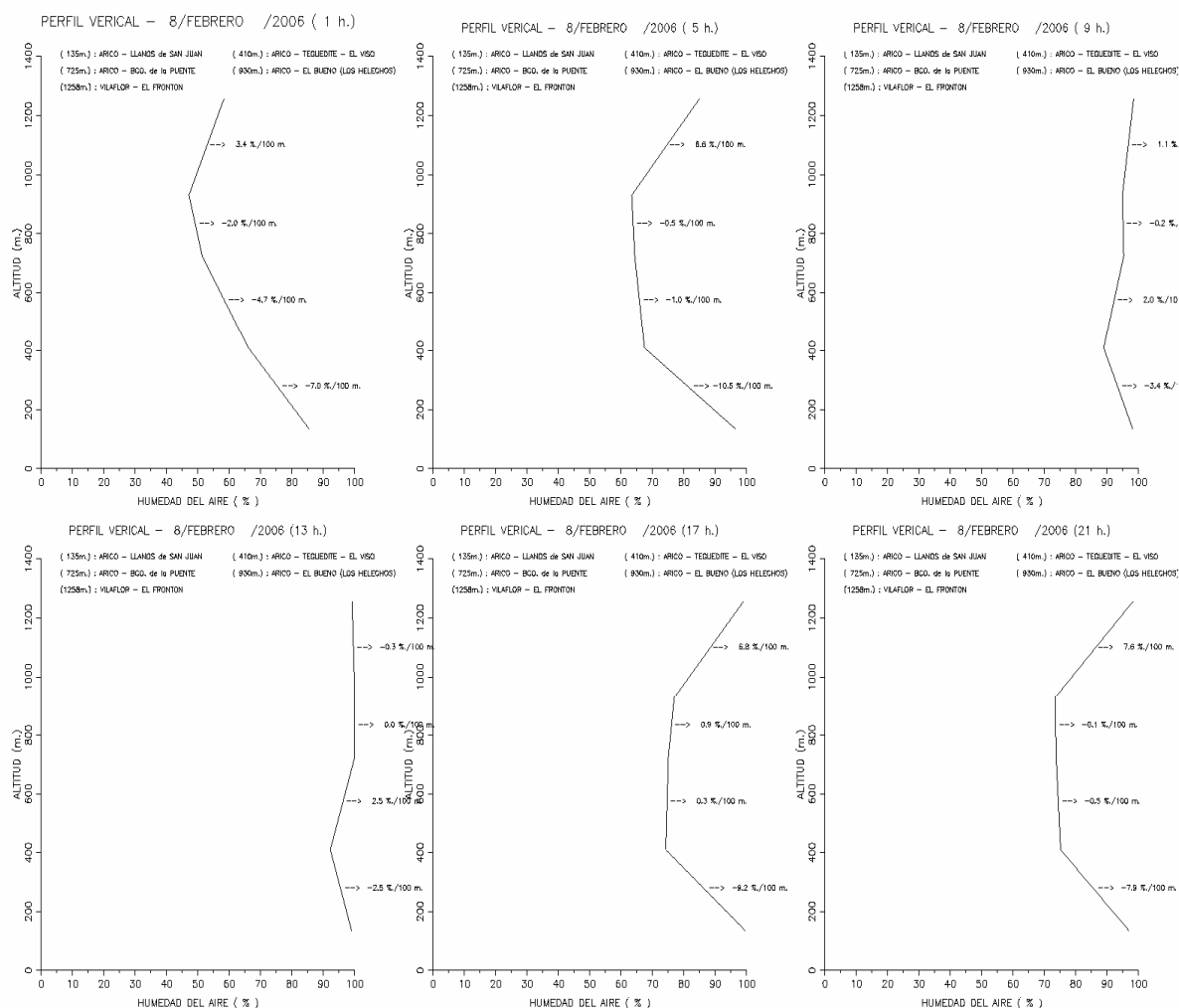
Imagen del satélite Meteosat 8 (visible): 8 de febrero a las 12 h UTC

Las imágenes del satélite nos indican abundante nubosidad en la región canaria a causa de la depresión situada sobre Madeira y un **frente frío** que cruza Canarias: **vientos fuertes y precipitaciones abundantes** a partir del amanecer.



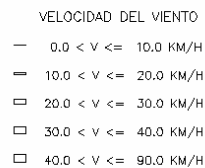
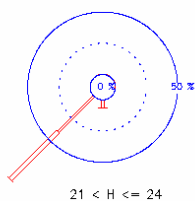
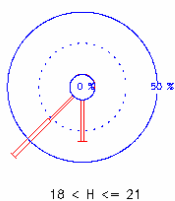
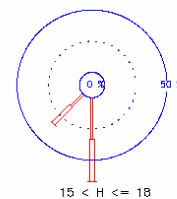
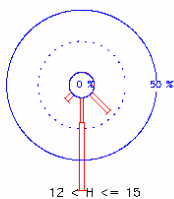
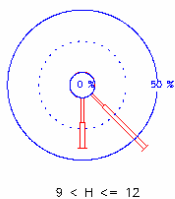
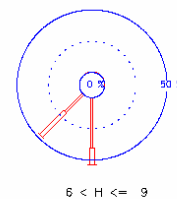
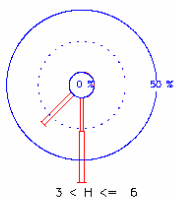
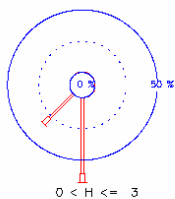
Perfiles térmicos trihorarios entre la costa y las medianías norte: 8 de febrero

Las gráficas nos indican descensos de temperaturas entre cotas próximas a la costa e inferiores a 1258 m, e independientes de los periodos horarios. No existen inversiones térmicas. Las temperaturas son cálidas en cotas próximas a la costa y templadas en las medianías.



Perfiles higrométricos trihorarios entre la costa y las medianías norte: 8 de febrero.

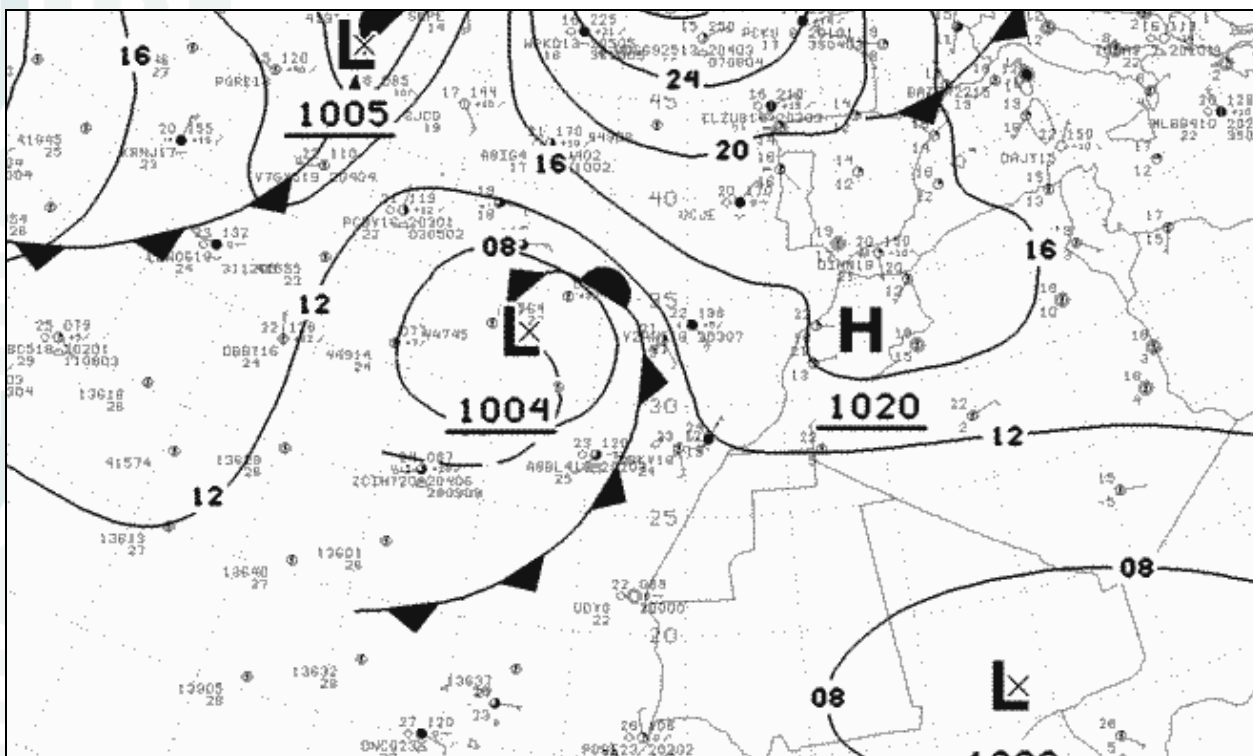
Las gráficas nos indican descensos de humedades en relación con el aumento de altitud entre cotas próximas a la costa y 410 m, e independientes de los periodos horarios; descensos de humedades en los periodos nocturno y vespertino, y ascensos de humedades en el periodo diurno humedades en cotas comprendidas entre 410 m y 930 m: **inversión higrométrica**; ascensos de humedades entre cotas comprendidas 930 m y 1258 m e independientes de los periodos horarios. Son notables en las medianías las humedades muy húmedas en el periodo 6 h a 12 h: “llueve a partir del amanecer hasta las últimas horas de la tarde”.



Rosas de viento el 8 de febrero en periodos trihorarios.

Los vientos moderados y los vientos fuertes soplan en el sector SE a SW y en el sector S a SW son frecuentes. No existe el efecto anabático – catabático.

Situación meteorológica: **Frente frío, vientos fuertes y calima**. Lluvias abundantes (7/8 febrero). El día 6 es frío (9.1 °C, 7.4 °C / 10.8 °C Tex), muy húmedo (92 %), ligeramente ventoso (5 km/h, NW a NE, NW dominante), cubierto (4.6 MJ/m², niebla a partir del mediodía); el día 7 es templado (11.7 °C, 9.3 °C / 14.1 °C Tex), húmedo (77 %), ligeramente ventoso (9.1 km/h, SE a W, S dominante), nubes y claros (11 MJ/m²), lluvioso (12 mm y **calima**); el día 8 es templado (12.2 °C, 10.7 °C / 13.4 °C Tex), húmedo (78%), **muy ventoso** (19.9 km/h, SE a SW), cubierto (3.8 MJ/m²), lluvia intensa (85.6 mm) y **calima**: Los sondeos atmosféricos realizados en la costa sur de Tenerife a medianoche y a mediodía indican ausencias de inversiones térmicas, descensos de temperaturas 0.66 °C / 100 m en altitudes inferiores a 1480 m y 0.75 °C / 100 m en altitudes inferiores a 1400 m; el día 9 es templado (12.5 °C, 10.6 °C / 15.9 °C Tex), húmedo (83 %), ventoso (10.3 km/h, S a NW, S dominante), soleado (15.9 MJ/m²), llovizna (1.2 mm), calima, presencia de niebla al anochecer. Las imágenes del satélite nos indican: día 6, una depresión (1013 mb) situada sobre las Azores, un frente frío al oeste de Canarias y un anticiclón (1035 mb) centrado sobre el suroeste de Inglaterra, las islas Canarias están cubiertas de nubosidad y presencia de niebla; día 7, la depresión (1003 mb) está situada sobre las Azores, el frente frío está situado al oeste de Canarias, próximo a las costas, y el anticiclón (1030 mb) está situado al sureste de la península Ibérica, las islas Canarias tienen nubes y claros, presencia de nieblas y lluvias suaves antes del mediodía; día 8, una nueva depresión (997 mb) está situada al oeste de Madeira, el frente frío está situado sobre Canarias Occidental y el anticiclón (1026 mb) está situado sobre Argelia, **vientos fuertes y precipitaciones abundantes** a partir del amanecer hasta el anochecer; día 9, la depresión (996 mb) está situada sobre Madeira, el frente frío cruzó las islas y el anticiclón (1022 mb) está situado sobre Argelia, las islas están soleadas.



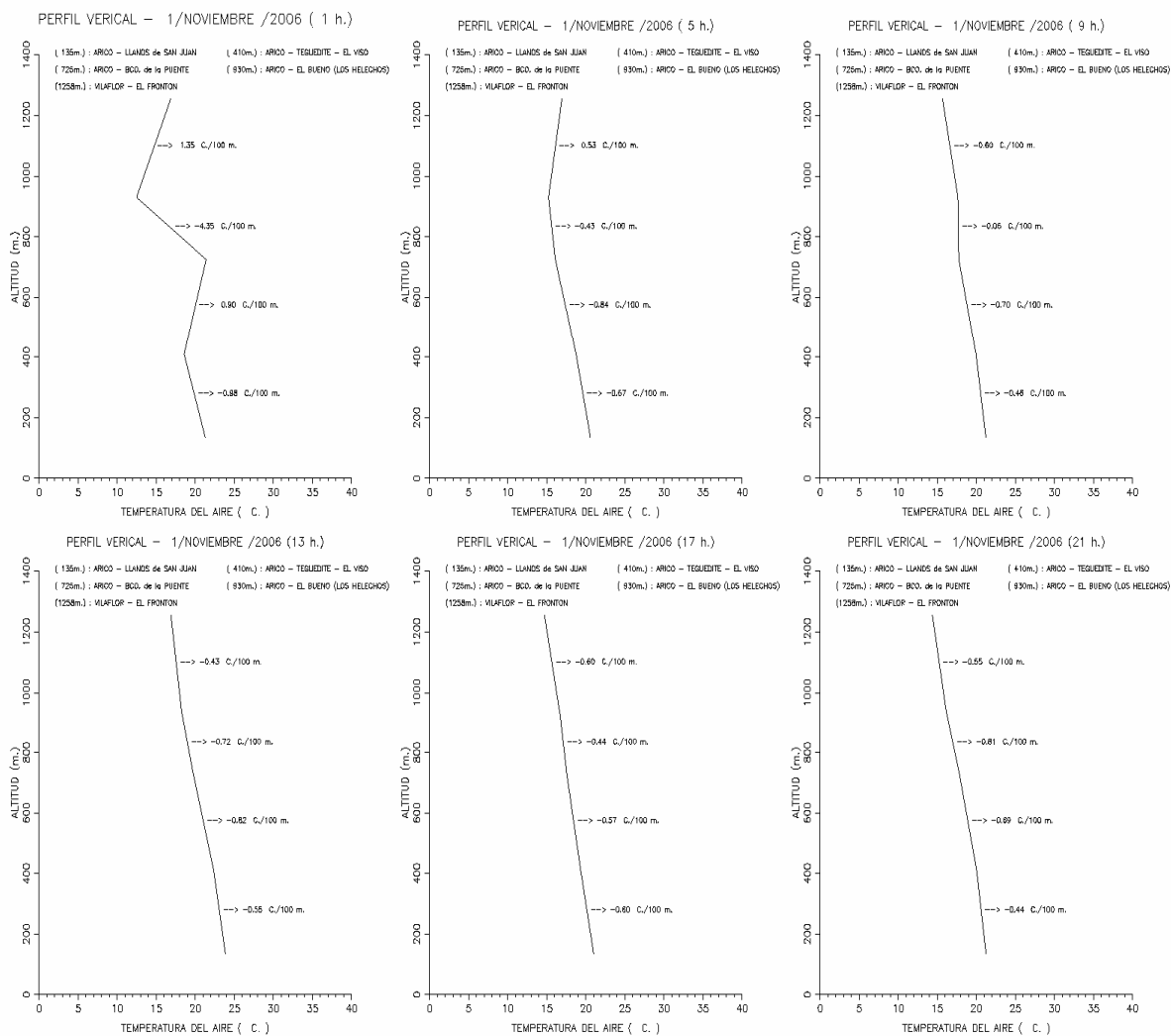
Situación sinóptica: 1 de noviembre a las 0 h UTC

Un anticiclón centrado al norte de Marruecos, una depresión situada al oeste de Madeira, una depresión extensa al sur de Argelia y un **frente frío** cruza las islas Canarias: las islas están cubiertas de nubosidad y comienza a llover intensamente en las primeras horas de la tarde. Precipitaciones abundantes y presencia de calima.



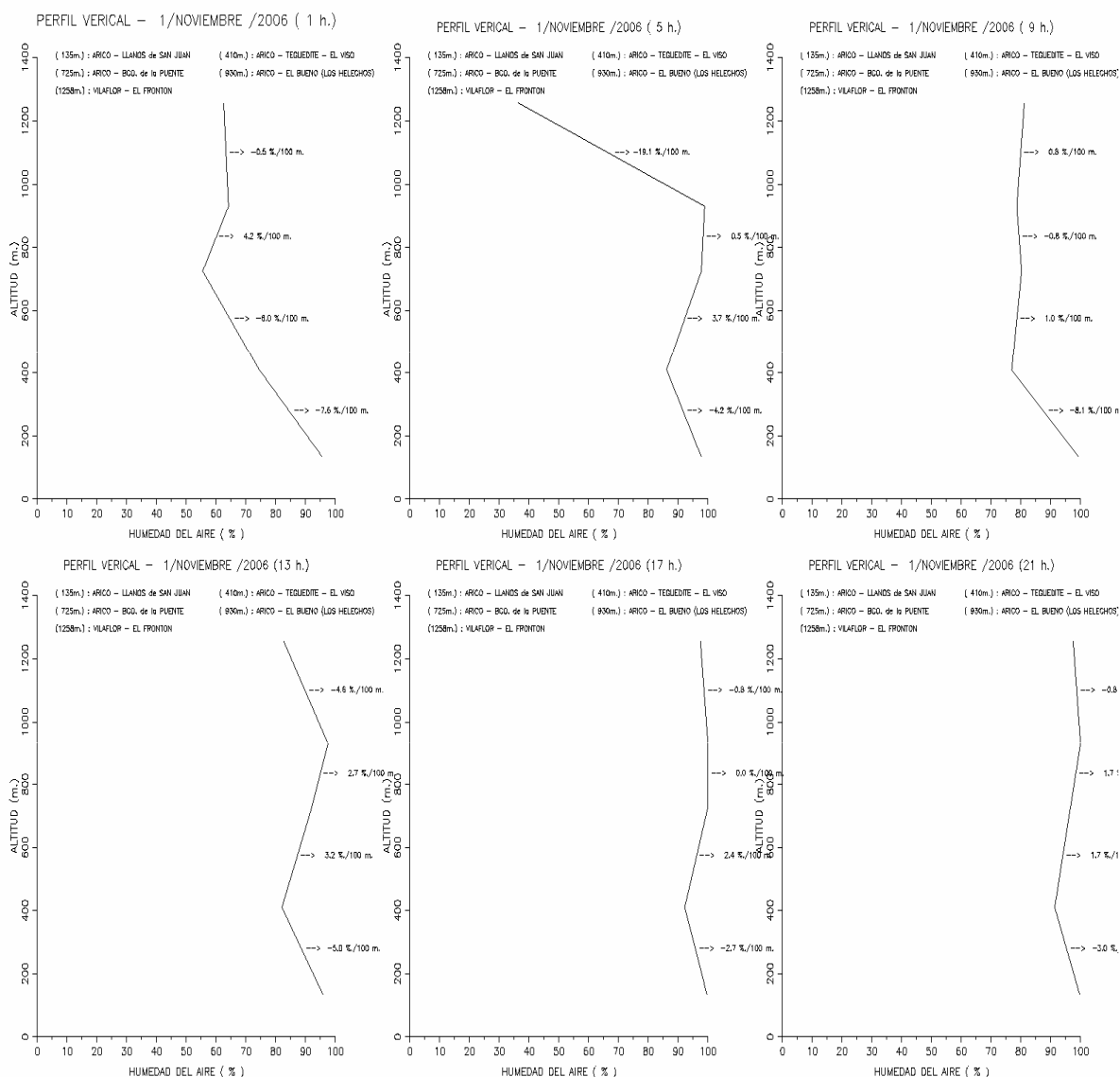
Imagen del satélite Meteosat 8 (visible): 1 de noviembre a las 12 h UTC

La imagen del satélite nos indica cielos nubosos en la región de Canarias a causa de la depresión situada sobre Madeira y del **frente frío** que cruza Canarias.



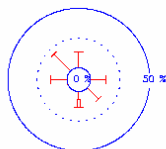
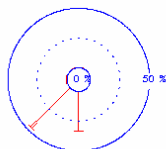
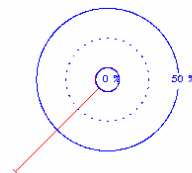
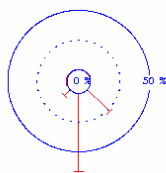
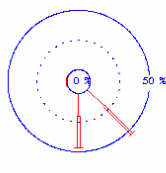
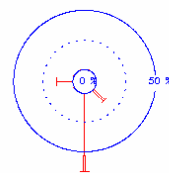
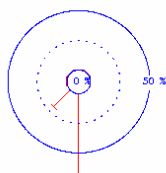
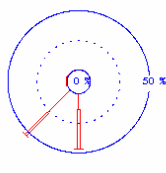
Perfiles térmicos trihorarios entre la costa y las medianías norte: 1 de noviembre

Las gráficas nos indican descensos de temperaturas entre cotas próximas a la costa e inferiores a 1258 m, e independientes de los periodos horarios, no existen inversiones térmicas, excepto en las primeras del día. Las temperaturas son cálidas en las medianías.



Perfiles higrométricos trihorarios entre la costa y las medianías norte: 1 de noviembre.

Las gráficas nos indican descensos de humedades en relación con el aumento de altitud entre cotas próximas a la costa y 410 m, e independientes de los periodos horarios; ascensos suaves de humedades en cotas comprendidas entre 410 m y 930 m; descensos suaves de humedades entre cotas comprendidas 930 m y 1258 m. Son notables las humedades muy húmedas en cotas próximas a la costa y en las medianías: “llueve” a partir de las primeras horas de la mañana.


 $0 < H \leq 3$

 $3 < H \leq 6$

 $6 < H \leq 9$

 $9 < H \leq 12$

 $12 < H \leq 15$

 $15 < H \leq 18$

 $18 < H \leq 21$

 $21 < H \leq 24$

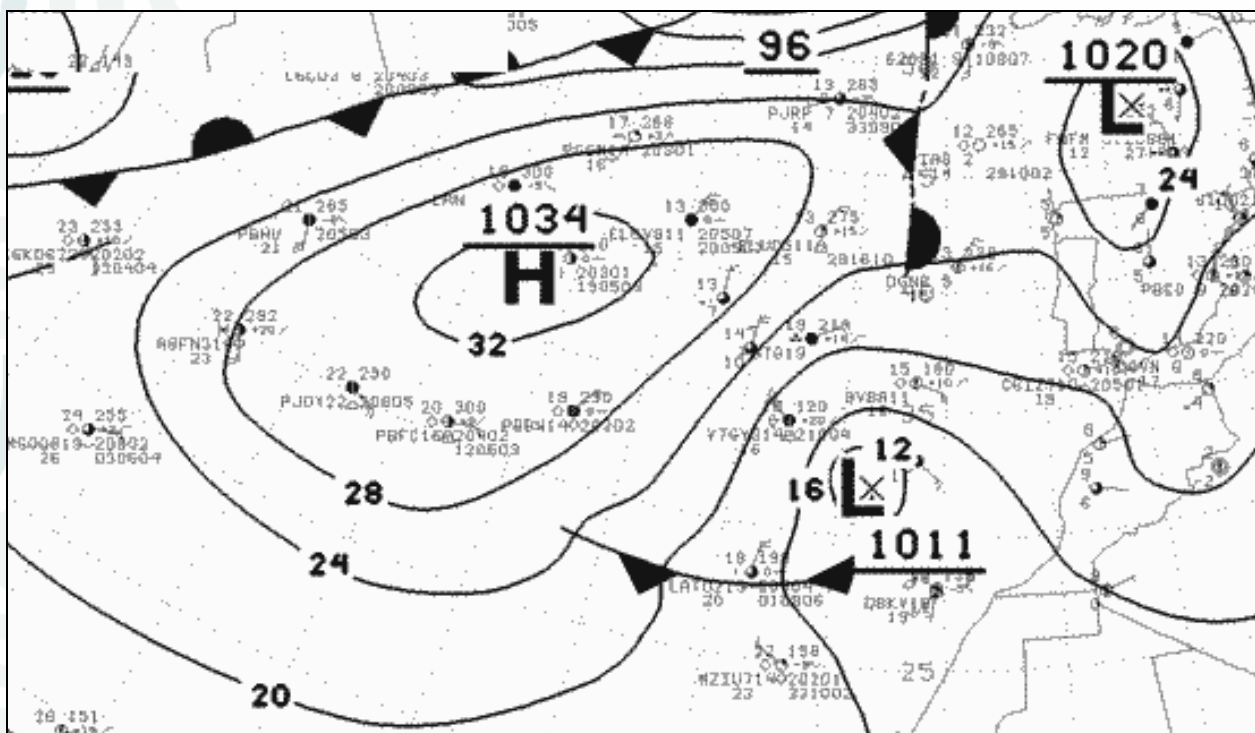
VELOCIDAD DEL VIENTO

- 0.0 < v <= 10.0 KM/H
- = 10.0 < v <= 20.0 KM/H
- ▢ 20.0 < v <= 30.0 KM/H
- 30.0 < v <= 40.0 KM/H
- 40.0 < v <= 90.0 KM/H

Rosas de viento el 1 de noviembre en periodos trihorarios.

Los vientos débiles soplan en todas las direcciones en las primeras horas y en el sector SE a W a partir de la madrugada hasta la medianoche. Los vientos moderados soplan en el sector SE a S en las primeras horas de la tarde y en las horas próximas a medianoche. Las precipitaciones van acompañadas de vientos que soplan en el sector SE a SW a partir de las primeras horas de la mañana. No existe el efecto anabático – catabático.

Situación meteorológica: **Frente frío, vientos fuertes, precipitaciones intensas y calima.** Lluvia intensa (57.3 mm). El día 31 de octubre es cálido (16.3 °C), húmedo (74 %), ligeramente ventoso (5.2 km/h, E a W, SE a S dominantes), cubierto (4 MJ/m²) y calima; el día 1 es cálido (17 °C), muy húmedo (91 %), ligeramente ventoso (7.4 km/h, SE a SW, S dominante), cubierto (4.4 MJ/m²), lluvioso (57.3 mm) y calima; el día 2 es cálido (19.5 °C), húmedo (73 %), ligeramente ventoso (7.6 km/h, E a NW, SE dominante), soleado (15.9 MJ/m²). Las imágenes del satélite nos indican: día 31, una depresión (1003 mb) situada al oeste de Madeira y un anticiclón (1015 mb) situado sobre Argelia, las islas Canarias están cubiertas de polvo sahariano; día 1, depresiones (1004 mb, 1006 mb) situadas al oeste de Madeira y al sur de Argelia, y el anticiclón (1020 mb) está situado al norte de Marruecos, las islas Canarias se cubren de nubosidad al amanecer, un **frente frío** cruza las islas y las precipitaciones aparecen a partir del mediodía; día 2, la depresión (1007 mb) está situada al noroeste de Madeira y el anticiclón (1019 mb) está situado al norte de Marruecos, la región canaria está soleada durante la jornada.



Situación sinóptica: 9 de enero a 0 h TC

Anticiclón Atlántico intenso centrado sobre las islas Azores, una depresión situada al norte de Canarias y un **frente frío** al noroeste de Canarias: las islas están cubiertas de nubosidad.

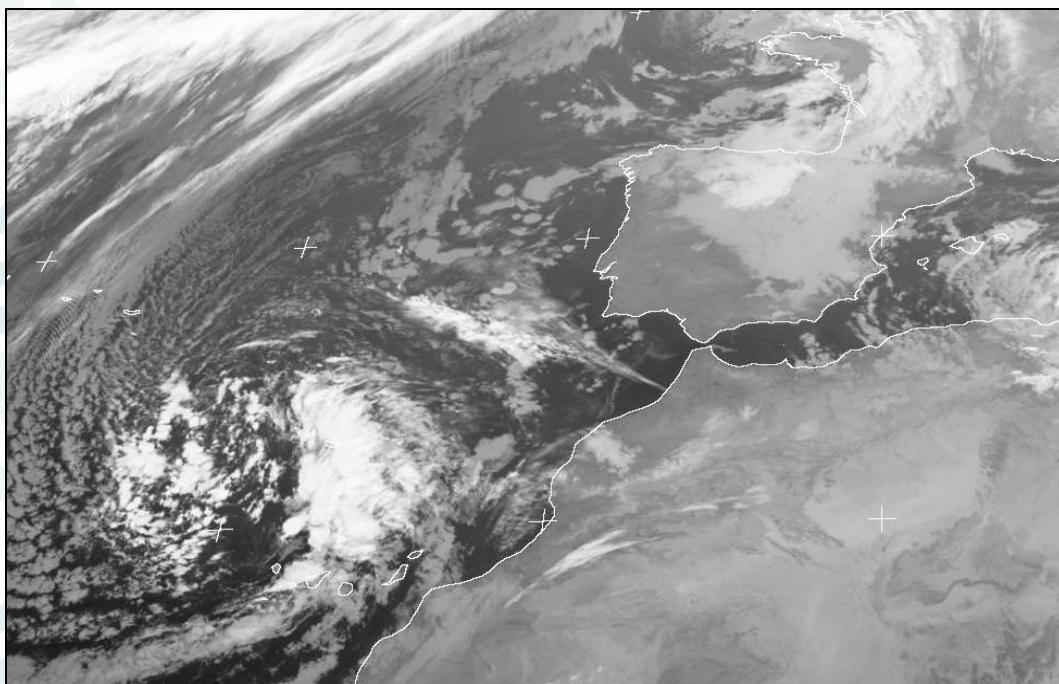


Imagen del satélite Meteosat 8 (infrarrojo): 9 de enero a las 0 h UTC

La imagen del satélite nos indica cielos con nubes y claros en el periodo nocturno. La superficie terrestre tiene pérdida del calor, la temperatura nocturna desciende notablemente.

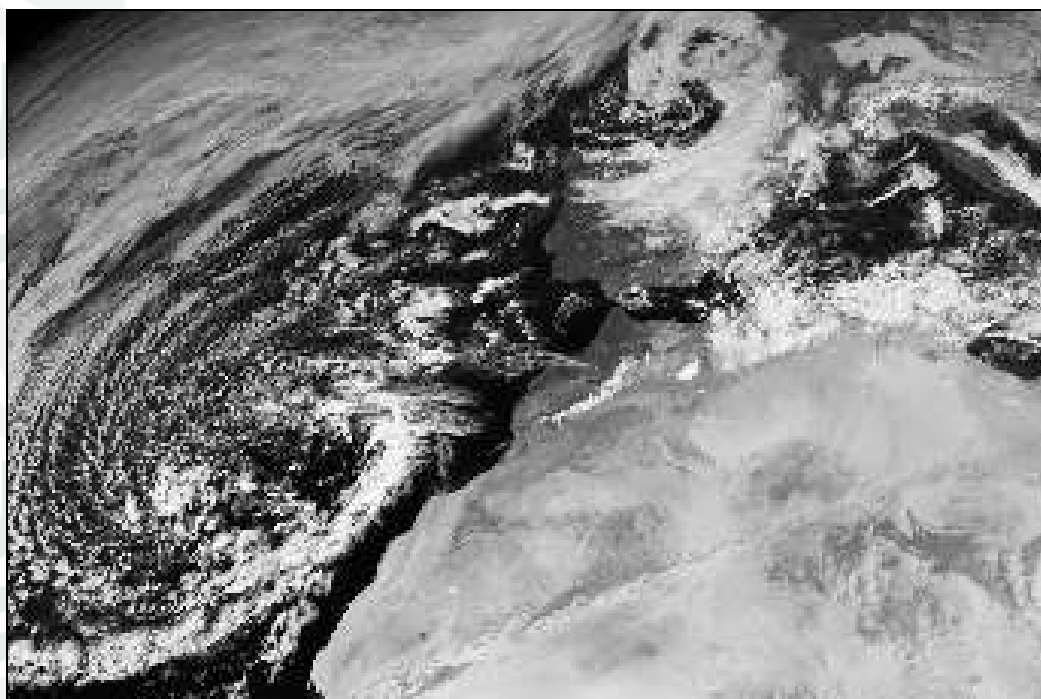
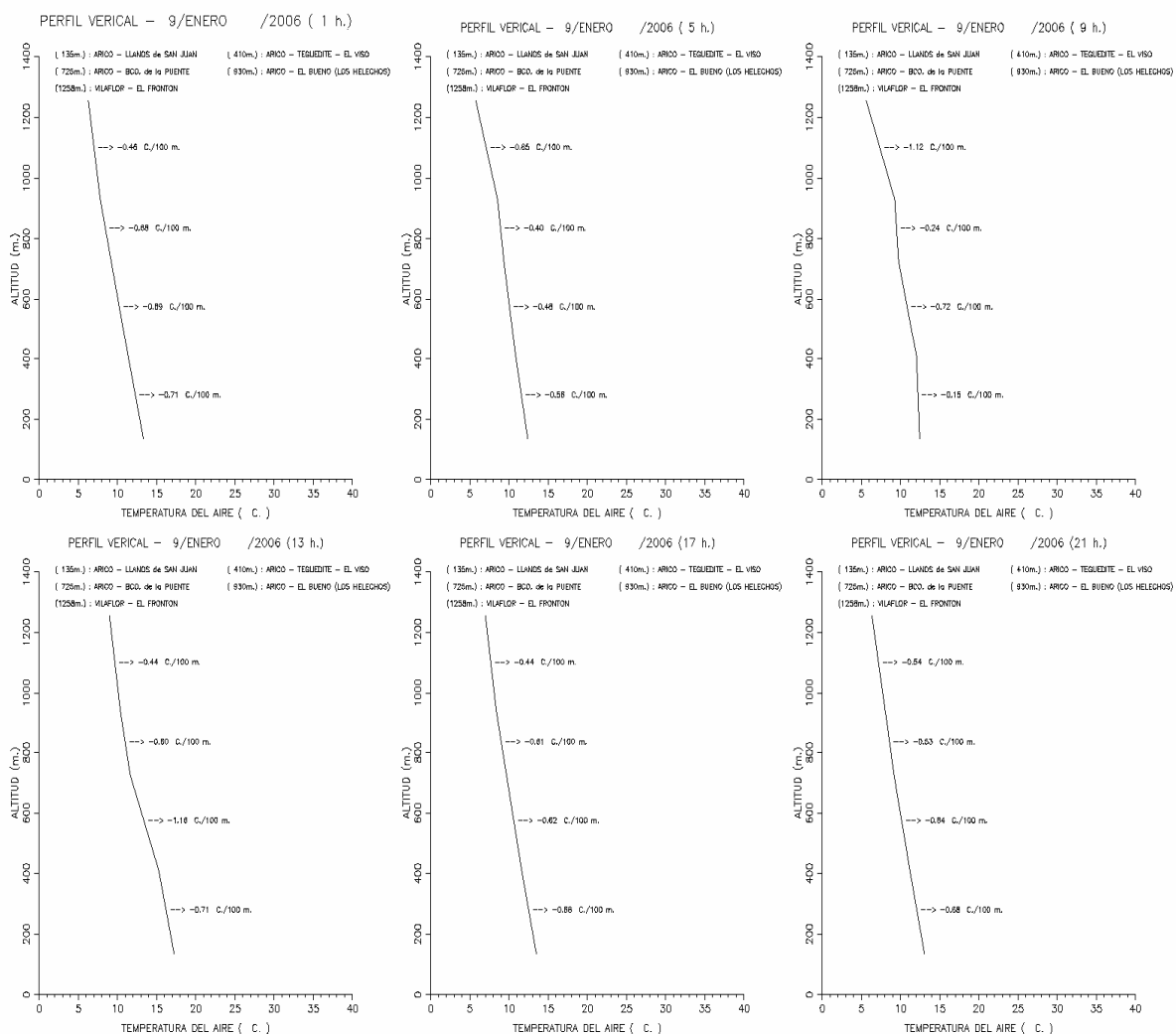


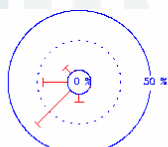
Imagen del satélite Meteosat 8 (visible): 9 de enero a las 12 h UTC

La imagen del satélite nos indica nubes orográficas en las laderas de las islas de mayor altitud en el periodo diurno.

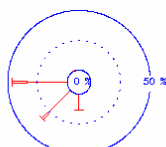


Perfiles térmicos trihorarios entre la costa y las medianías norte: 9 de enero

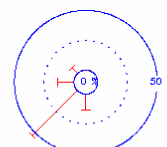
Las gráficas indican descensos de temperaturas en relación con el aumento de altitud en cotas próximas a la costa y 1258 m, e independientes de los periodos horarios: inexistencia de inversión térmica. Las temperaturas son **templadas** en la costa y **frías** en las medianías.



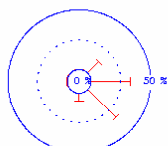
0 < H <= 3



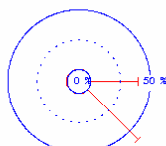
3 < H <= 6



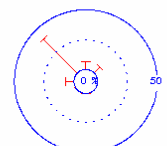
6 < H <= 9



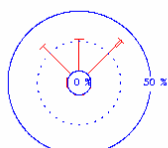
9 < H <= 12



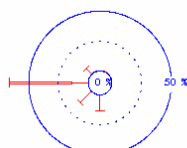
12 < H <= 15



15 < H <= 18



18 < H <= 21



21 < H <= 24

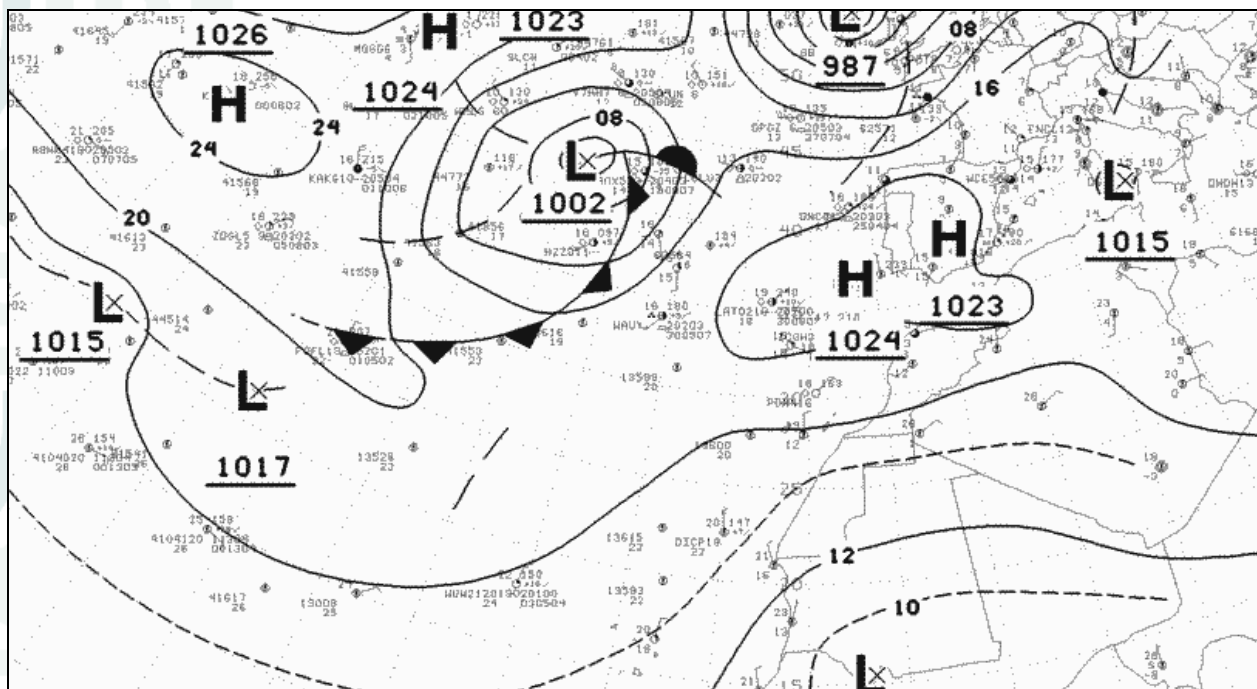
VELOCIDAD DEL VIENTO

- 0.0 < v <= 10.0 KM/H
- = 10.0 < v <= 20.0 KM/H
- 20.0 < v <= 30.0 KM/H
- 30.0 < v <= 40.0 KM/H
- 40.0 < v <= 90.0 KM/H

Rosas de viento el 9 de enero en periodos trihorarios.

Los periodos nocturnos 0 h a 9 h / 21 h a 24 h, los vientos débiles soplan en el sector S a NW y en la dirección SW son frecuentes; los vientos moderados soplan en la dirección W y son poco frecuentes. En el periodo diurno 9 h a 15 h, los vientos débiles soplan en el sector NE a S, en el sector E a SE son frecuentes y van acompañados de precipitaciones. En el periodo diurno y vespertino 15 h a 21 h, los vientos débiles cambian sus direcciones, soplan en el sector W a NE.

Situación meteorológica: **Frente frío, vientos suaves y sin calima.** Lluvia intensa (50.3 mm). El día 9 de enero es el “**más frío del año**”. El día 6 es templado (10.2 °C, 8.1 °C / 12.4 °C), húmedo (81 %), ligeramente ventoso (5.9 km/h, NW y E), nubes y claros (7.1 MJ/m²); el día 7 es frío (9.4 °C, 7.3 °C / 11.7 °C), húmedo (88 %), ligeramente ventoso (5 km/h, W y NE), cubierto (4.9 MJ/m²); el día 8 es frío (8.3 °C, 5.9 °C / 12.5 °C), muy húmedo (89 %), poco ventoso (4.5 km/h, SW a W), cubierto (4.6 MJ/m²) y chubasco (1.6 mm); el día 9 es frío (8.7 °C, 7.4 °C / 11 °C), muy húmedo (92 %), ligeramente ventoso (5.3 km/h, SW a W), cubierto (3.7 MJ/m²) y lluvia abundante (71.3 mm); el día 10 es templado (11.5 °C, 9.4 °C / 14.5 °C), semihúmedo (55 %), ligeramente ventoso (8 km/h, W a NW), soleado (13.9 MJ/m²) y llovizna (0.5 mm). Los mapas sinópticos indican: día 7, un anticiclón (1030 mb) Atlántico extenso centrado en las Azores, una depresión (1010 mb) situada en Portugal y ausencia de la depresión sahariana: las islas Canarias tienen nubes y claros; día 8, el anticiclón Atlántico (1034 mb) está centrado en las Azores, la depresión (1012 mb) está centrada al sureste de península Ibérica, un frente frío al noroeste de Madeira y ausencia de la depresión sahariana: las islas están soleadas con nubes dispersas; día 9, el anticiclón Atlántico (1034 mb) está centrado en las Azores, una nueva depresión (1011 mb) centrada sobre Madeira, un frente frío cruza las islas Canarias y ausencia de la depresión sahariana: las islas están cubiertas de nubosidad y llueve intensamente.



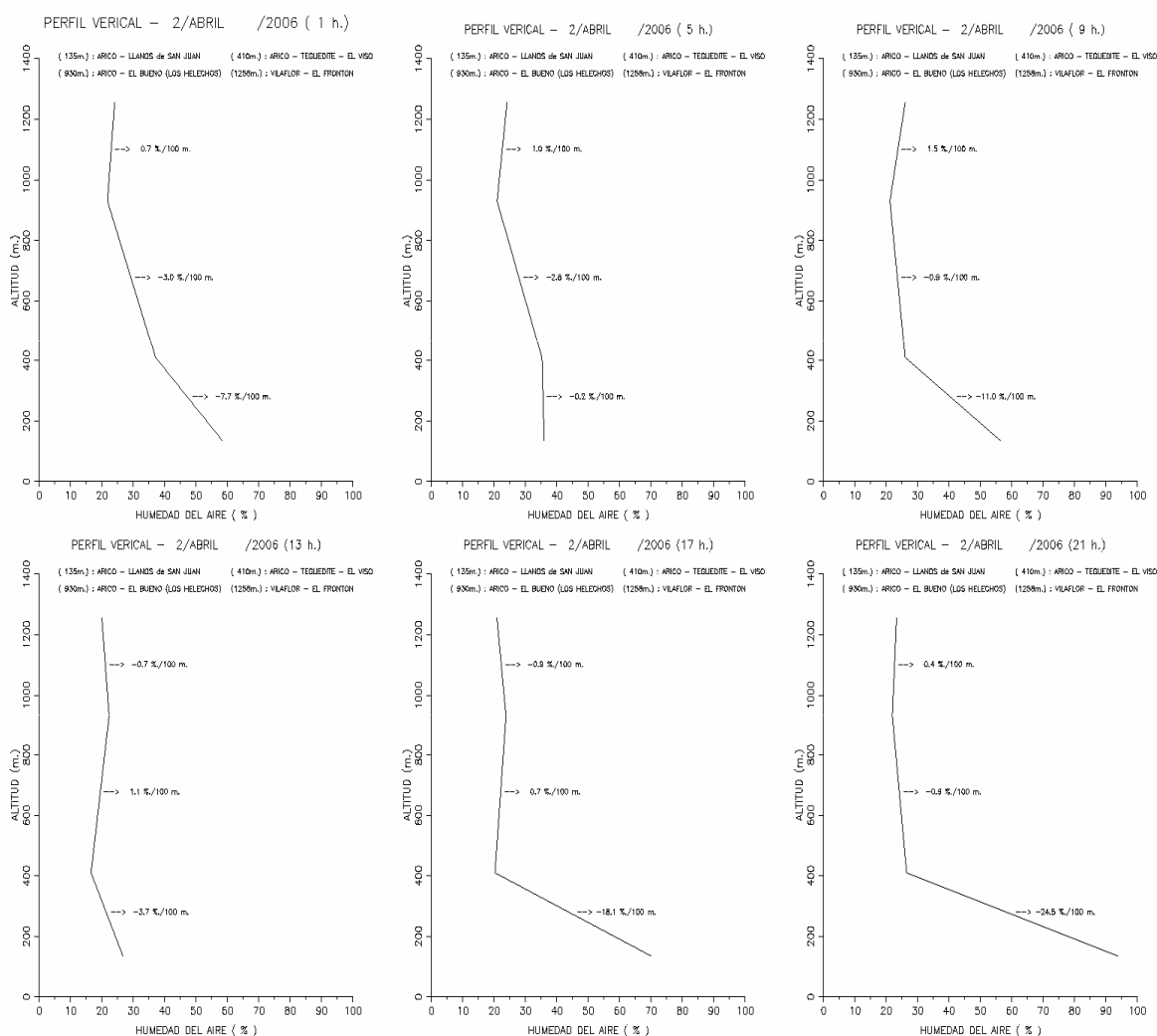
Situación sinóptica: 2 de abril a las 0 h UTC

Un anticiclón centrado en la costa de Portugal, la depresión sahariana extensa situada al sur de Mauritania.



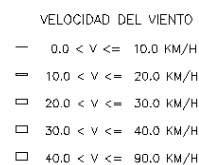
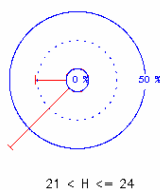
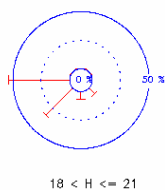
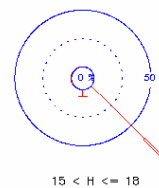
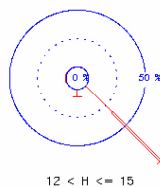
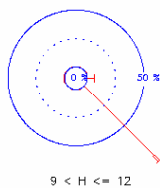
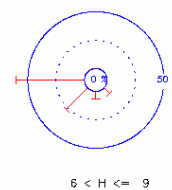
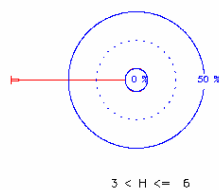
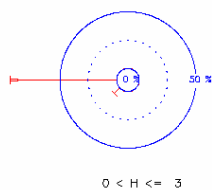
Imagen del satélite Meteosat 8 (visible): 2 de abril a las 12 h UTC

Las imágenes del satélite nos indican cielos despejados de nubosidad en la región canaria a causa del anticiclón peninsular y un frente frío situado al noroeste de Madeira, ausencias de precipitaciones y calima.



Perfiles higrométricos trihorarios entre la costa y las medianías norte: 2 de abril.

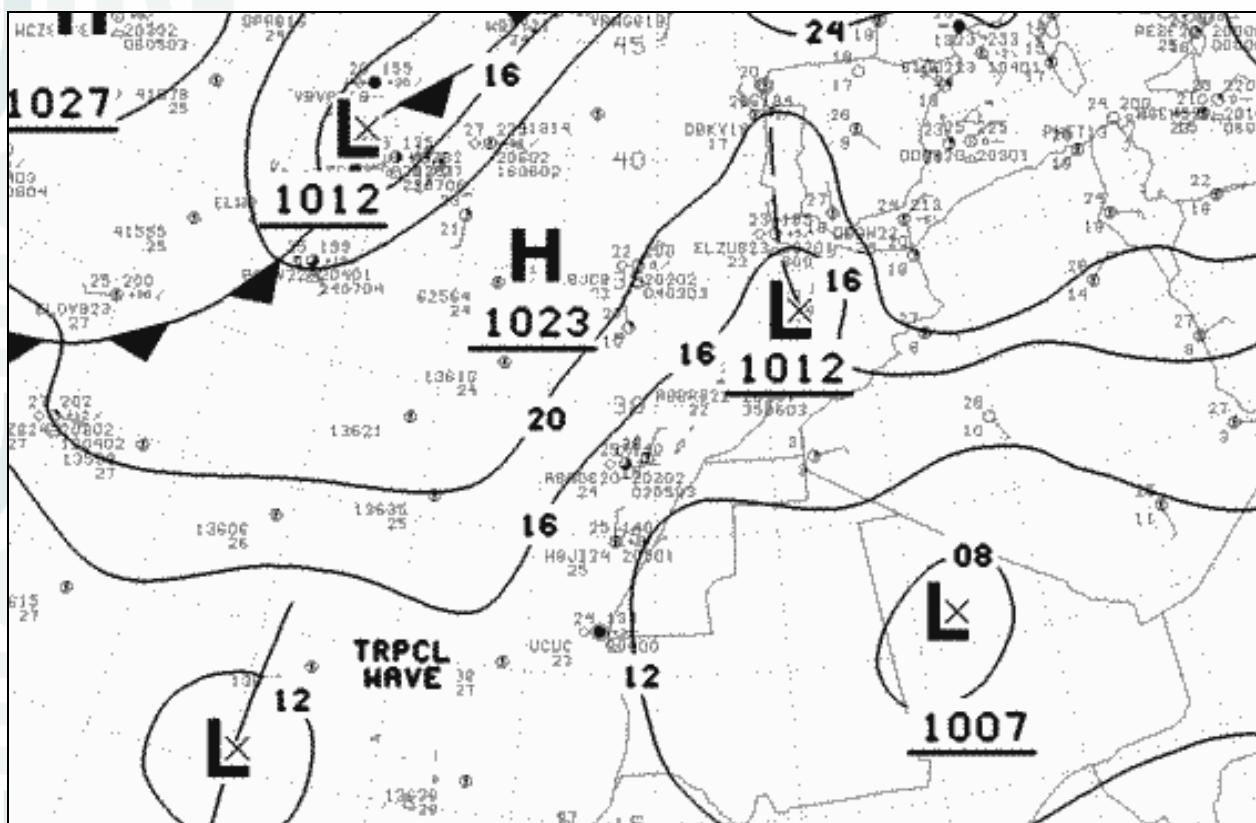
Las gráficas nos indican descensos bruscos de humedades en relación con el aumento de altitud entre cotas próximas a la costa y 410 m, e independientes de los periodos horarios; descensos suaves de humedades en los periodos nocturno y vespertino, y ascensos suaves de humedades en el periodo nocturno en cotas comprendidas entre 410 m y 930 m; humedades secas entre cotas comprendidas 930 m y 1258 m. Son notables las humedades secas en las medianías.



Rosas de viento el 2 de abril en periodos trihorarios.

En los periodos nocturno 0 h a 9 h y vespertino 18 h a 24 h, los vientos débiles soplan en el sector SE a W y en la dirección W son dominantes. En los periodos diurno, los vientos cambian sus direcciones y aumentan sus velocidades; los vientos débiles soplan en el sector E a S y en la dirección SE son frecuentes, y los vientos moderados soplan frecuentemente en la dirección SE. No existe el efecto anabático – catabático.

Situación meteorológica: **Anticiclón Atlántico**, “**ola de calor**” y **sin calima** (31 marzo / 2 abril). El día 30 es cálido (19.5 °C, 15.4 °C / 24.9 °C Tex), seco (39 %), vientos débiles (4.9 km/h, W y SE) y soleado (20.2 MJ/m²); el día 31 es caliente (23.5 °C, 19.5 °C / 26.9 °C Tex), seco (28 %), vientos débiles (5 km/h, NW y SE), soleado (20.6 MJ/m²); el día 1 abril es caliente (25 °C, 21.2 °C / 29.5 °C Tex), seco (23 %), vientos débiles (7.6 km/h, W y SE), soleado (20.5 MJ/m²); el día 2 es **muy caliente** (25.5 °C, 21.7 °C / 28.9 °C Tex), seco (22 %), vientos débiles (7.9 km/h, W y SE), soleado (22.1 MJ/m²); el día 3 es caliente (23 °C, 15.8 °C / 27.9 °C), seco (36 %), vientos muy débiles (4.2 km/h, SW y E), soleado (20.6 MJ/m²) y calima; el día 4 es templado (12.5 °C, 10.6 °C / 15.1 °C), muy húmedo (88 %), vientos muy débiles (3.1 km/h, W y SE), cubierto (3.7 MJ/m²), calima y chubasco (4.1 mm). Las imágenes del satélite nos indican: día 31, presencia de anticiclones (1023 mb y 1032 mb) situados sobre la península Ibérica e islas Canarias, y ausencia de bajas presiones en el Sahara Occidental: cielo despejado de nubosidad; día 1, presencia de anticiclones (1022 mb) situados sobre la península Ibérica e islas Canarias, y ausencia de la depresión sobre el Sahara Occidental: cielo despejado de nubosidad; día 2, anticiclón (1024 mb) extenso situado al norte de Madeira y península Ibérica, una depresión (1008 mb) centrada al sur de Mauritania y ausencia de bajas presiones en el Sahara Occidental, cielo despejado de nubosidad: los sondeos atmosféricos realizados en la costa sur de Tenerife a medianoche indican un descenso de temperatura 0.29 °C / 100 m, una inversión térmica con base en 192 m, grosor de 542 m, aumento de temperatura de 2.03 °C / 100 m y descenso de temperatura de 0.72 °C / 100 m entre 734 m y 1540 m de altitud, y a mediodía un descenso de temperatura -2.08 °C / 100 m, una inversión térmica con base en 207 m, grosor de 243 m, aumento de temperatura de 3.29 °C / 100 m y descenso de temperatura de 0.73 °C / 100 m entre 450 m y 1534 m de altitud; día 3, anticiclón (1036 mb) situado en el golfo de Vizcaya, una depresión (1008 mb) situada al sur de Mauritania y ausencia de bajas presiones en el Sahara Occidental; día 4, anticiclón Atlántico (1024 mb) extenso, una depresión (992 mb) situada al oeste de Galicia, ausencia de bajas presiones en el Sahara Occidental y un frente frío cruza las islas Canarias, cielo cubierto a causa de nubes orográficas.



Situación sinóptica: 5 de septiembre a las 0 h UTC

Depresiones centradas en la costa noroeste de Marruecos y al este de Mauritania, y el anticiclón Atlántico centrado al oeste de Madeira. Las situaciones de las depresiones son las causas de días calurosos, húmedos, poco ventosos, cielos cubiertos y presencia de calima.

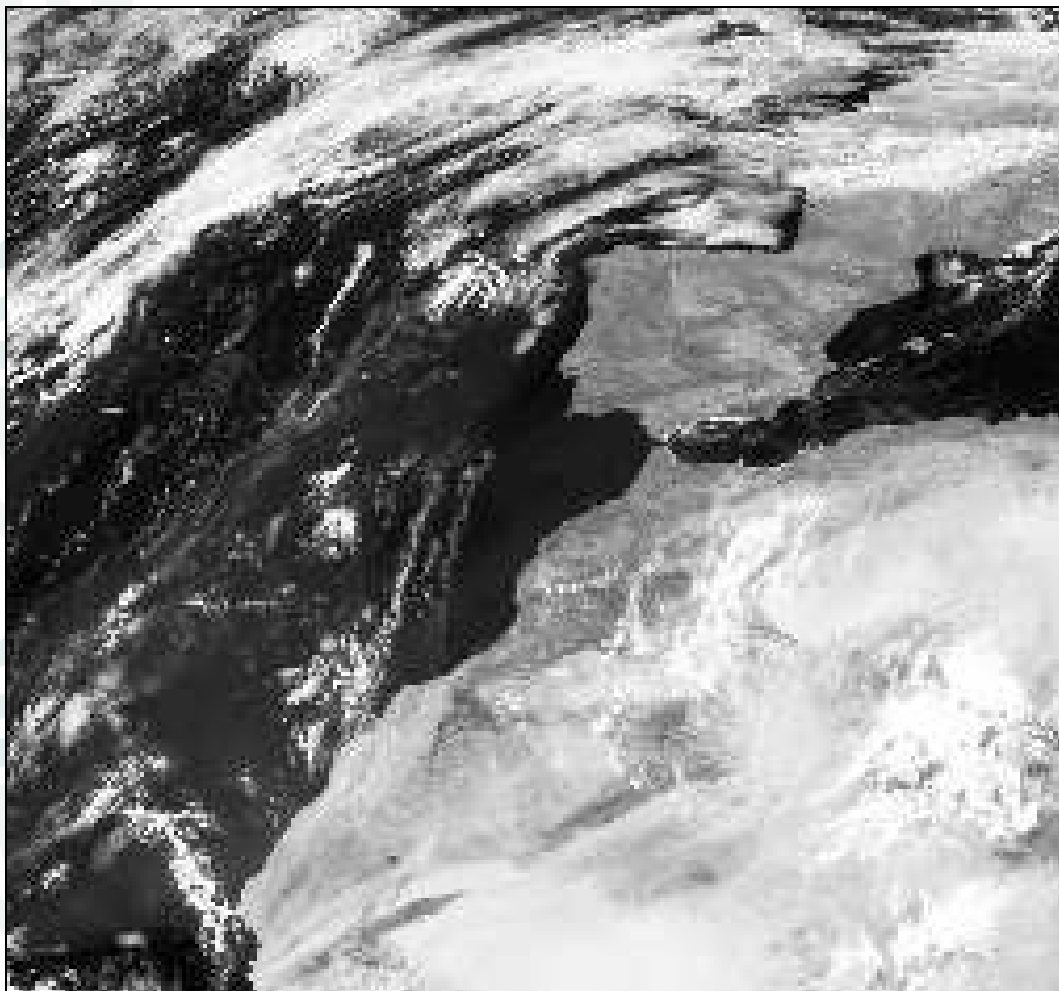
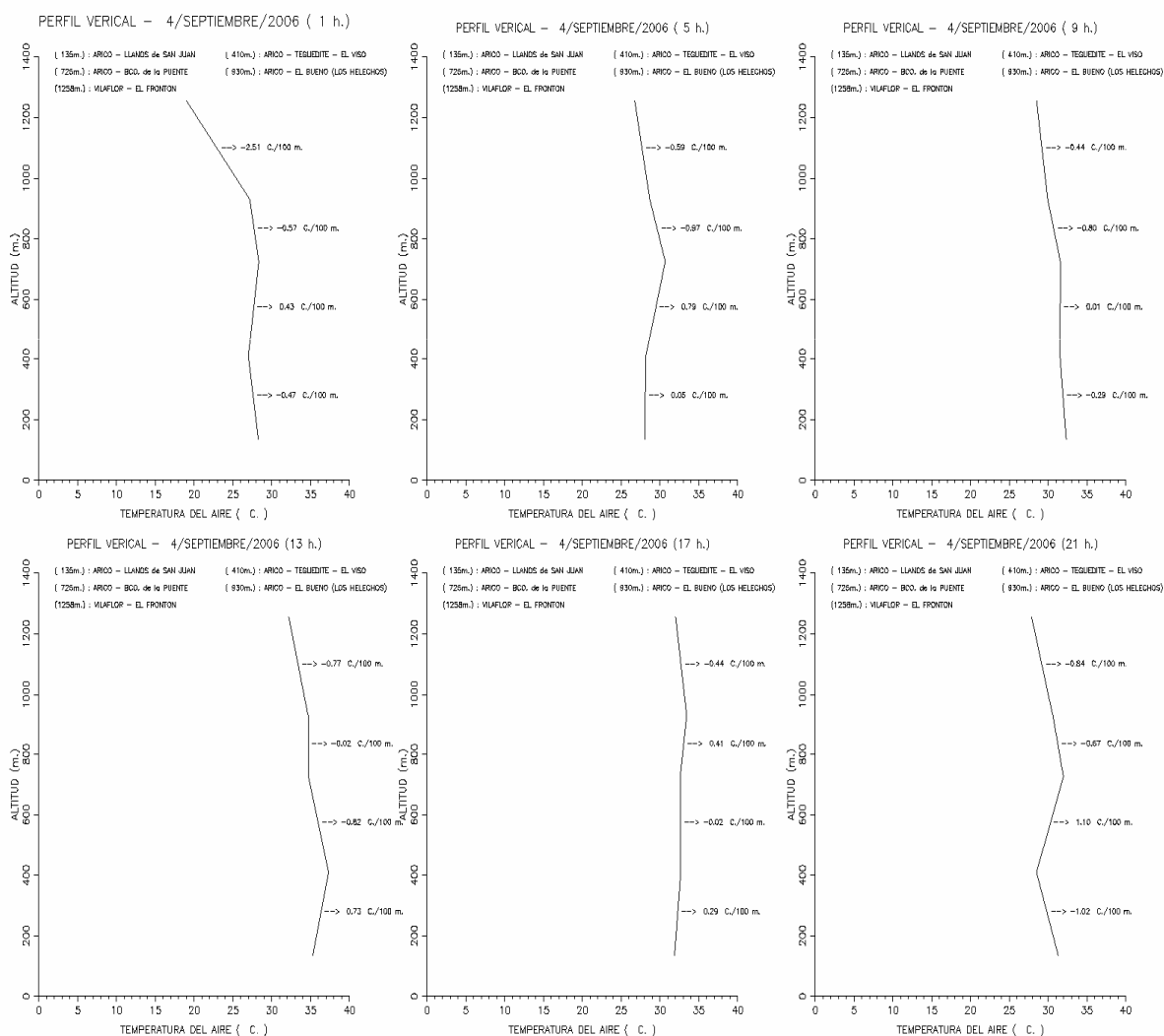


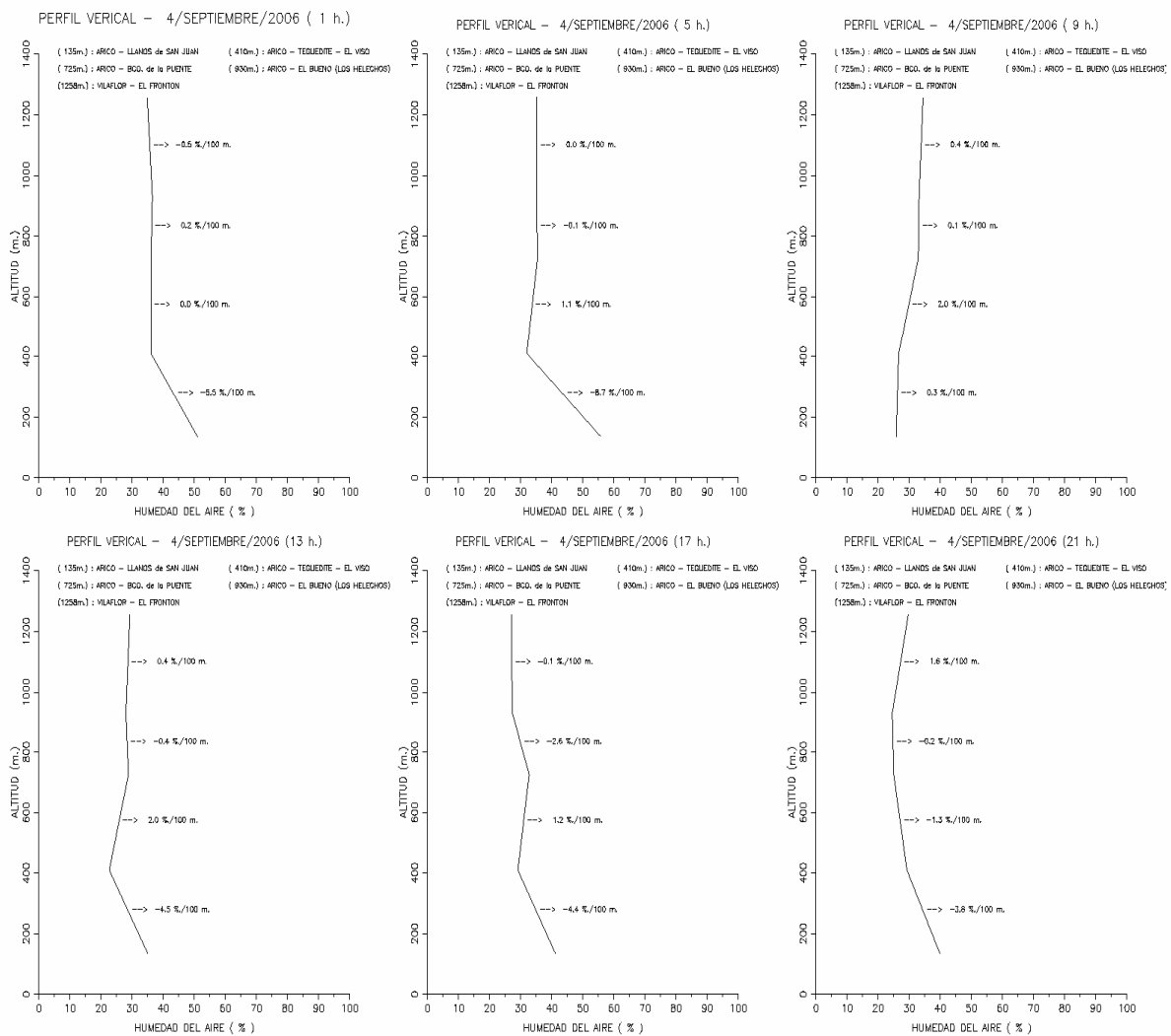
Imagen del satélite Meteosat 8 (visible): 4 de septiembre a las 12 h UTC

La imagen del satélite nos indica nubes y claros en la región canaria a causa del anticiclón Atlántico y de las temperaturas “frescas” del mar. Nubes orográficas en las laderas de medianías orientadas al norte y presencia de calima.



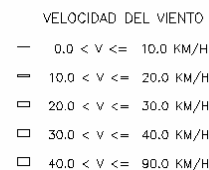
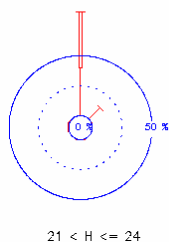
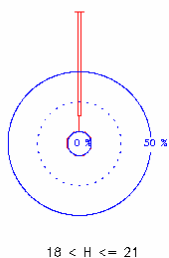
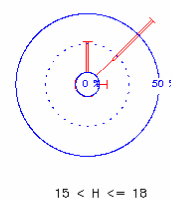
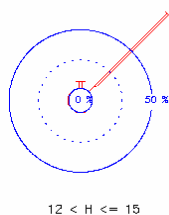
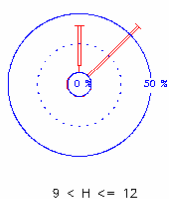
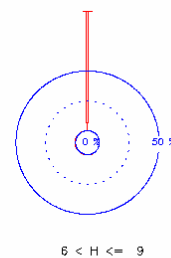
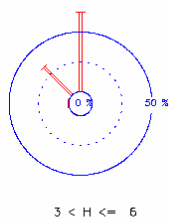
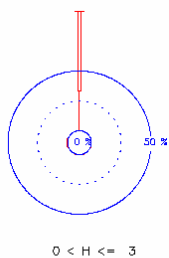
Perfiles térmicos trihorarios entre la costa y las medianías norte: 4 de septiembre

En los periodos nocturno y vespertino, las gráficas nos indican descensos de temperaturas en relación con el aumento de altitud entre cotas próximas a la costa y 410 m; ascensos de temperaturas entre las cotas 410 m y 735 m; descensos de temperaturas entre las cotas 725 m y 1258 m. En el periodo diurno, las gráficas nos indican ascensos suaves de temperaturas en relación con el aumento de altitud entre cotas próximas a la costa y 410 m; descensos suaves de temperaturas entre las cotas 410 m y 1258 m. Las temperaturas son **muy calientes** entre la costa y 1258 m. Las variaciones verticales de las temperaturas están relacionadas inversamente con las variaciones verticales de las humedades.



Perfiles higrométricos trihorarios entre la costa y las medianías norte: 4 de septiembre.

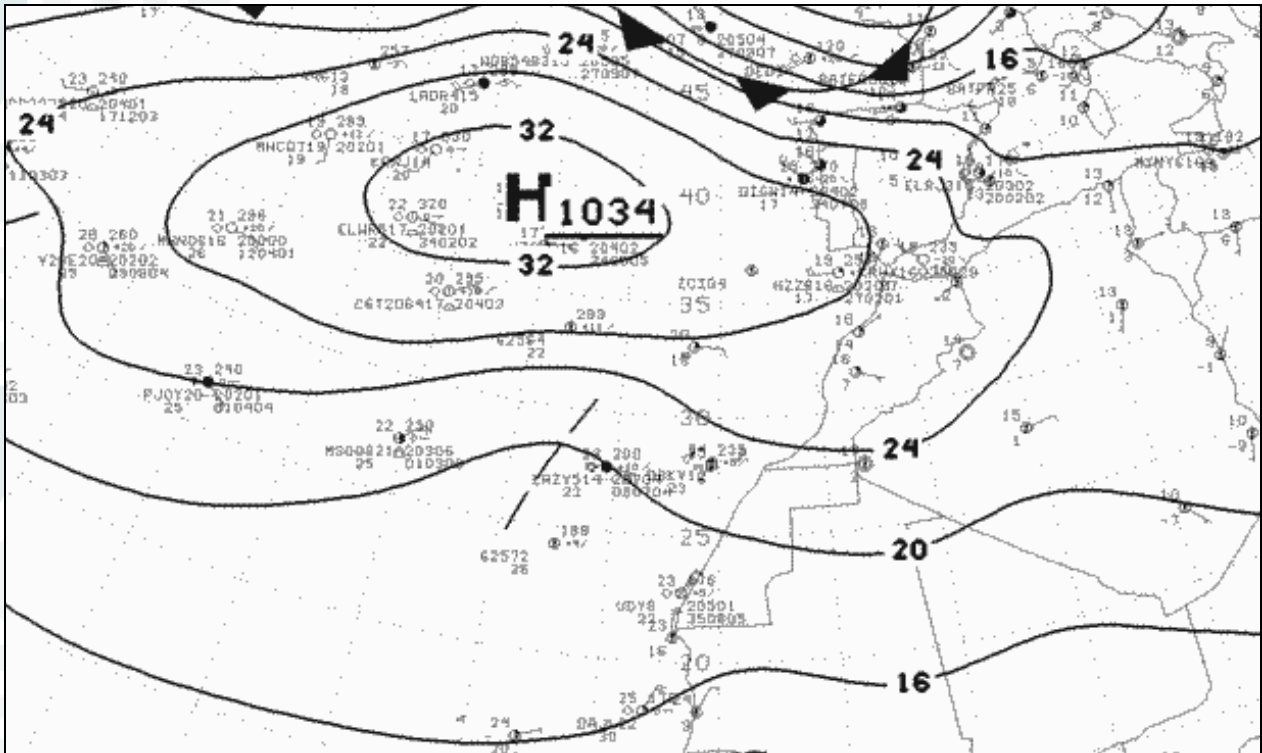
Las gráficas nos indican descensos bruscos de humedades en relación con el aumento de altitud entre cotas próximas a la costa y 410 m, e independientes de los periodos horarios; ascensos suaves de humedades en cotas comprendidas entre 410 m y 725 m; descensos suaves entre cotas comprendidas 725 m y 930 m en los periodos madrugada y diurno. Son notables las humedades semisecas a secas en cotas próximas a la costa y humedades secas en cotas superiores a 410 m. Las variaciones verticales de las humedades están relacionadas inversamente con las variaciones verticales de las temperaturas.



Rosas de viento el 4 de septiembre en periodos trihorarios

Los vientos débiles soplan en el sector N a NE. Los vientos moderados soplan en el sector NW a NE y en el sector N a NE son frecuentes.

Situación meteorológica: **Anticiclón**, “**ola de calor**” y **calima** (2/5 septiembre). Días **más calurosos del año**. El día 1 es muy caliente (27.5 °C, 23.4 °C / 32 °C Tex), seco (35 %), vientos débiles (5.1 km/h, SE y W frecuentes), soleado (21.2 MJ/m²) y calima; el día 2 es muy caliente (29.6 °C, 22.9 °C / 34.6 °C Tex), seco (34 %), vientos débiles (6.6 km/h, W a NE, N dominante), soleado (19.3 MJ/m²) y calima; el día 3 es muy caliente (28.9 °C, 24.1 °C / 31.9 °C Tex), seco (39 %), vientos débiles (6.9 km/h, W a N frecuentes), cubierto (7.3 MJ/m²) y **calima intensa**; el día 4 es muy caliente (30.8 °C, 26.7 °C / 35.2 °C Tex), seco (31 %), vientos moderados (11.8 km/h, N a NE, NE dominante), soleado (17.7 MJ/m²) y **calima intensa**; los sondeos atmosféricos realizados en la costa sur de Tenerife a medianoche indican una inversión térmica con base a nivel del suelo (111 m), grosor de 449 m, aumento de temperatura de 0.58 °C / 100 m y descenso de temperatura de 0.57 °C / 100 m entre 560 m y 1577 m de altitud, y a mediodía un descenso de temperatura 3.11 °C / 100 m, una inversión térmica con base en 201 m, grosor de 82 m, aumento de temperatura de 7.32 °C / 100 m y descenso de temperatura de 0.76 °C / 100 m entre 283 m y 1551 m de altitud; el día 5 muy caliente (30.4 °C, 26.1 °C / 33.9 °C Tex), seco (28 %), vientos débiles (7.7 km/h, NW a NE, N dominante), soleado (18.5 MJ/m²) y calima; el día 6 muy caliente (27.2 °C, 23.6 °C / 30.6 °C Tex), semiseco (43 %), vientos débiles (6.9 km/h, NW a N), soleado (19.4 MJ/m²) y calima. Las imágenes del satélite nos indican: día 1, una depresión (1006 mb) situada al oeste de Mauritania y un amplio anticiclón Atlántico (1025 mb) centrado al oeste de Portugal, las islas Canarias están soleadas, presencia de calima; día 2, depresiones (1005 mb y 1015 mb) centradas en la costa de Mauritania y península Ibérica y un amplio anticiclón Atlántico (1023 mb) centrado en las islas Azores, las islas Canarias están soleadas con presencia de calima; día 3, una amplia depresión (1006 mb) situada al sur de Argelia y un anticiclón (1023 mb) situado al oeste de Portugal, las islas están cubiertas de calima intensa; día 4, una amplia depresión (1006 mb) situada al sur de Argelia y un anticiclón (1023 mb) centrado al oeste de Galicia, las islas Canarias están cubiertas de calima intensa; día 5, depresiones (1012 mb, 1007 mb) centradas en la costa noroeste de Marruecos y al este de Mauritania, y el anticiclón Atlántico está centrado en las islas Azores; día 6, **cambio** en la situación meteorológica a causa de las depresiones (1010 mb, 1008 mb) centradas en la costa noroeste de Marruecos y al noreste de Mauritania, y un amplio anticiclón Atlántico (1030 mb) centrado al norte de las islas Azores, Canarias está soleada, disminuye la temperatura y aumenta la humedad del aire.



Situación sinóptica: 21 de noviembre a las 0 h UTC

Anticiclón Atlántico extenso e intenso centrado en las islas Azores y ausencia de la depresión sahariana. Vientos secos y calima en las islas Canarias.

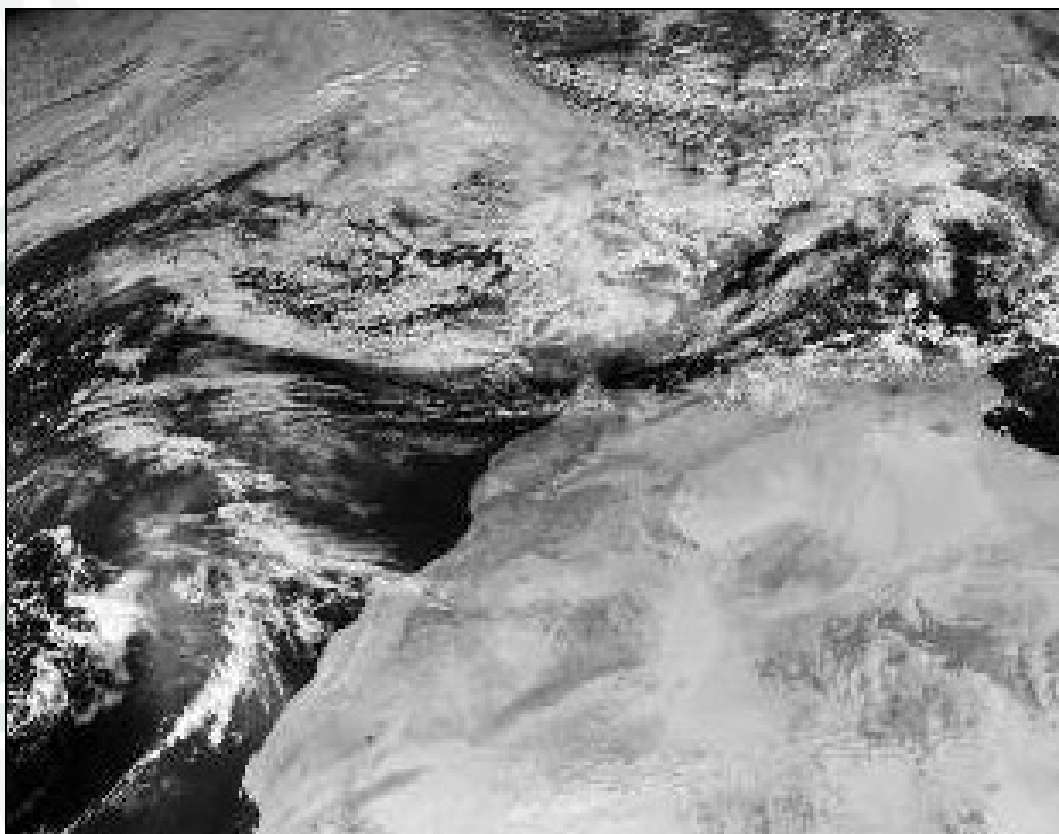
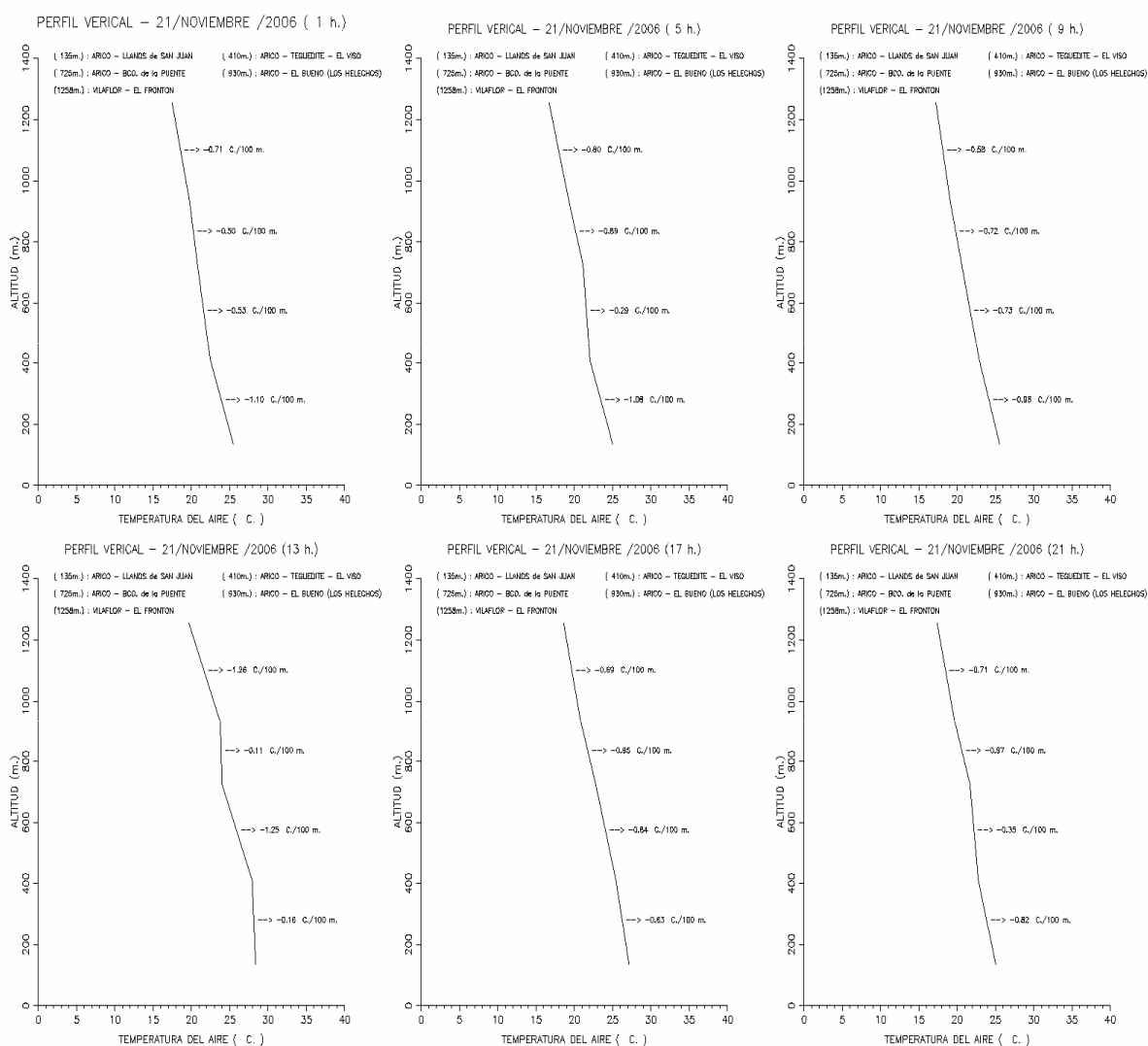


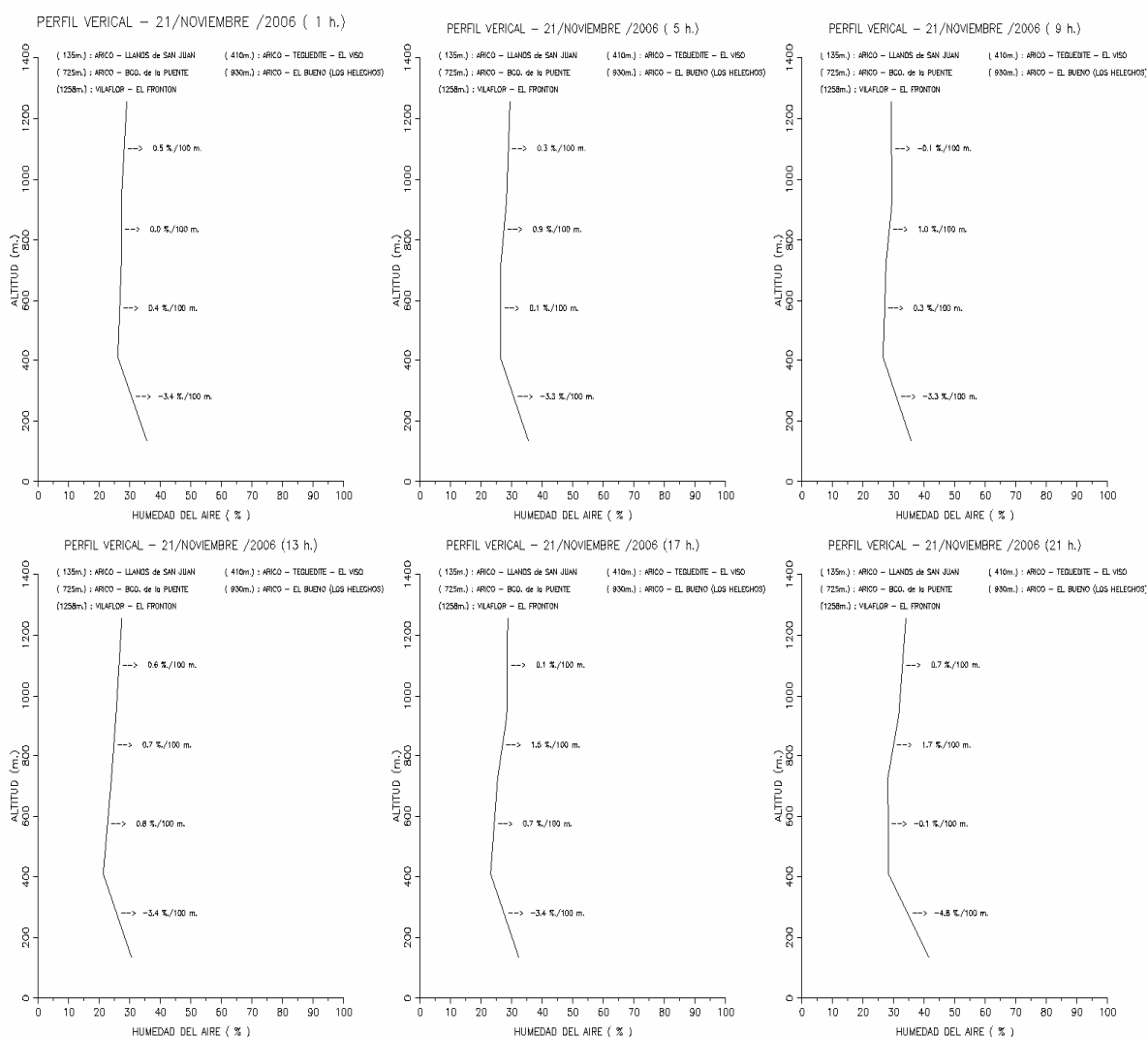
Imagen del satélite Meteosat 8 (visible): 21 de noviembre a las 12 h UTC

La imagen del satélite nos indica nubes y claros, frente nuboso en la región de Canarias a causa del intenso anticiclón Atlántico. Nubes orográficas en las laderas de medianías orientadas al norte y presencia de calima.



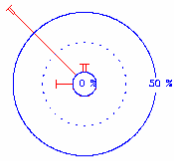
Perfiles térmicos trihorarios entre la costa y las medianías norte: 21 de noviembre

Las gráficas nos indican descensos suaves de temperaturas en relación con el aumento de altitud entre cotas próximas a la costa y 1528 m, e independientes de los periodos horarios. Las temperaturas entre la costa y medianías son **muy calientes a calientes**.

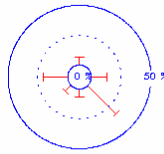


Perfiles higrométricos trihorarios entre la costa y las medianías norte: 21 de noviembre.

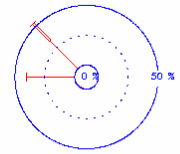
Las gráficas indican descensos suaves de humedades en relación con el aumento de altitud en cotas próximas a la costa y 410 m, e independientes de los periodos horarios; ascensos suaves de humedades en cotas comprendidas entre 410 m y 1258 m, e independientes de los periodos horarios. Las humedades son **secas** en la costa y medianías.



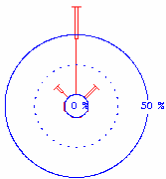
0 < H <= 3



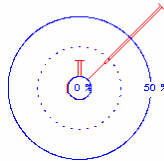
3 < H <= 6



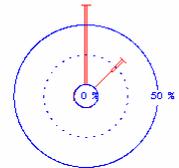
6 < H <= 9



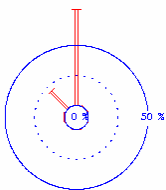
9 < H <= 12



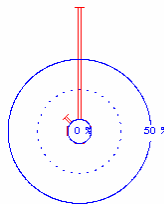
12 < H <= 15



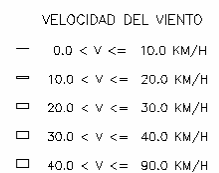
15 < H <= 18



18 < H <= 21



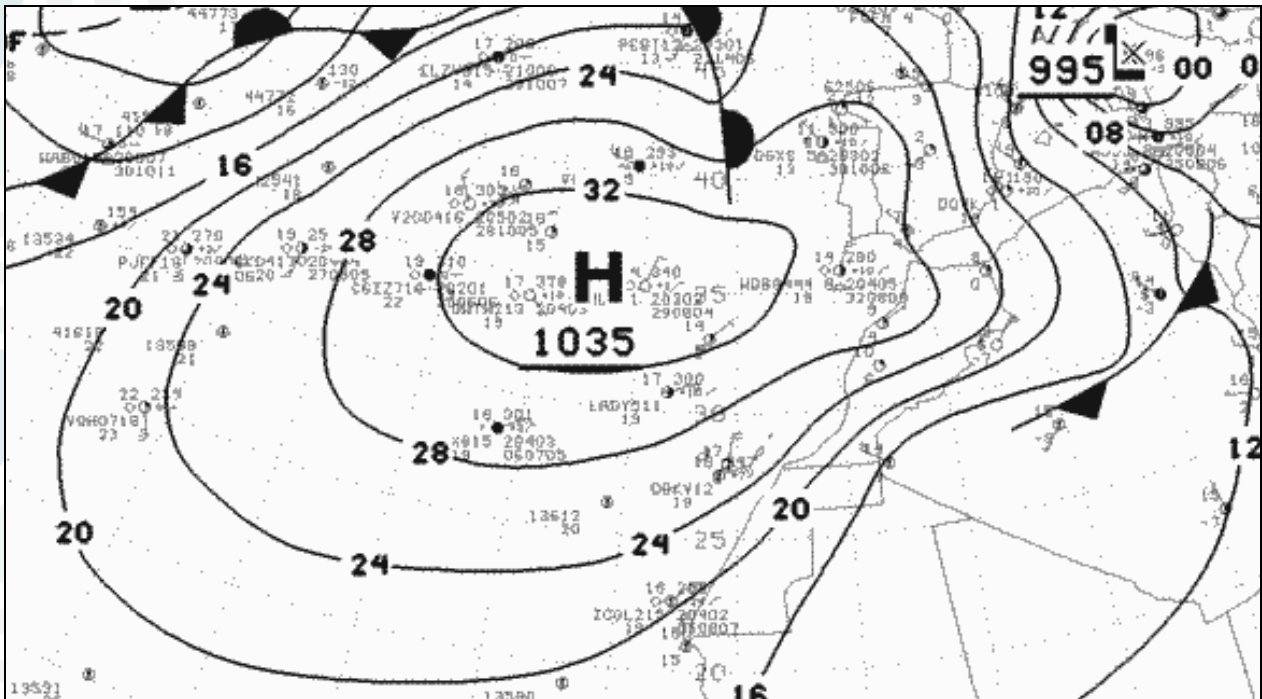
21 < H <= 24



Rosas de viento el 21 de noviembre en periodos trihorarios

Los vientos débiles son variables, en el periodo nocturno soplan frecuentemente en el sector W a NW y en el periodo vespertino son inexistentes. Los vientos moderados soplan en el sector NW a NE y en la dirección N son dominantes.

Situación meteorológica: **Vientos “secos” acompañados de calima** (20 / 21 noviembre). El día 21 de noviembre es el **“más seco del año”**. El día 19 es caliente (16.5 °C, 12.3 °C / 20 °C), semihúmedo (59 %), poco ventoso (4.4 km/h, NW y SW) y nuboso (7.1 MJ/m²); el día 20 es caliente (20 °C, 18 °C / 21.2 °C), **muy seco** (30 %), ligeramente ventoso (6 km/h, SE a S) y cubierto (7.3 MJ/m²); el día 21 es caliente (20.3 °C, 19 °C / 23.9 °C), **muy seco** (29 %), ligeramente ventoso (9.7 km/h, NW a N), nubes y claros (11.8 MJ/m²); el día 22 es cálido (16.8 °C, 11.7 °C / 19.7 °C), húmedo (70 %), ligeramente ventoso (6.9 km/h, NW a N) y nubes y claros (9.1 MJ/m²); el día 23 es templado (13.8 °C, 10.4 °C / 17.8 °C), húmedo (75 %), ligeramente ventoso (5.3 km/h, NW a NE) y nuboso (10.4 MJ/m²). Los mapas sinópticos nos indican: día 19, una borrasca Atlántica (1018 mb) poco intensa situada en las islas Azores, un anticiclón continental (1027 mb) extenso situado sobre Túnez y ausencia de la depresión sahariana: la región canaria tiene nubosidad y calima; los días 20 y 21, el anticiclón Atlántico (1033 mb) extenso e intenso centrado en las Azores, la península Ibérica tiene la influencia de altas presiones (1030 mb) y ausencia de la depresión sahariana: las islas están cubiertas y calima intensa; el día 22, el anticiclón Atlántico (1033 mb) intenso se desplaza hacia el sureste, un frente frío cruza la península y ausencia de la depresión sahariana: los vientos son fuertes y húmedos; el día 23, el anticiclón Atlántico (1025 mb) centrado sobre Madeira y ausencia de la depresión sahariana: los vientos son moderados y húmedos en las islas Canarias.



Situación sinóptica: 6 de marzo a las 0 h UTC

Anticiclón Atlántico centrado al este del estrecho de Gibraltar. Los vientos son moderados a fuertes en las islas Canarias.

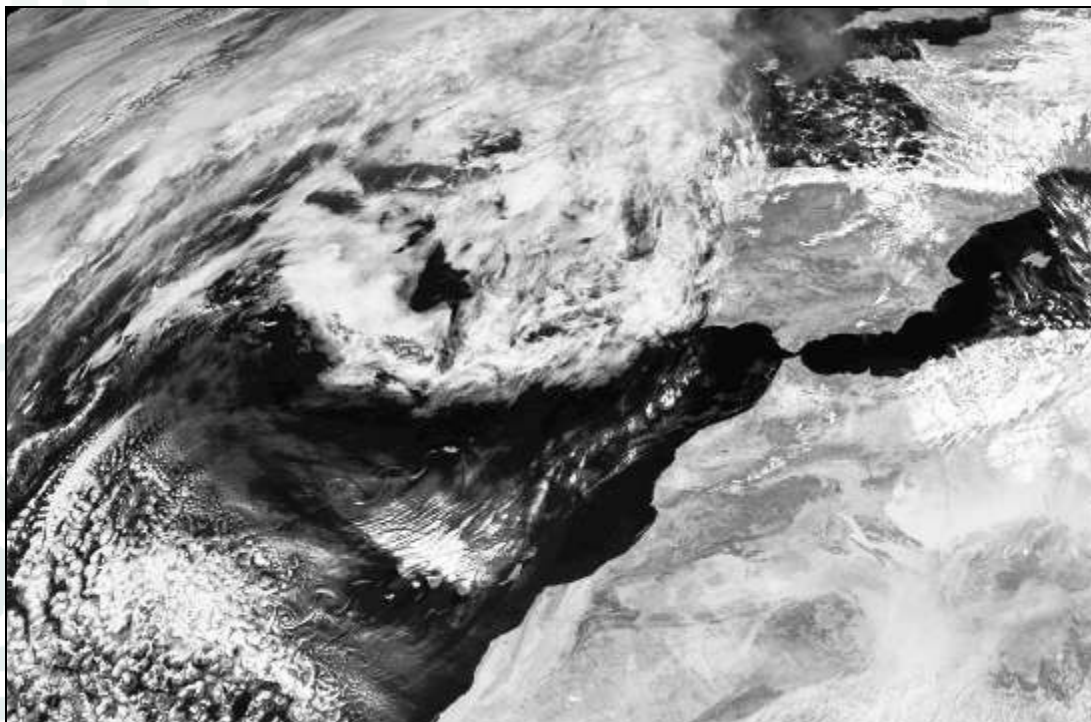
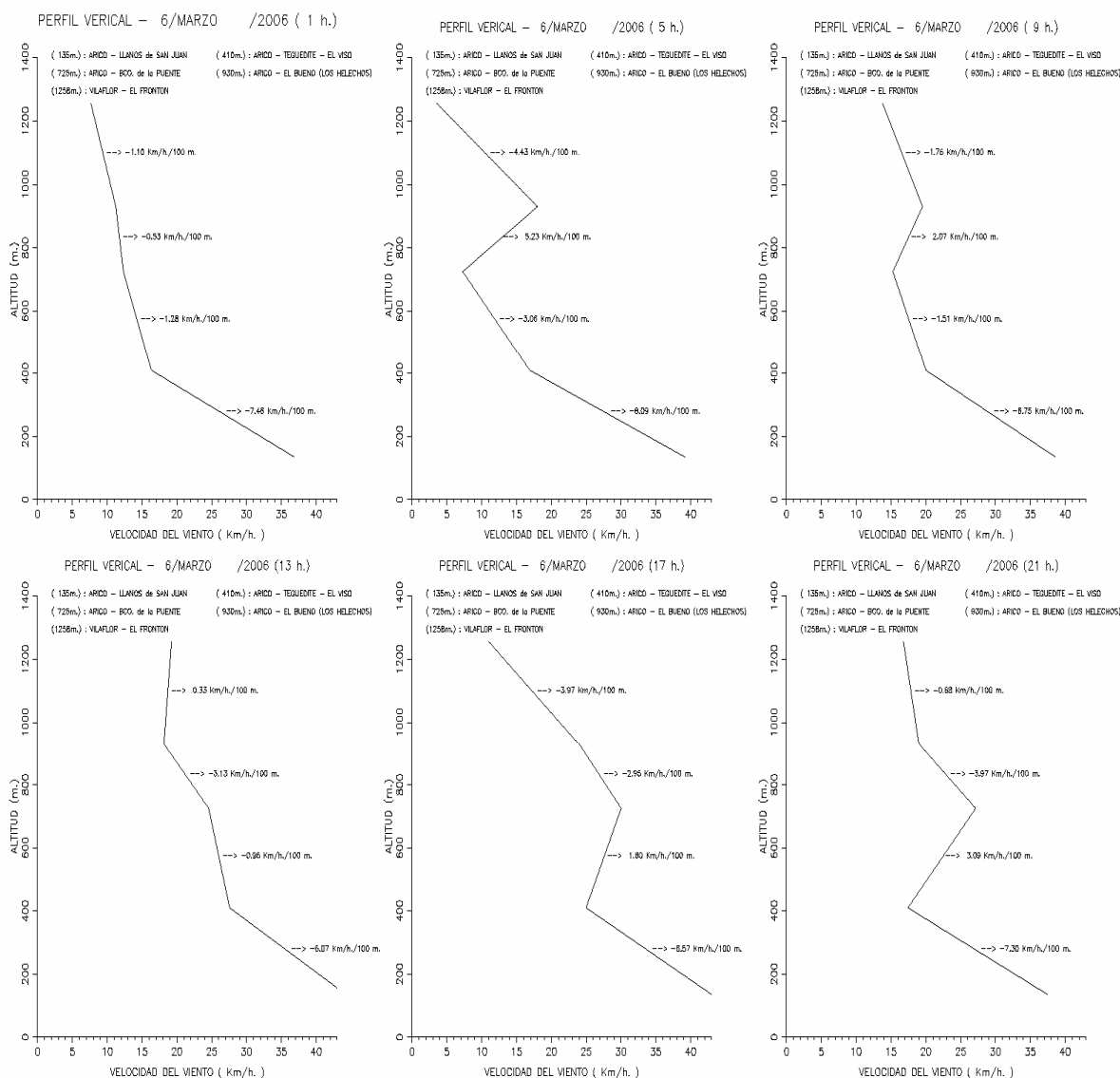


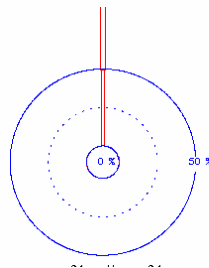
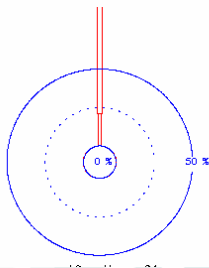
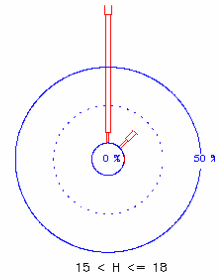
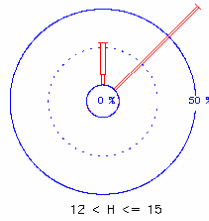
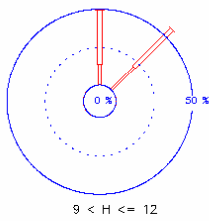
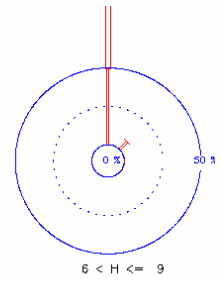
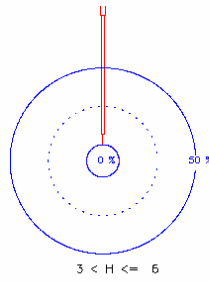
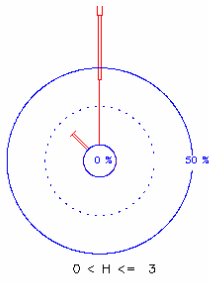
Imagen del satélite Meteosat 8 (visible): 6 de marzo a las 12 h UTC

El satélite nos indica nubosidad sobre las laderas orientadas entre las direcciones norte a noreste en las islas de mayores altitudes.



Perfiles anemométricos trihorarios entre la costa y las medianías norte: 6 de marzo.

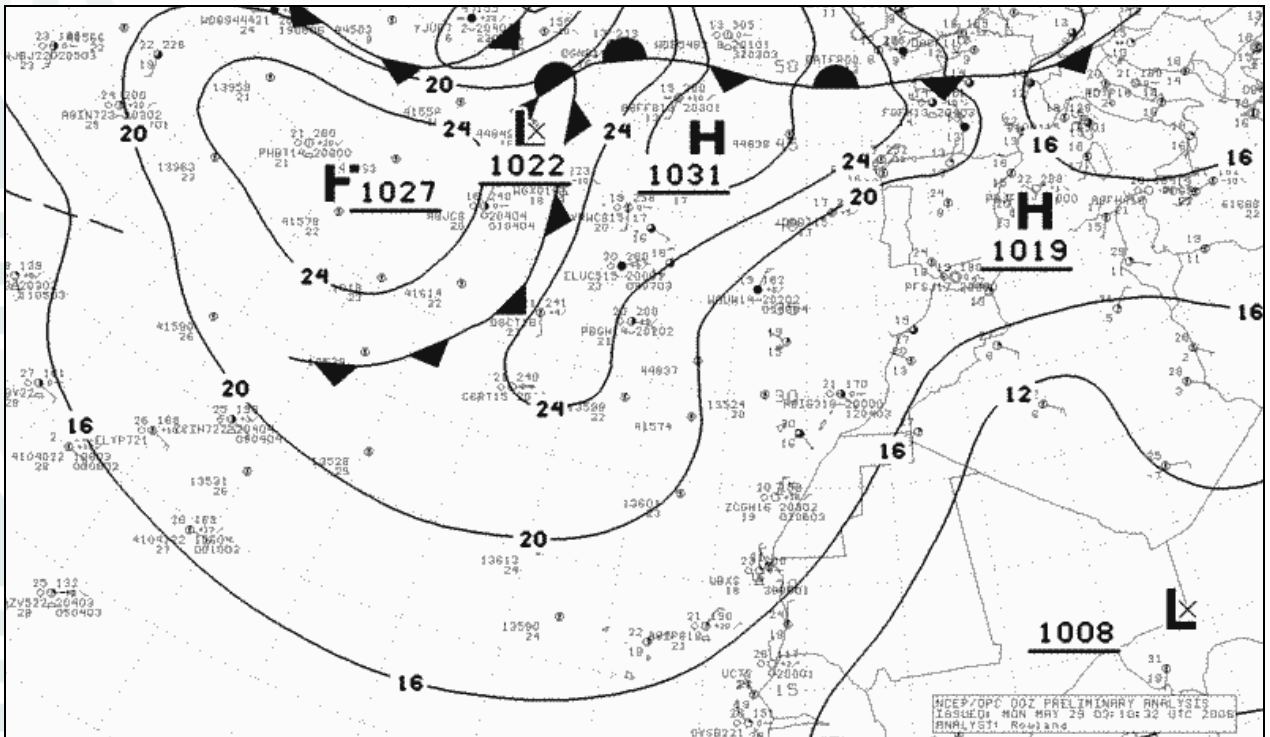
Las gráficas indican descensos bruscos de las velocidades del viento en relación con el aumento de altitud en cotas próximas a la costa y 410 m, e independientes de los periodos horarios; descensos moderados de las velocidades del viento en cotas comprendidas entre 410 m y 725 m, en el periodo medianoche a mediodía. Las velocidades del viento son muy fuertes a fuertes en la costa y medianías.



Rosas de viento el 6 de marzo en periodos trihorarios

Los vientos débiles soplan en el sector NW a NE durante el periodo nocturno. Los vientos moderados soplan en el sector N a NE y en la dirección N son dominantes. Los vientos fuertes soplan frecuentemente en la dirección N. No existe efecto anabático - catabático

Situación meteorológica: **Vientos “fuertes”** (6 de marzo). El día “**más ventoso del año**”. El día 5 es frío (9.8 °C), muy húmedo (92 %), ligeramente ventoso (6.7 km/h, variables, W y NE), cubierto (7.1 MJ/m²); el día 6 es templado (14.6 °C), semihúmedo (53 %), **muy ventoso** (19.2 km/h, N a NE), soleado (20.1 MJ/m²) y sin calima: velocidad horaria máxima 30 km/h, N, periodo 16 h a 18 h: los sondeos atmosféricos realizados en la sur de Tenerife a medianoche indican un descenso de temperatura 0.85 °C / 100 m, una inversión térmica con base en 1008 m, grosor de 598 m y aumento de temperatura de 0.67 °C / 100 m, y a mediodía un descenso de temperatura 1 °C / 100 m, una inversión térmica con base en 1290 m, grosor de 656 m y aumento de temperatura de 0.73 °C / 100 m; el día 7 es templado (14.8 °C), semihúmedo (49 %), ventoso (11.2 km/h, W a E, N dominante; velocidad máxima 25 km/h, N, periodo nocturno) y soleado (19.4 MJ/m²), y el día 8 es cálido (16.5 °C), seco (31 %), ligeramente ventoso (6.4 km/h, SE y W dominantes), soleado (19 MJ/m²) y efecto catabático – anabático. Las imágenes del satélite nos indican: día 5, una depresión (1007 mb) centradas al sur de Argelia y un anticiclón (1030 mb) centrado sobre las Azores, las islas Canarias tienen nubes y claros; días 6 y 7, anticiclón Atlántico (1035 mb) extenso centrado al oeste del estrecho de Gibraltar, la depresión (1008 mb) extensa situada al sureste de Argelia: **vientos fuertes**; día 8, depresión (1008 mb) situada en el Sahara oriental y el anticiclón (1034) está situado al oeste de Portugal.



Situación sinóptica: 29 de mayo a las 0 h UTC

Anticiclón Atlántico centrado al oeste del golfo de Vizcaya y la depresión sahariana (poco profunda) centrada al sur de Argelia. Los vientos son **muy débiles** en las islas Canarias.

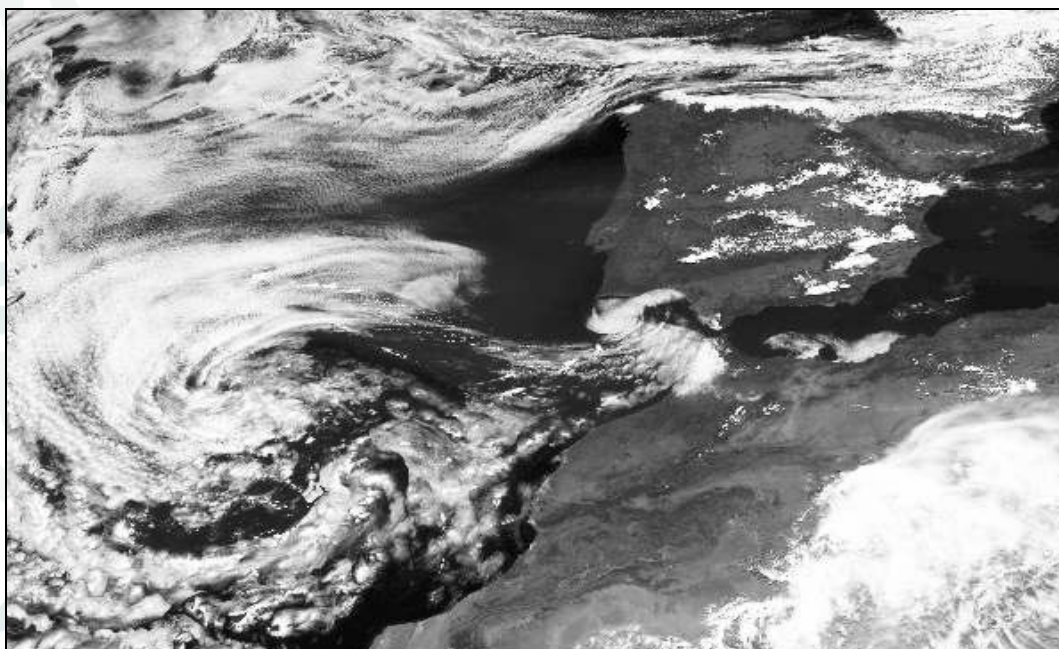
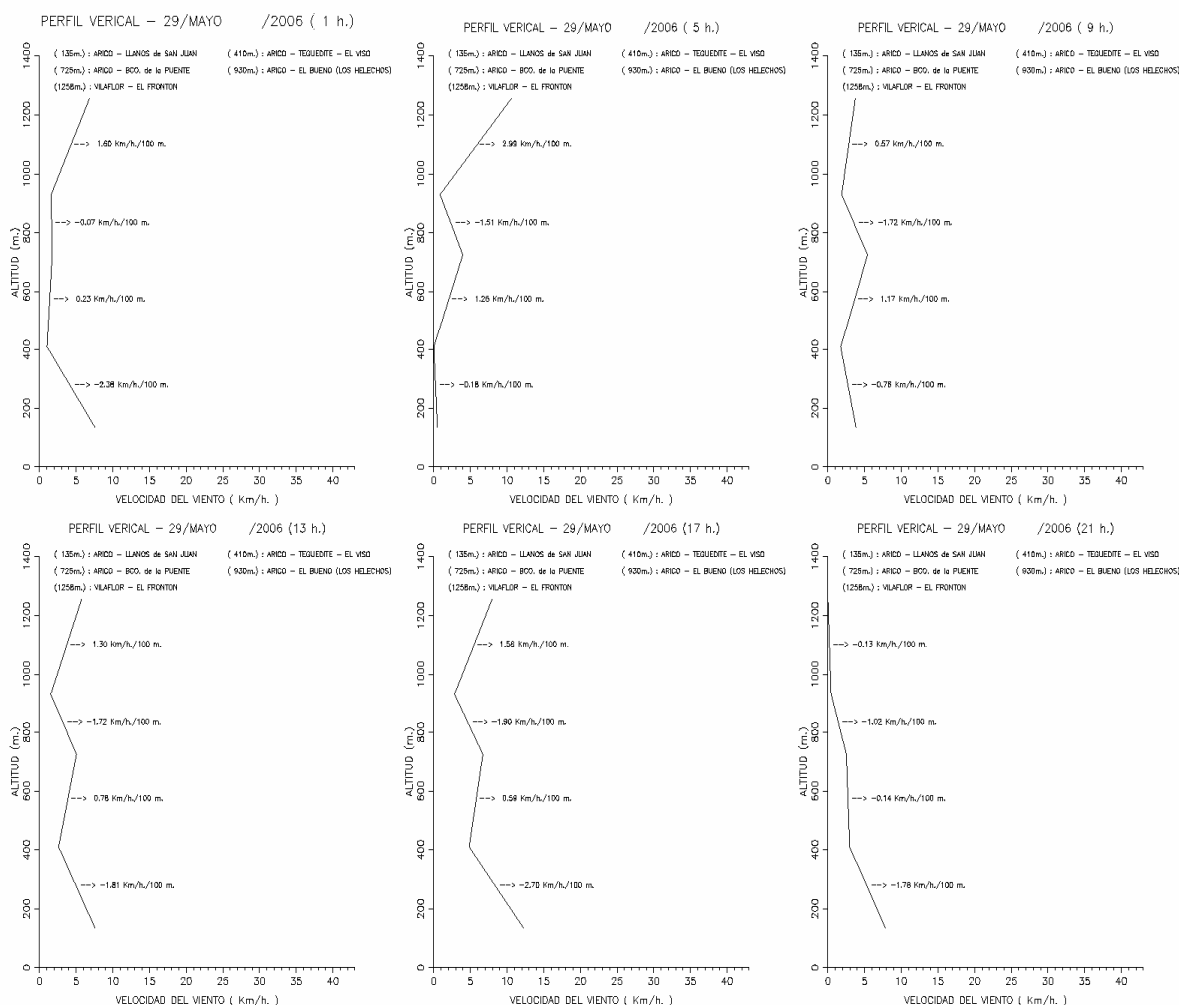


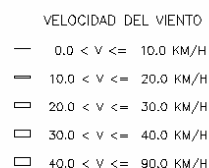
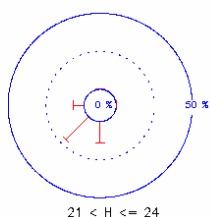
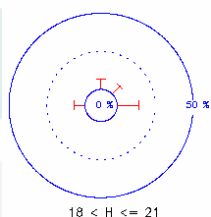
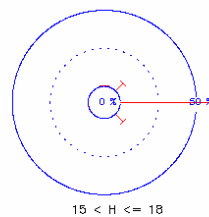
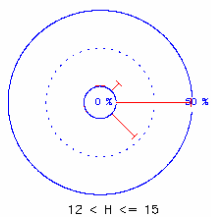
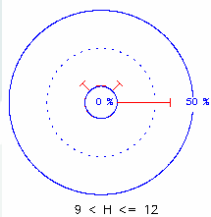
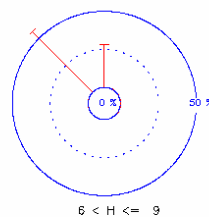
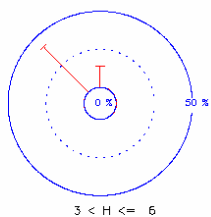
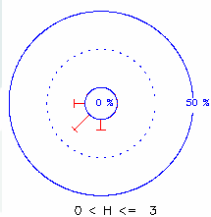
Imagen del satélite Meteosat 8 (visible): 29 de mayo a las 12 h UTC

El satélite nos indica nubosidad sobre las laderas orientadas entre las direcciones norte a noreste en las islas de mayores altitudes.



Perfiles anemométricos trihorarios entre la costa y las medianías norte: 29 de mayo.

Las gráficas nos indican descensos de las velocidades del viento entre cotas próximas a la costa e inferiores a 410 m, e independientes de los periodos horarios. Los vientos son débiles en cotas superiores a 410 m; los vientos son muy débiles en los periodos nocturno y vespertino, y los vientos son débiles en el periodo diurno.



Rosas de viento el 29 de mayo en periodos trihorarios

En el periodo nocturno 3 h a 9 h, los vientos son muy débiles en el sector NW a N y en la dirección NW son dominantes. En los periodos diurno 9 h a 18 h, los vientos cambian sus direcciones y aumentan ligeramente sus velocidades, los vientos débiles soplan en el sector NE a SE y en la dirección E son dominantes. En el periodo vespertino 18 h a 21 h, calma y vientos muy débiles que soplan en el sector W a E. En las horas próximas a medianoche, 21 h a 3 h, calma y vientos muy débiles que soplan en el sector S a W.

Situación meteorológica: **Vientos muy débiles** (29 mayo). El día 28 es cálido (15.5 °C), húmedo (87 %), poco ventoso (2.9 km/h, NE a W, E dominante, calmas 33.3 % de las observaciones), nubes y claros (18.6 MJ/m²); el día 29 es templado (13.5 °C), muy húmedo (97 %), vientos **muy débiles** (1.6 km/h, variables, E dominante, calmas 45 % de las observaciones), cubierto (4.4 MJ/m²), sin calima: los sondeos atmosféricos realizados en la costa sur de Tenerife a medianoche indican un descenso de temperatura 0.77 °C / 100 m, una inversión térmica con base en 1119 m, grosor de 114 m y aumento de temperatura de 2.63 °C / 100 m, y a mediodía un descenso de temperatura 0.68 °C / 100 m, una inversión térmica con base en 1464 m, grosor de 119 m y aumento de temperatura de 3.53 °C / 100 m y el día 30 es templado (14.6 °C), muy húmedo (88 %), poco ventoso (3.7 km/h, NE a W, E y SW dominantes, calmas 14.2 % de las observaciones), nuboso (13.2 MJ/m²). Las imágenes del satélite nos indican: el día 28, una depresión (1008 mb) centrada al sur de Argelia y el anticiclón Atlántico (1031 mb) situado al noroeste de Galicia; día 29, una depresión (1008 mb) centrada al sur de Argelia y el anticiclón Atlántico (1031 mb) situado al noroeste de Galicia, presencia de niebla y el día 30, la depresión (1009 mb) está centrada sobre Canarias y el anticiclón Atlántico (1032 mb) está situado al oeste de Irlanda.